

傾斜面上に沿う煙流動に関する実験的研究

渡邊 郁夫

## 目 次

ページ数

1

### 第Ⅰ章 序論

2

### 第Ⅱ章 傾斜面上に沿う煙の流動性状

#### II-1 火災室から流出する煙の流動性状

5

#### II-2 水平路(廊下)における煙の流動性状

6

### 第Ⅲ章 傾斜面上に沿う煙流動実験

#### III-1 実験の目的と概要

9

#### III-2 実験装置

9

#### III-3 測定項目

10

#### III-4 スモーケーフィヤー法による流れの可視化

13

#### III-5 実験条件の設定

17

#### III-6 実験結果

18

### 第Ⅳ章 傾斜面上に沿う煙流動の理論的解析

#### IV-1 密度流としての煙の性質

35

#### IV-2 基礎式の導入と代表値への変換

39

#### IV-3 方程式の展開と意味

44

### 第Ⅴ章 結論

#### V-1 実測値についての考察

50

#### V-2 理論値と実測値の比較

52

#### V-3 緒論

56

### 参考文献

58

### 付録

59

## 第一章 序 論

火は人間の生活及び文化に多大な影響を与えていた。そもそも人が他の生物達と完全に一線を画いて今日のような文明社会を築き上げるに至った歴史の始まりが、火の発見であり。それを利用したことであった。火を用ひて日暖をとり、食物を煮たり焼たりし、道具を作り改良し、金物を還元して金属を作り出し、今日では電気エネルギーに変換するなど火は人間の生活を便利で豊かなものにしてきた。しかししながら火が常に人間にヒト々便利なものであり、利益を与えつけたばかりでない。必ずしもこうとは言われない。人が火ヒト々の利用するようになると同時に火災という災害を経験する事になったと危惧されるからである。火は一たび它的便り方を誤まれば、その住居や財産ばかりではなく、人命を瞬時に奪ひ去ってしまう。

そこで人類は、何千年もの間火の脅威と戦いつづけてきたのである。特に近代における科学技術の進歩は、防火や消火の技術にも進歩をもたらし、1回の火災当たりの平均焼失面積は、著しく減少する傾向にある。しかしながら火災による死者数は、近年から増加する傾向にあり、現に日本だけで7年間2000名を越す死者を出すに至る。これは、日本の都市化に伴う家庭の形態、生活様式の変化あるいは都市構造の

変化に負うところが大きい。特に近年における都市の限られた空間の多角的利用による高層建築物、雑居ビル及び地下街などへの増加。あるいは東北、上越、両新幹線の開通に象徴されるような迅速な陸路の確保のための長大トンネルや地下鉄の出現など、多大な場所で半閉鎖空間における火災は、多くの人命や財産の損失に直結する危険性を秘めている。

古くはチヨビル火災(昭47)、大津デパート火災(昭48)、新しいところではホテルニュージャパンの火災例などに見られるとおりに、火災における死者は主に煙による窒息が原因であり、いかゆる焼死というように火炎に巻き込まれて焼け死ぬということは二つまれでないと考えられていく。このように現代の火災はプラスチック加工の建築材料の普及などによって高温で多量の煙と有毒ガスを発生するのが特徴であり、避難の困難な半閉鎖空間において火災が発生した場合、廊下や階段室あるいはエレベーターなどで逃げて火災生成物が充満していくため、火災から離れた場所にいても被害の対象となるなど、この危険度は一層高まっている。

このようなことから、最近特に排煙設備の重要性が高まっているが、排煙設備にとどまらず火災に対する種々なシステムを合理的に設計する上で建物内における煙の拡散を予測することが是非とも必要であると考えられる。建物内にだけ

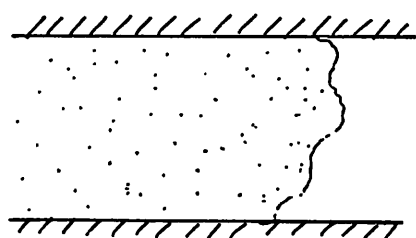
煙伝播のうち、火災室及び廊下などの水平路における水平方向の煙の流動力に関するものはいくつかの実験的研究がなされており、この構造もかなり明確にわかっている。しかししながら建物内の垂直方向の伝播、つまり吹抜けなどの垂直空間における熱対流的な挙動や、階段の天井部分などの傾斜面における煙の挙動に関するものは不明な点が多い。

そこで本研究は傾斜面における煙の挙動をとりあげ、積型実験によることの挙動を定量的に確認し、煙を空気流として扱う手法を導入して解析を行ふ。その構造を把握しようとするものである。

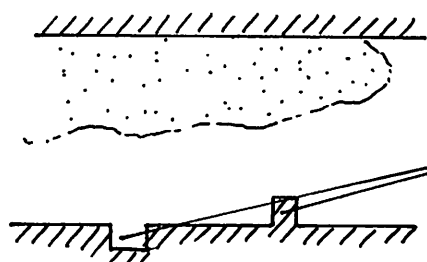
## 第Ⅱ章 傾斜面上に至らまごの煙の流動性状

### II-1 火災室から流出する煙の流動性状

廊下及び階段を流れの煙の性状については、一般的な流れの区分王用いた。大別して2種類に分けた二つである。つまり水理学で言う二つの管水路流れと開水路流れである。管水路流れについては流れの流速が流れ方向の圧力勾配によつて決定されるのにに対し、開水路流れは自由表面 (free surface) を持つ。自由表面までの煙の厚さ及び密度（温度差）が流れに大きな影響を及ぼし、自由表面より下の部分での条件は流れに影響を及ぼさない。



a) 管水路流れ



b) 開水路流れ

自由表面下の条件は流れに影響しない。

火災現象は非定常であり、発熱量、火災室の開口、外気条件などの変化により、火災室から流出する煙の性状も変化し、これを一義的に定義するのは困難であろうと思われるが、実大火災実験（東京海上ビル、中央鉄道病院）の観察結果<sup>(II-1)</sup>など、モードに火災の時期を フラッシュオーバー（以後 F.O. と略す）前、F.O. 時、F.O. 後の 3つに分けて考察する。

F.O 前 —— 発熱量が小さいため、煙は開口部からあられ出  
と様相を示し、下方の流入空気とは相互干渉しない。

F.O 時 —— 火災室での急激な温度上昇による熱膨張によ  
て、供給空気とは無関係に大量の煙が廊下に流出  
するため瞬時に煙層が降下し、断面一杯の流れとなる。

F.O 後 —— F.O で膨張空気が押し出された後は、火災室の  
燃焼は、開口部の大ささにより規定され開口部での  
煙の流出と新鮮空気の流入は安定した状態となる。  
また、開口部での流入に比べて、廊下での煙気流と  
新鮮空気の流れは相互の影響<sup>影響</sup>がかなり小さくな  
ることを考へられる。

したがって、F.O 時とのだけは火災室から廊下へ流出する煙  
は、開水路流れであると考へらる。

## II-2 水平路(廊下)における煙の流動性状

水平路(廊下)における煙の流動性状については、かなり実験的  
な研究も行われてあり、この計算手法が示されなどこの構造が  
かなり明確になつてるので既往の研究を整理する形でまとめて  
おく。

まず前述の実大火災実験による煙伝播の研究があり、煙は火  
災最盛期において 2 層流として運動し、この煙層の厚さは廊下  
天井高に対する約 50~60% であること、煙の火災室開口からの

距離に対する温度降下は 距離に対して 指数関数的に表わされるとなどが観測されてる。

前田・寺井ら<sup>(2-2)</sup>は、模型実験によ、2 温度場と速度場より 2 層流の臨界条件を求めてる。それによると、煙と空気の 2 層流は 風速が小程度、また 煙と空気の温度差が大きい程安定であり、臨界  $R_i$  数（混合と非混合の境界を規定する数）は乱流域において  $Re$  数とともに増加する事が明らかにされてる。

半田ら<sup>(2-3)</sup>は 実大廊下における木材クリップパイルを加速度的に燃焼させ、火源から発生する燃焼生成物の温度、速度及び煙およびガス濃度について、それらの水平方向および垂直方向の分布を時間経過とともに調べてる。その結果各量の垂直方向の分布はほぼ相似であると共に、また垂直分布の流れの特性を考慮して平均化を行なって各量は水平方向に指数関数的に減衰しており、温度、速度の減衰率は煙やガスのそれよりも大きいことかが分った。またこの解析法として Navier-Stokes の方程式に Boussinesq 近似を適用した基礎方程式とともに、数値計算を行なってた。

辻本<sup>(2-4)</sup>は 火災により生じる熱気流が 自由界面を持つ常温の空气中で進行する密度流 (density current) であるとの観点にて、実大廊下における実験を行なって理論値と比較し、常流の範囲内で あら地点での煙の吹出し量と温度が与えられ

ば、下流の条件から流れ全体を計算する手法を示してい。それ  
とともに、傾斜面上沿う煙流動についても密度流との解釈法  
を示してい。

また、建物全体の煙伝播については、若松、田中の煙剝御設計  
に関する論文<sup>(2-5)</sup>があるが、管路網計算の手法を基本としてい  
くため、温度差の無い開口における煙の流動は管水路流れとす  
べて、実火災実験などで観測されたような煙がその下の空気とは  
層にして流れの状態を表してい。

## 第Ⅲ章 傾斜面上に沿う煙流運動実験

### Ⅲ-1 実験の目的と概要

傾斜面上に沿う煙がどのように運動するかを定量的に確認することを目的とし、建物内における傾斜面を想定した模型を用ひて、その中を流れの熱気流が定常状態における傾斜面の角度、周囲空気との温度差、熱気流の流量、水平路との接続からの距離などの条件の変化によってどのような影響をうけたかについて実験を行なった。

### Ⅲ-2 実験装置

装置の全体構成は図3-1に、模型ダクトの断面を図3-2に示す。熱気流を調節するためには空調機と電熱線を組み合わせ、流量については電磁カーボリング"速度制御方式"のファンを用ひ、吹出し温度については空調機の温水コイルと電熱線を組み合わせて用ひることにより調節した。

また熱気流は吹出口からから慣性力の影響をうけたようにして模型ダクト内に直接吹き出されるのではなく、水平路部分を想定した煙たん部分( $w900 \times D900 \times L1800$ )にて吹き出され、その後煙たんよりあられ出るような形でダクト内に流入させたものとした。また模型ダクト( $w900 \times D900 \times L4700$ )の末端及び煙たんとダクトの下部は大気に開放されていなかった。

### III-3 測定項目

#### 1) 湿度

図3-3に示すように、遷移点から $1.3m$ ,  $2.8m$ ,  $4.3m$ の位置にオーバードラフタ側斜面から垂直に $5$ ,  $25$ ,  $50$ ,  $75$ ,  $100$ ,  $150$ ,  $200$ ,  $250$ ,  $300$ ,  $400$ ,  $500$ ,  $600$ ,  $700mm$ の各点において銅-コンスタンタン熱電対をYODAC-8を接続して測定した。整理する段階ではこれらが風速測定の各点 $1.5m$ ,  $3.0m$ および $4.5m$ との値に近似的に等しいと考え、湿度プロファイルの形で整理した。なお測定は3分ごとに行い、定常状態に3回も値を取って各点の値とした。

#### 2) 亞度

熱気流の厚工方向のプロファイルを測定するため、遷移点より $1.5m$ ,  $3.0m$ の距離においてスモークワイヤーを側斜面より垂直に設置し、放電後一定時間遅れにオーバードラフタストロボを発光させて写真撮影を行った。(図3-4) また、撮影された流動カベラフィルムの位置(亞度プロファイルに対するもの)を明らかにするためあらかじめ $5mm$ 間隔の方からスモークワイヤーの位置を撮影した。(図3-5)

また、代表点にかけ速度の平均値を求めたためスモークワイヤー位置の側斜面下 $100mm$ の点において熱線風速計(AVEMOMASTER)を設置し、ペンレコーダーに接続して測定を行い、その値にスモークワイヤーにおけるプロファイルを含む形で整理した。これは定常状態にはかけ実験であるとはいうものの、瞬間的な亞度プロファイルにおける速度

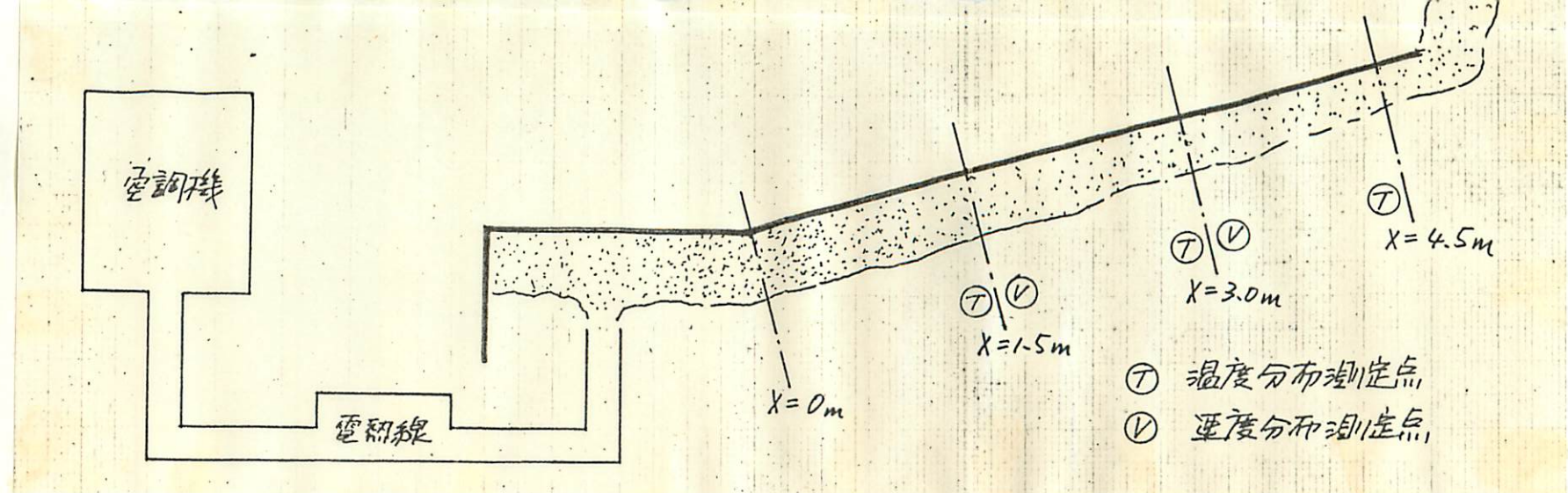


図3-1 実験装置の概要

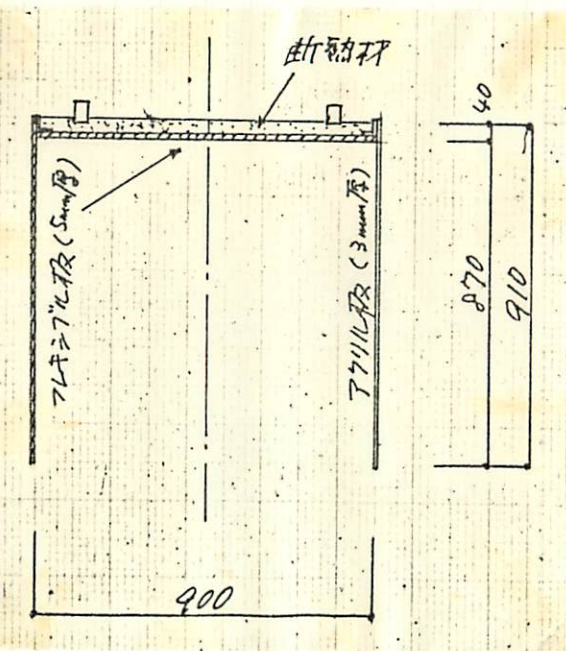


図3-2 ダクト断面

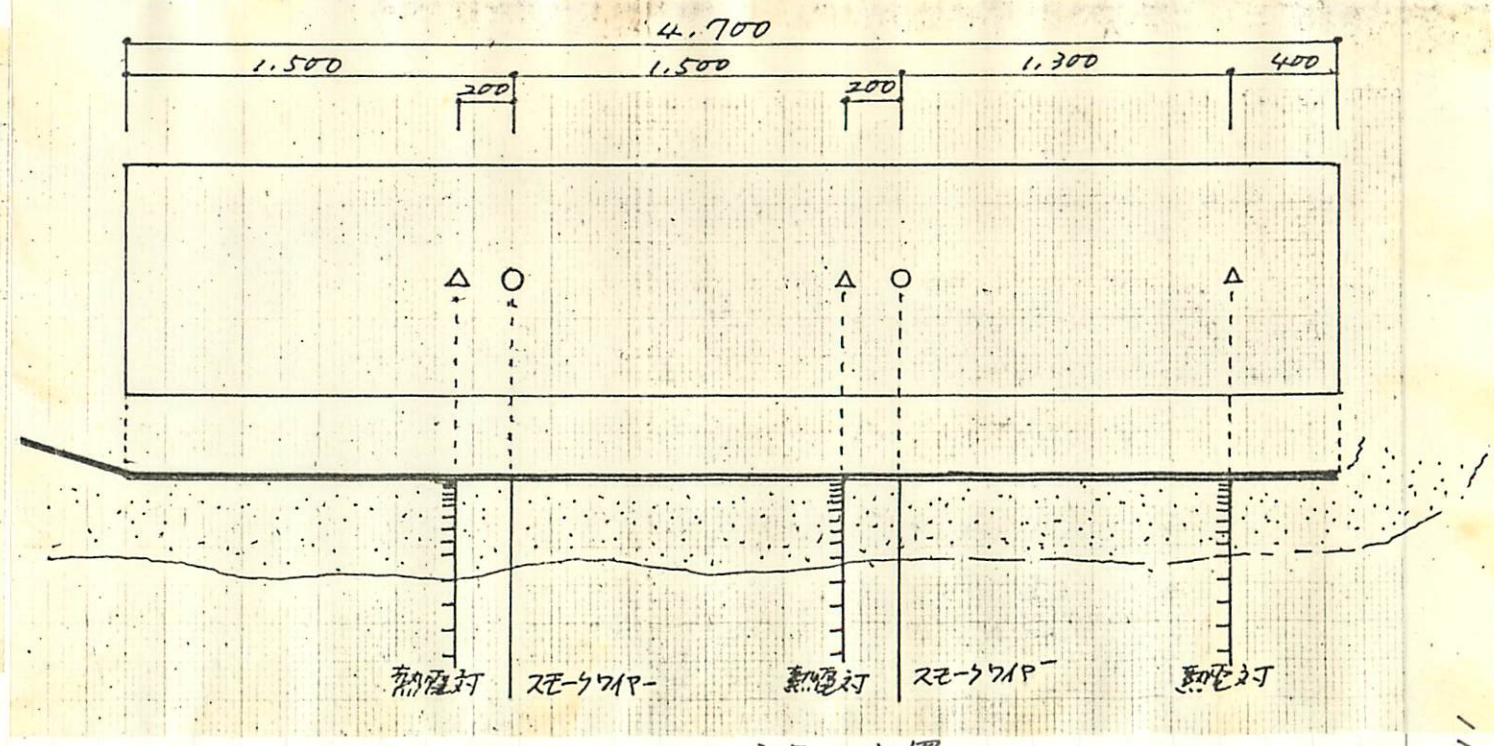
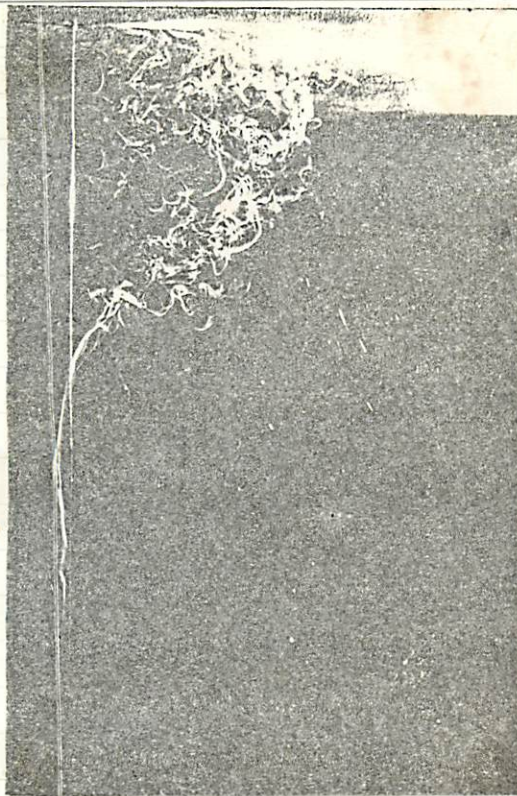


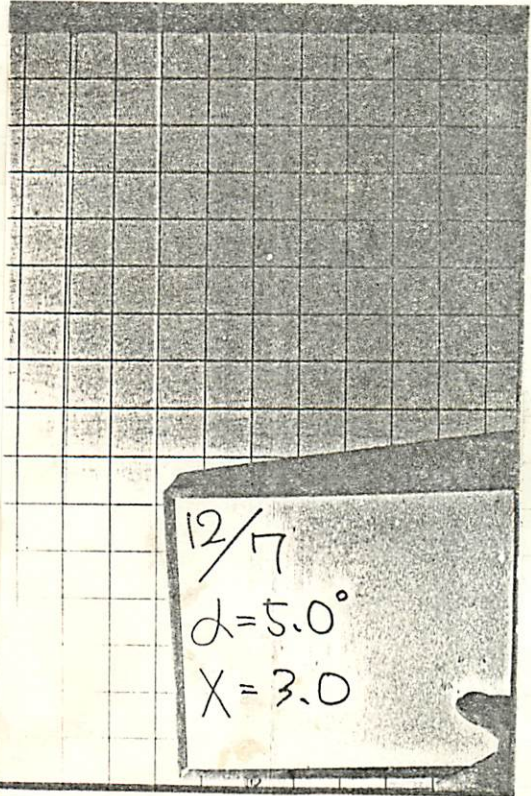
図3-3 各測定点の位置



△ 図 3-4

スモーカイヤーによる速度プロ

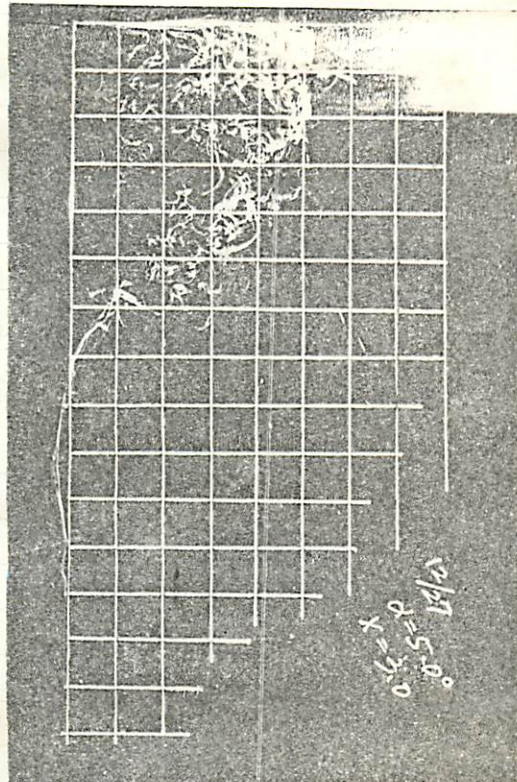
プロファイルの一部。



△ 図 3-5 (a)

スモーカイヤー位置における

50mm 方かんの撮影



△ 図 3-5 (b)

スモーカイヤーによる速度プロファイル

は (a) の方かんと重ね合わせて煙  
の位置を明確にする。

のはうつまかり。撮影したプロファイルが平均的なものかどうか  
わからぬこと。また放電時間と発煙時間との間にはずれ  
(発煙遅れ時間)がある。その値が不明なため正確な速度を  
スモークマーによって撮影のみでは知ることができないためである。

### 3) 発煙片による目視観察

煙玉内において発煙片の煙を翻気流に混入させて観察を行なったところ、流れはいずれも2層流を形成するものの、自由表面附近で周囲空気の巻き込みが見られた。

### III-4 スモークマー法による流れの可視化

ニニエ本実験における採用した流れの可視化方法であるスモークマー法について説明す。スモークマー法は空気流の可視化を目的としたトレーカー法における電気制御法のうちの一手法であり、被試験体としては気体が扱われ、主に脈動タイムラインを得る目的としている。この可視化方法は、火花追跡法など他の電気制御法よりも今後建築関係における使用工法として多く用いられる。

### 1) 原理

流れに直交して張、た金属細線(ニクロム線、径0.18mm程度)  
に運動パラフィンを塗布しておき、短時間に大電流を流すと運動  
パラフィンの蒸気が発生し、これが空気流に附れて凝縮し、ミストとなる。このミストは写真ラリーのよし白煙であり、これはトレーカーとして細線を通過する空気の流れを可視化する。今回の実験にお

1) では、短時間に発生したこの直線状白煙を通電後適当な遅れ時間で“ストロボ”発光させ写真撮影を行なうことによ、て細線附近の速度分布と白煙の曲線との可視化である。

スモークワイヤー法は、2次元の定常流れのとく、3次元流れ、非定常流れの速度分布および流脈を可視化するニルカ可能であり、適用可能流速は  $0.1 \sim 30 \text{ m/s}$  程度である。<sup>(2-1)</sup>

## 2) 装置

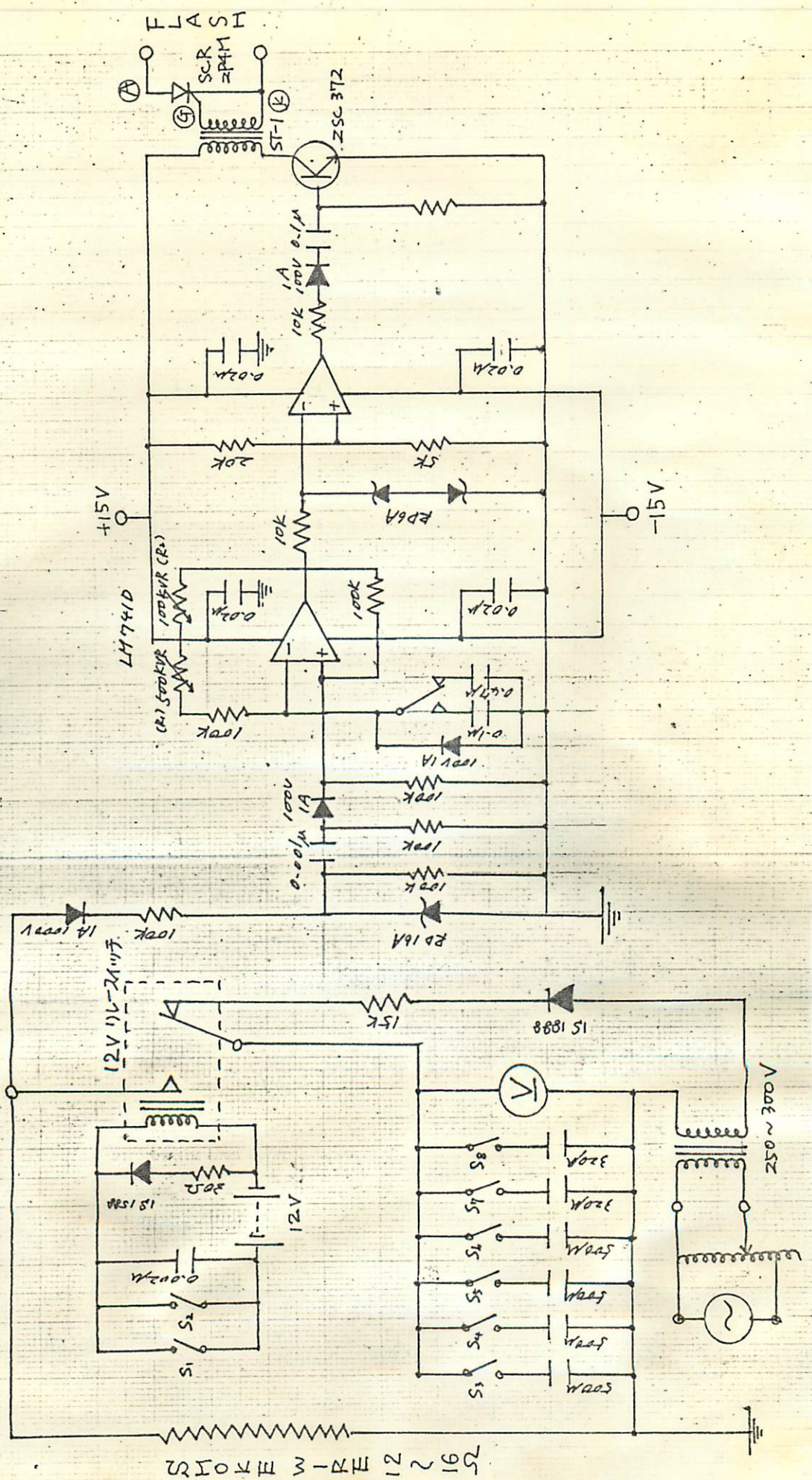
図3-6に本実験で使用したスモークワイヤー装置の電気回路を示す。装置は次の4つの部分から構成されている。

a) 発煙回路 —— ニクロム線を天井面に垂直に張り、下端部に重りを付けて電源投入時の細線の衝撃に耐えて引張力をかけた。

b) スモークワイヤー電源回路 —— 16Ω程度の抵抗を有する細線に流す電流の大きさは、コンデンサへの印加電圧により変化するが、通電時間はコンデンサ容量により変化しない。 ( $T = RC$ ) カメラのシャッター  $S_1, S_2$  を入れると 12V のレーザーが駆動されコンデンサから細線へ電流が流れ、同時に遅延回路にも電流が流れ。

c) 遅延回路 —— 遅延回路はマルチペイプレーター、コンバーラー、微分回路から成り、図3-7, 8のような過程を経て、入力信号はサイリスト入力となる。出力され

四 3-6 20-71A-四合四



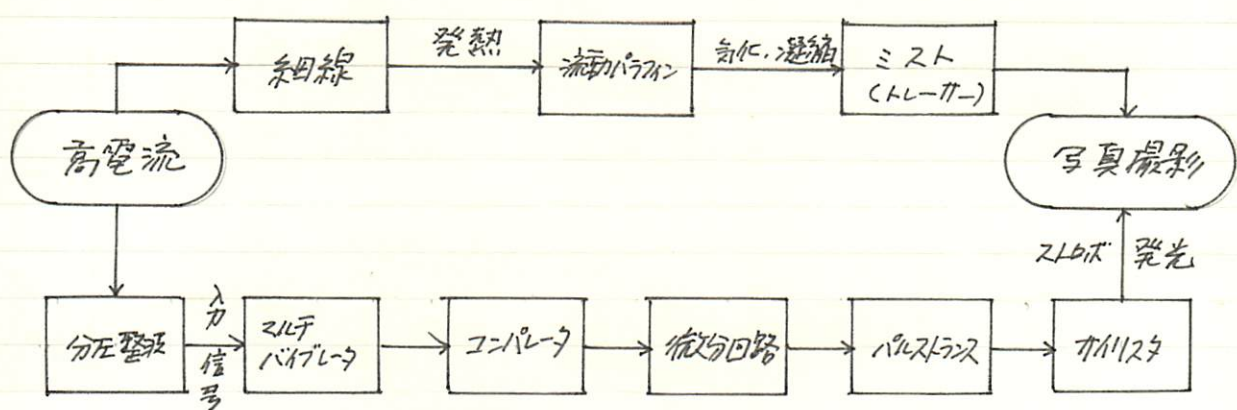


図 3-7 プロセス図

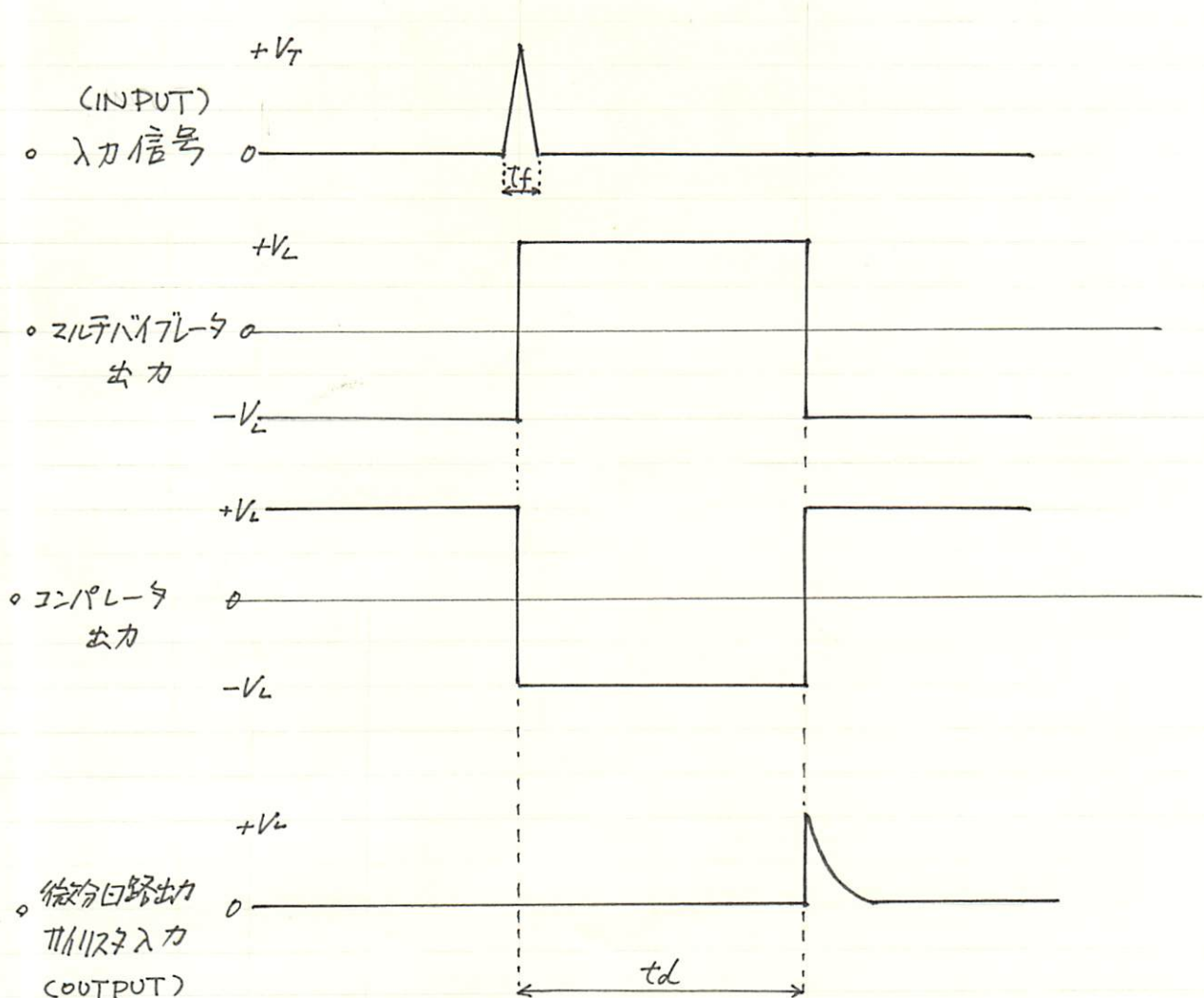


図 3-8 タイムチャート図

る。なら遅れ時間  $t_d$  の設定についでは、 $500\text{K}\Omega$  及  
 $100\text{K}\Omega$  の可変抵抗と、 $1\mu\text{F}$  及 $0.47\mu\text{F}$  のコンデンサ  
 $t_d = F'$  約  $50\text{msec}$  及 $575\text{msec}$  まで“変えられる”  
 で。<sup>2</sup>

d) 発光回路 —— パルストラシスの 1 次側にはトランジスタの入力パルス  
 及<sup>3</sup>トライアングルと電流が流れ 2 次側に磁石エレメント。  
 パルストラシスは遅延回路と発光回路を繋ぐ役目  
 あり。2 次側に磁石エレメント サイリスタの G, K 間  
 にトライアングルが入力され A, K 間が短絡されて  
 ストロボが発光する。

この回路は気温変化 ( $0^\circ\text{C}$  ~  $20^\circ\text{C}$  程度) に対しても安定に作  
 動し、設定遅延時間の再現性もよくみてよい。

### III-5 実験条件の設定

実験条件についでのリストを表 3-1  
 に示す。流れに最も大きな影響を  
 及ぼすであろう予測される傾斜面  
 の角度についでは  $\alpha = 0^\circ$  (水平面) か  
 ら  $10.0^\circ$  まで  $2.5^\circ$  ずつで 5 条  
 件設定し、それらの  $\alpha$  につい  
 て熱気流の流量と吹出し温度差  
 を変える形で実験を行った。

表 3-1

	条件	記号
傾斜面 の角度 ( $\alpha$ )	$0^\circ$	
	$2.5^\circ$	
	$5.0^\circ$	
	$7.5^\circ$	
	$10.0^\circ$	
流量 (ファンの回転数)	600 rpm	A
	300 rpm	B
	150 rpm	C
吹出し 温度差	約 $20 \sim 40^\circ\text{C}$	1
	約 $75^\circ\text{C}$	2
	約 $110^\circ\text{C}$	3

流量については、予備実験の結果から ファンの回転数 300 rpm の時 最も理想的な速度および温度プロファイルを得た。この 2 倍の ファン回転数 600 rpm 及び  $1/2$  倍の ファン回転数 150 rpm の 3 条件を設定した。

また 温度条件については 空調機 オよび電熱線の加熱能力によって その条件が限界となるか、標準的な温度差として、空調機の湯水温度を最大にとり 電熱線を用いたりの条件を設定した。しかししながら この条件における吹出口温度が 流量の大小により一定しないため 流量による流れの影響を比較すると上で問題がある。そこで 電熱線を用いて 空調機の湯水を 1 恒温で 微調整を行ひ 吹出口温度差を約  $75^{\circ}\text{C}$  に設定した。

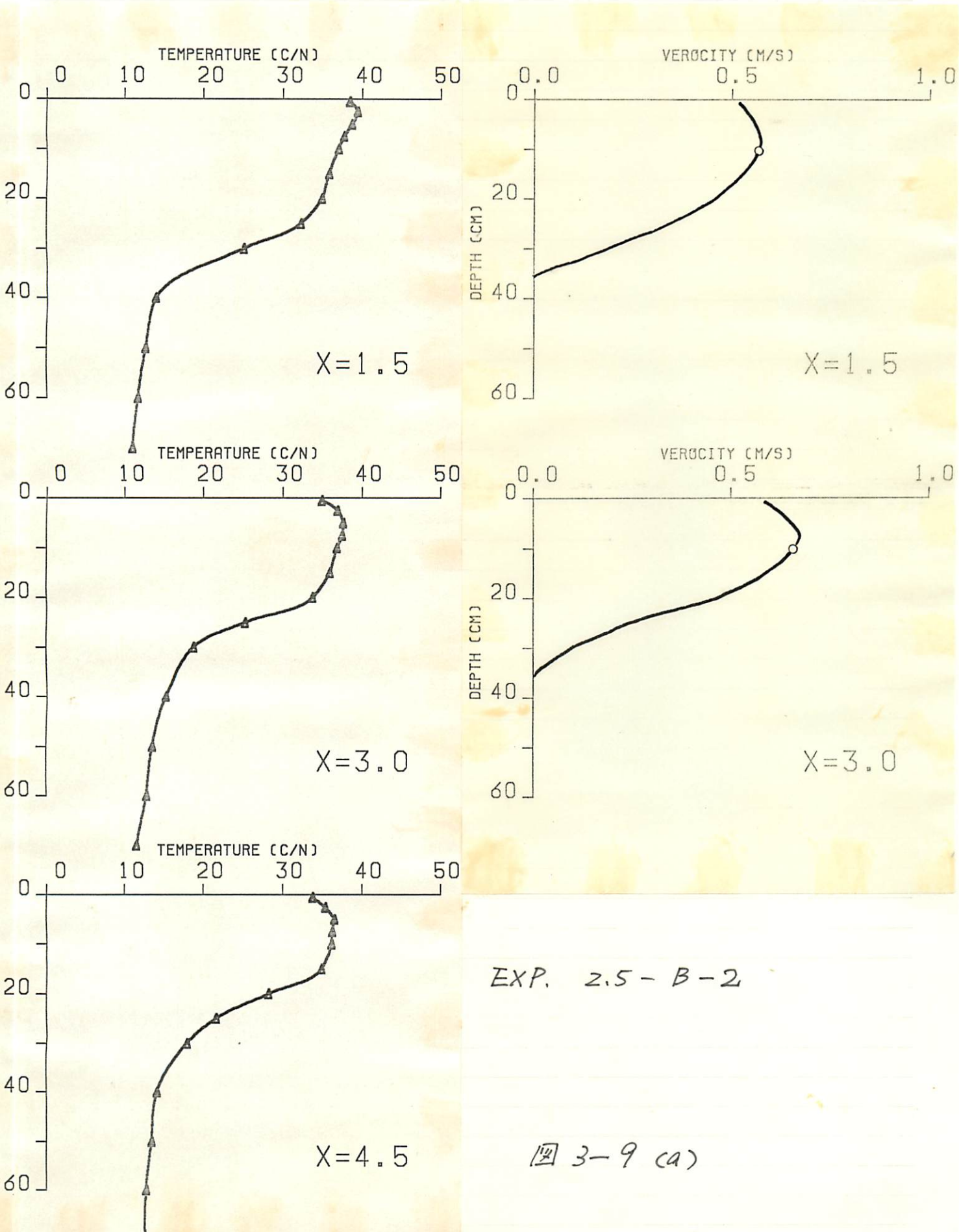
温度条件は各実験における基本的にはこの  $272^{\circ}$  あるが、個別的に  $\alpha = 10.0^{\circ}$  の ファンの回転数が 300 rpm の時は 温度差を約  $110^{\circ}\text{C}$  としたものを加えた。

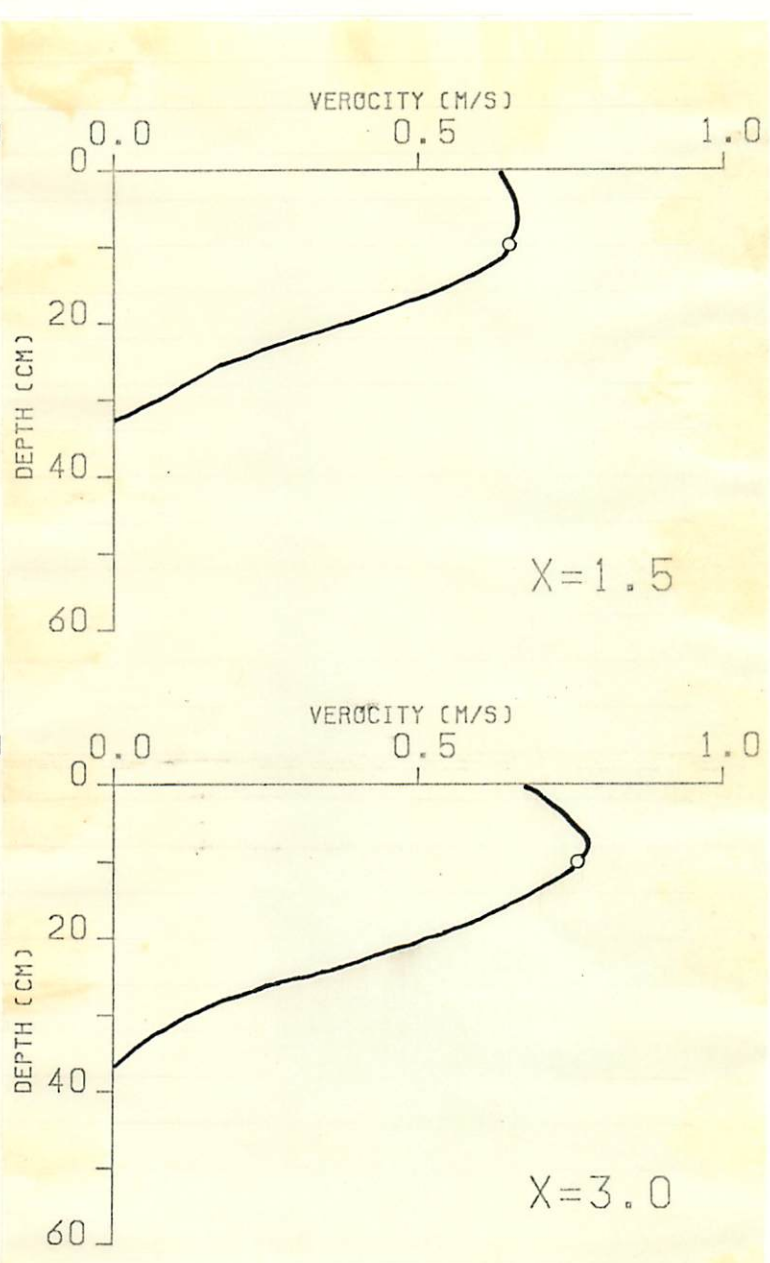
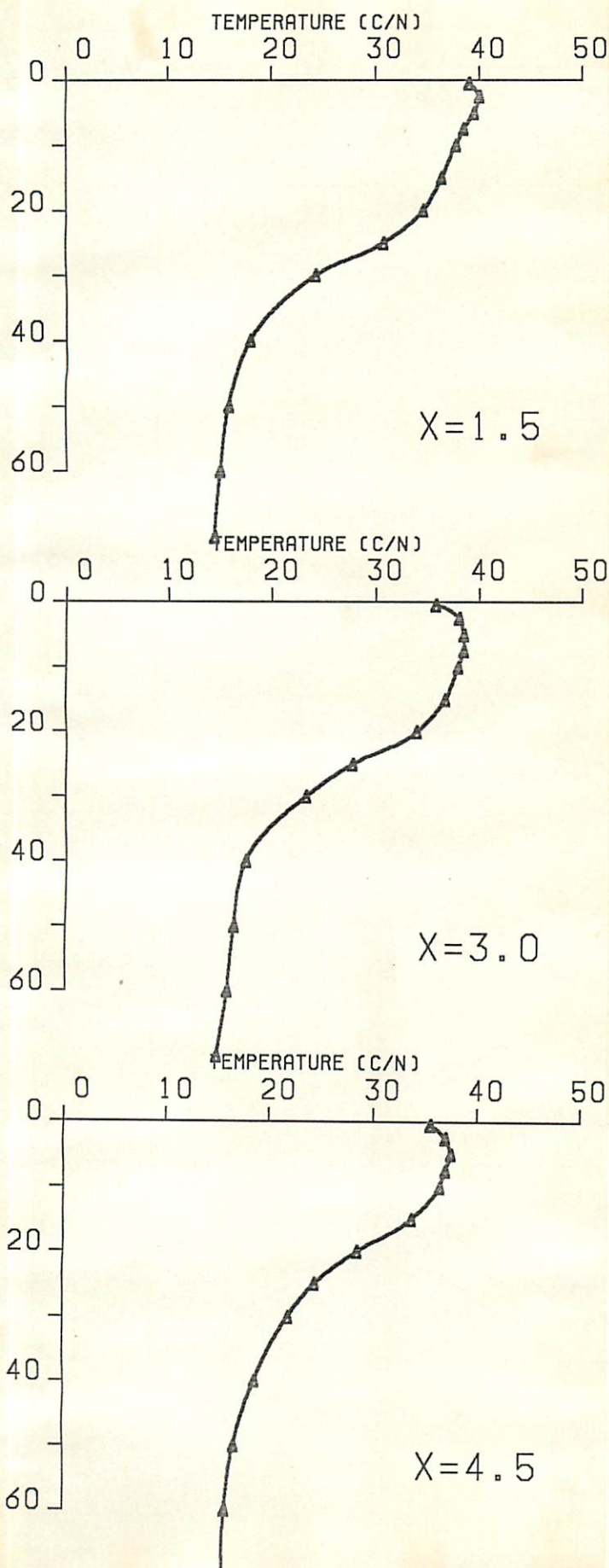
### III-6 実験結果

代表的な実験について得られた 各プロファイルを 図 3-9(a)~(g) に示す。(その他の実験のプロファイルについては 付録に示してある) また、図 3-10 (a)~(f) に 各条件の  $\delta$  による 速度および 温度プロファイルの相違を示す。傾斜面の角度が大きいほど、また 温度差が大きいほど 速度、温度ともに 壁界層の厚さは大きくなり、それと/or>の最大値は大きな値となり プロファイルは押しつぶされた。

のような形状を示す。また表3-2に各実験の代表的な差割り値を示す。

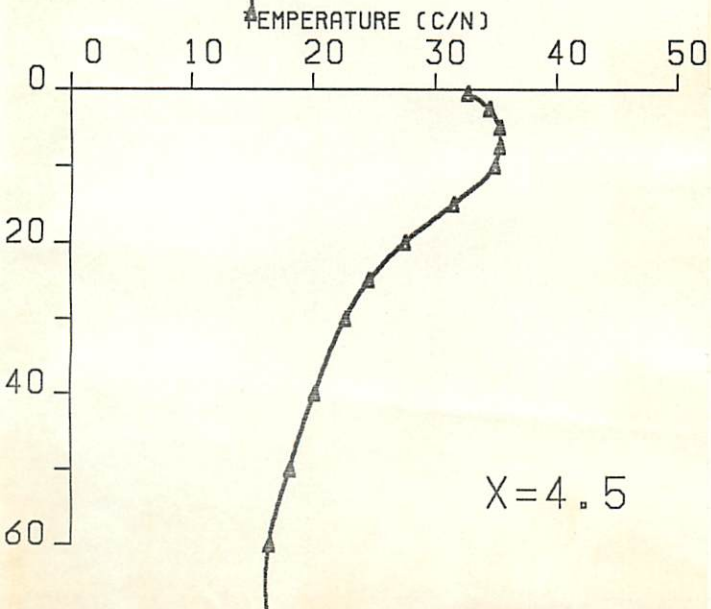
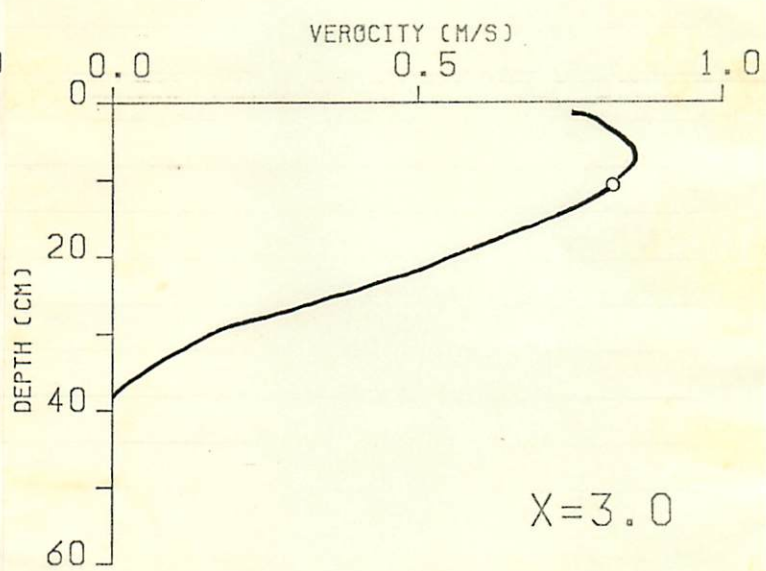
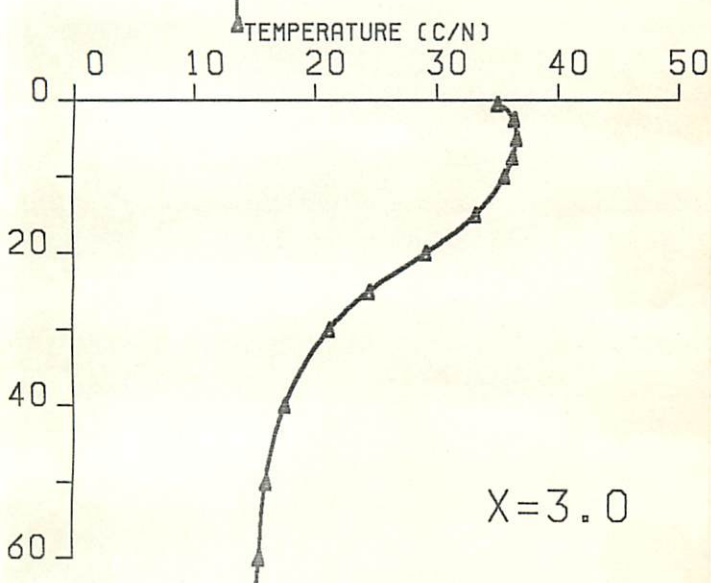
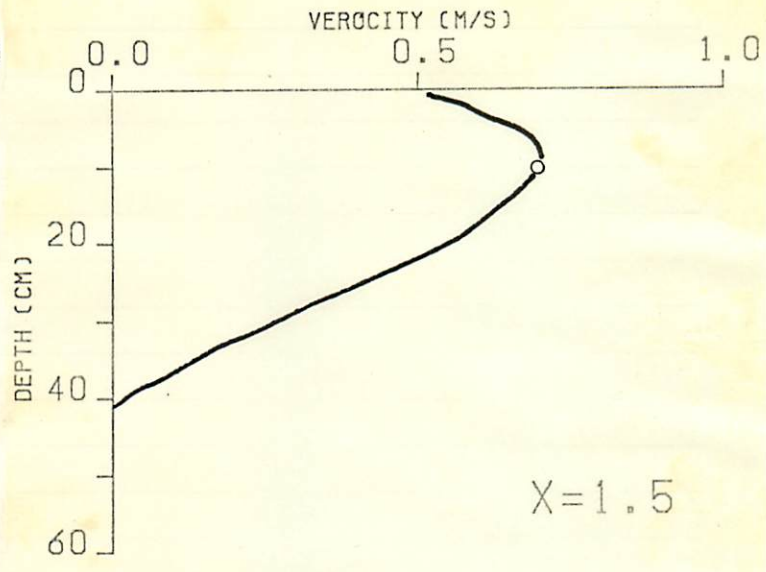
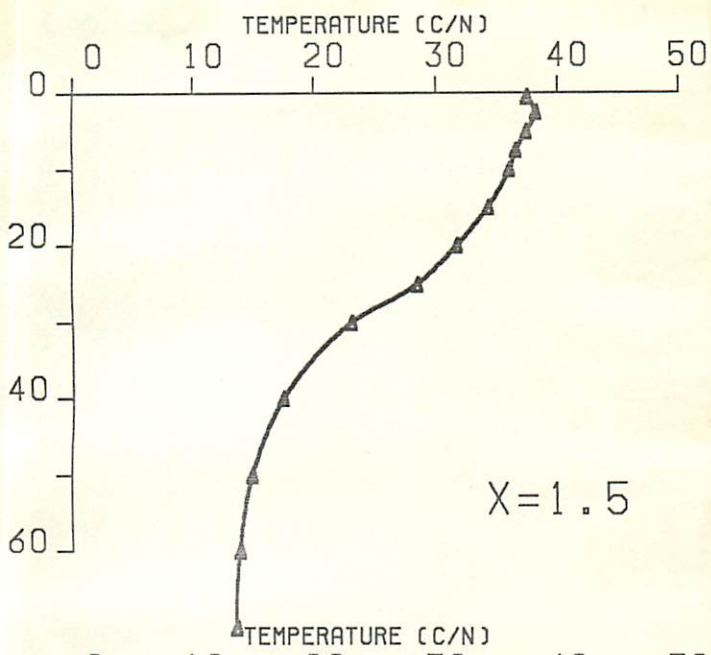
図3-11には  $\alpha = 0^\circ$  における等温気流を吹き出した場合の速度プロファイルを示す。 $X=3.0\text{ m}$  は  $\alpha=0^\circ$  全断面に同一風速である「管状路的な流れであるが」。 $X=1.5\text{ m}$  は  $\alpha=0^\circ$  は 2層流的なプロファイルを示しておる。吹出口の慣性力の影響が残るからものと考えられる。





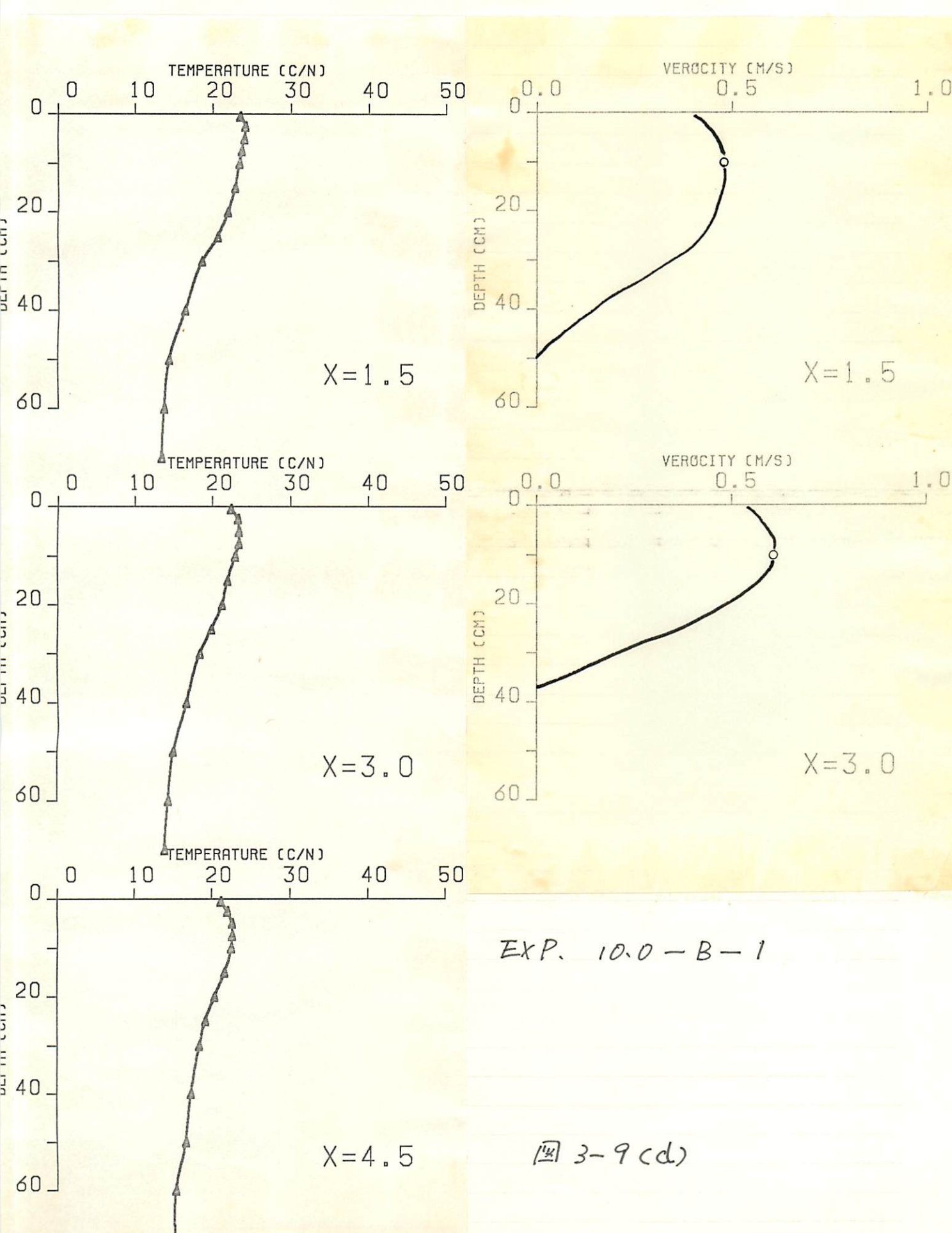
EXP. 5.0 - B - 2

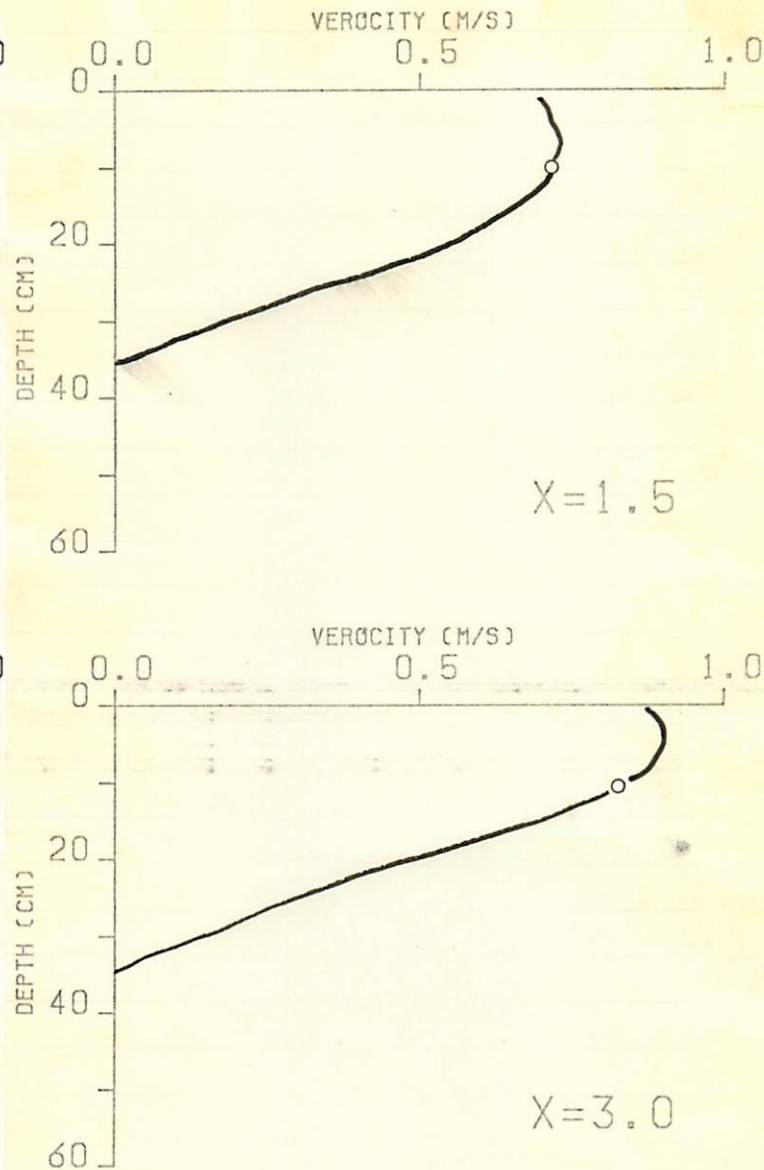
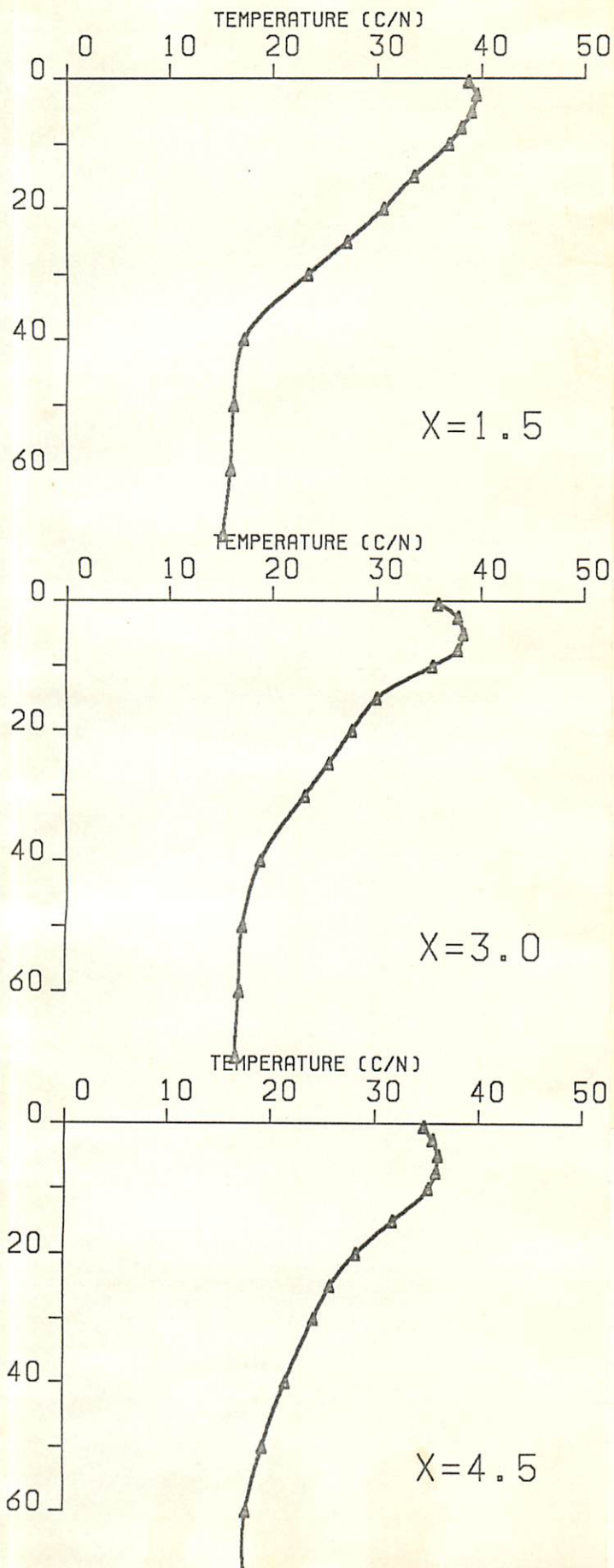
図 3-9 (b)



EXP. 75-B-2

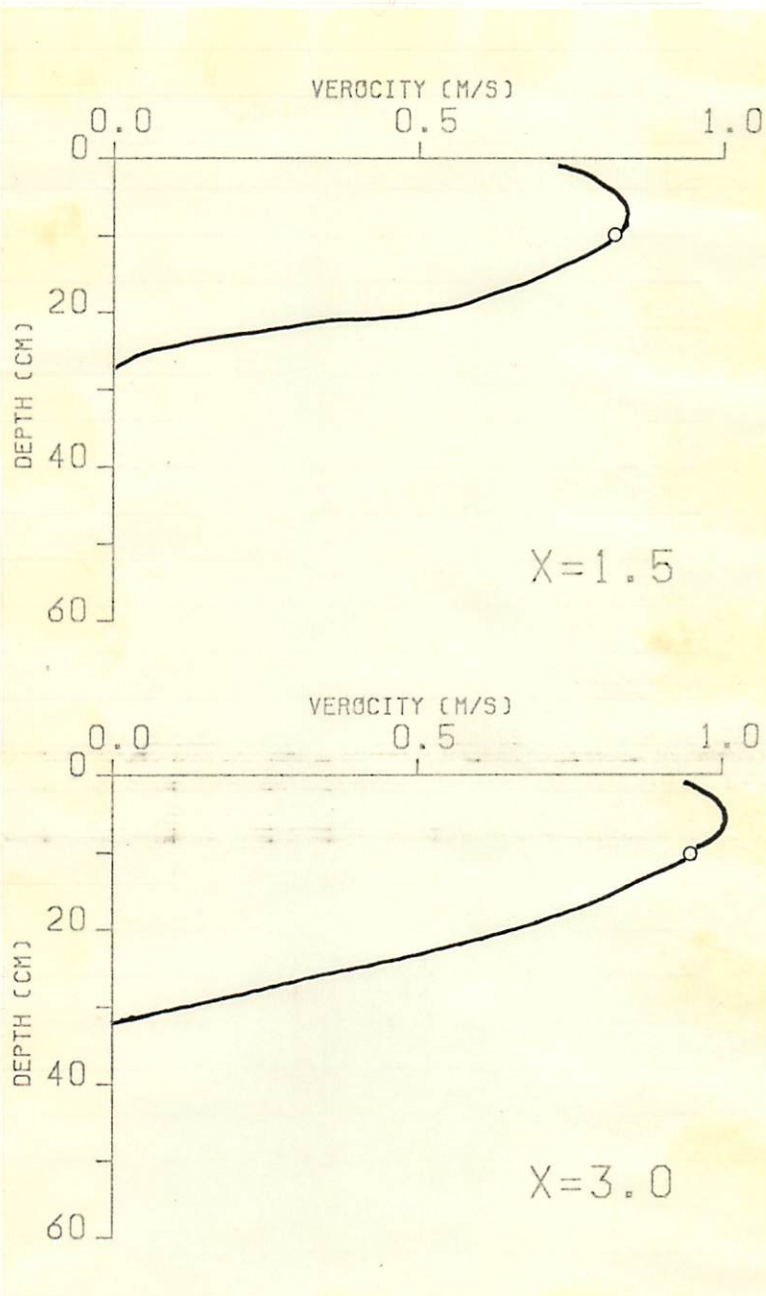
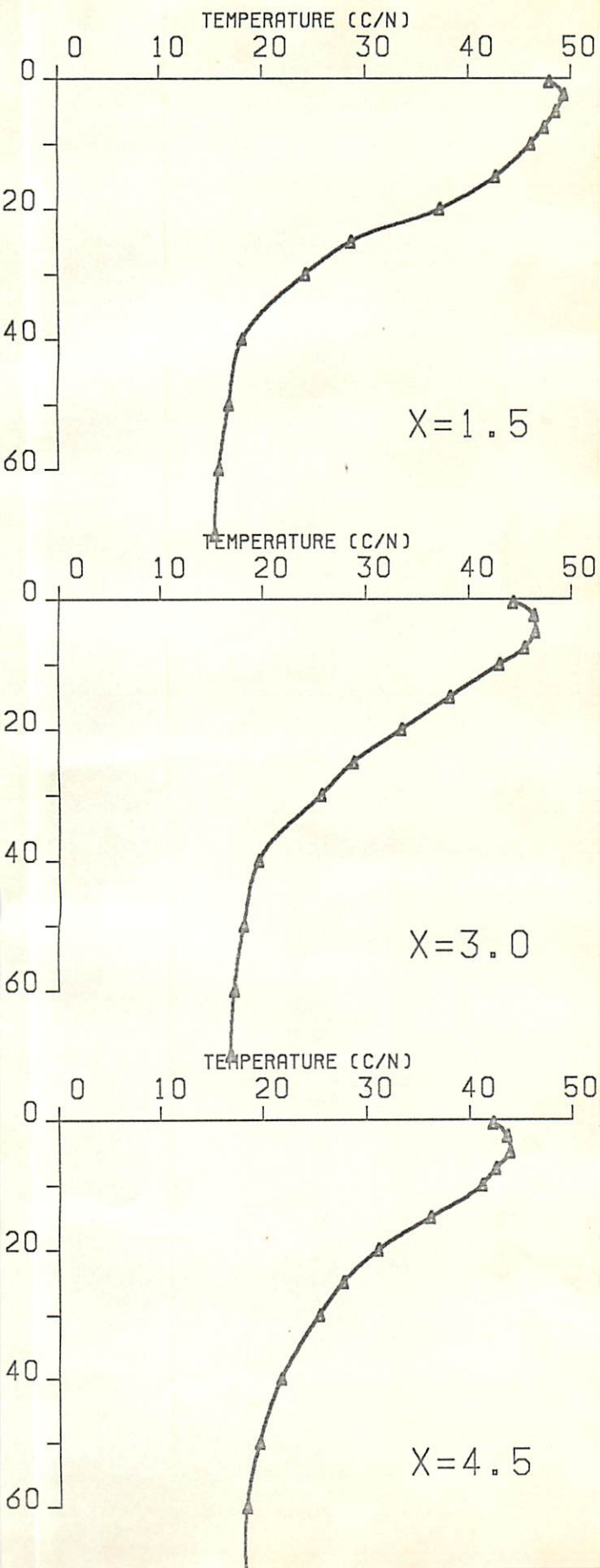
図 3-9 (c)





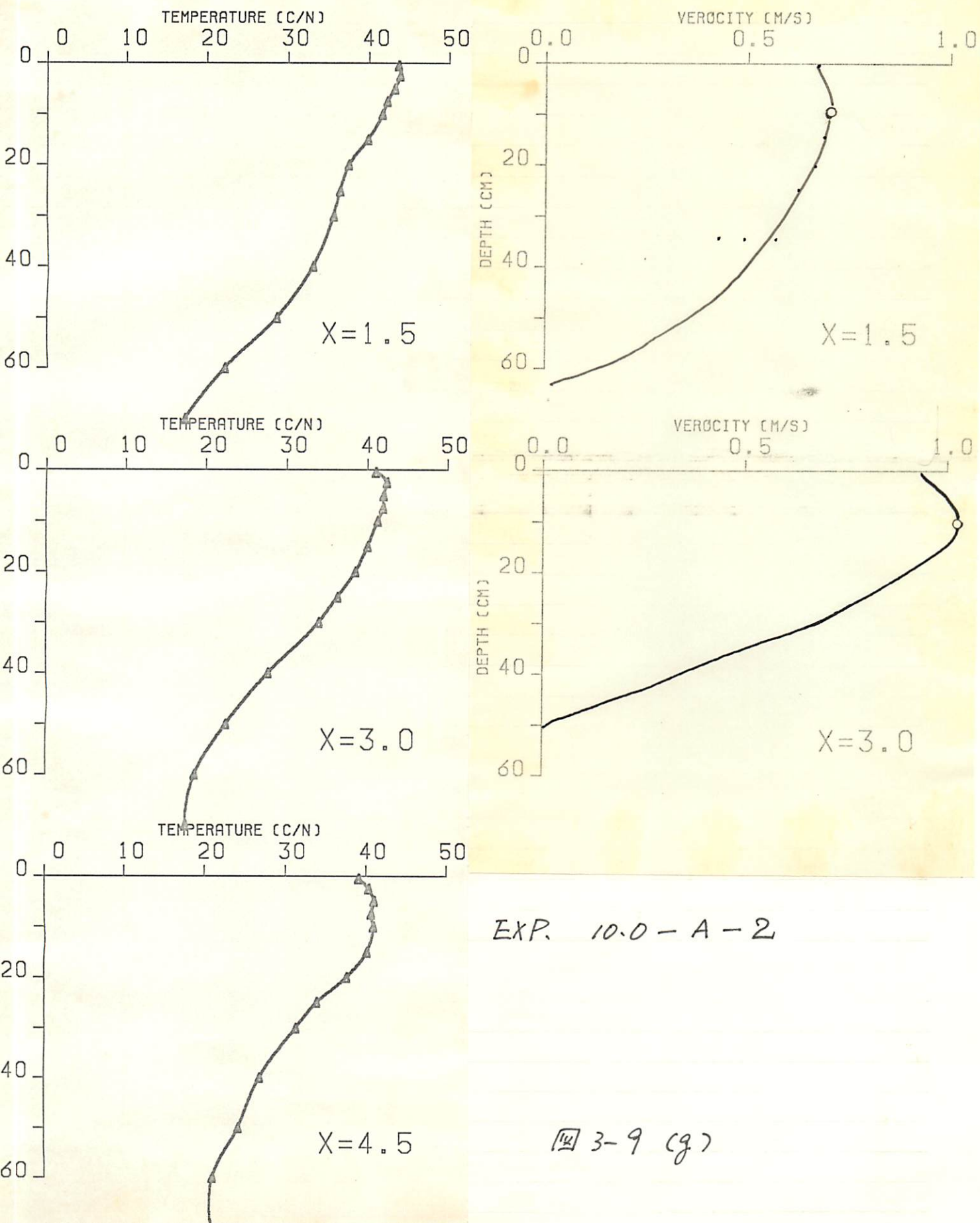
EXP. 10.0 - B - 2

図 3-9 (e)



Exp. 10.0 - B - 3

図 3-9 (f)



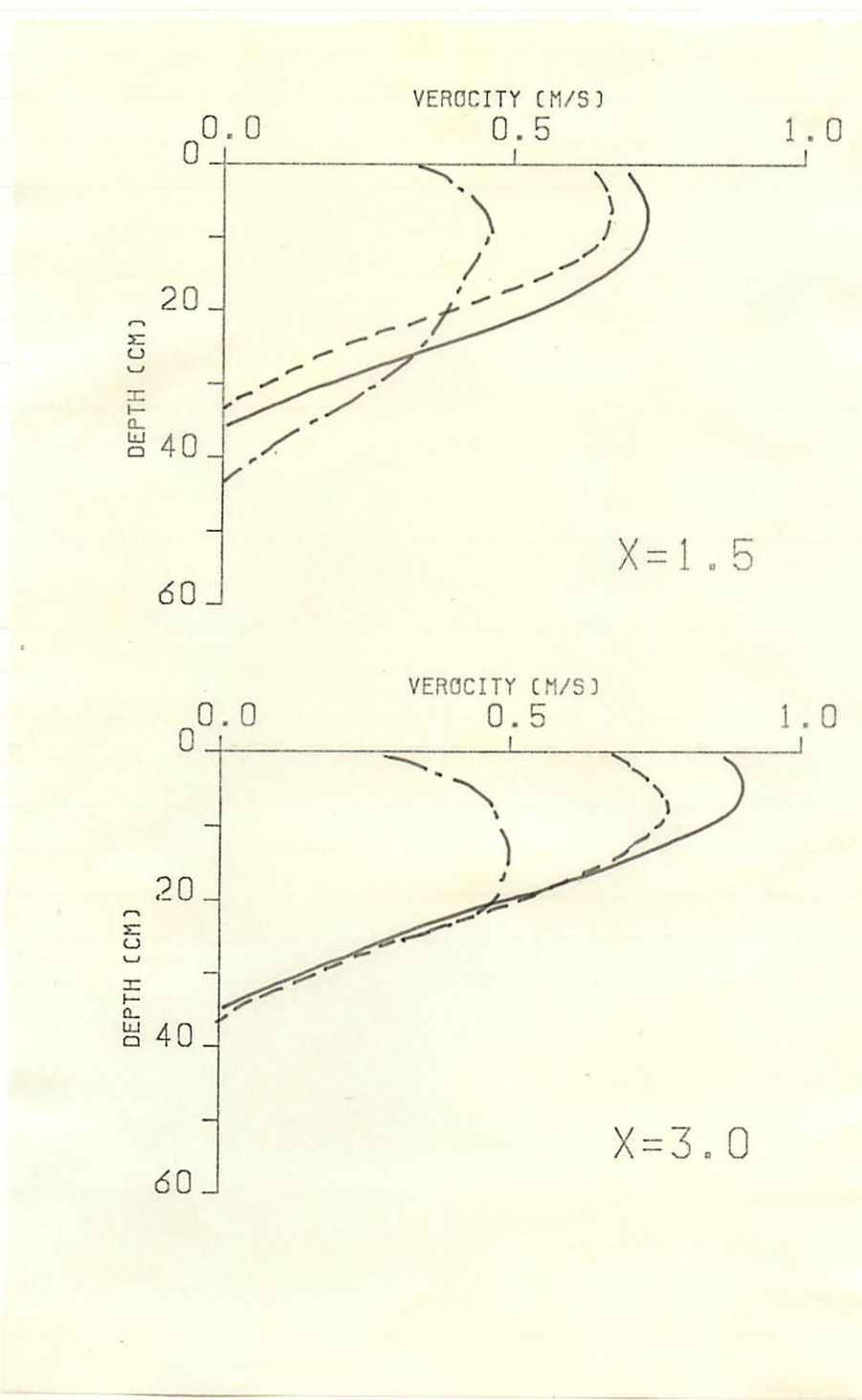


図 3-10(a)  
傾斜面の角度の邊りによる速度プロファイルの相違

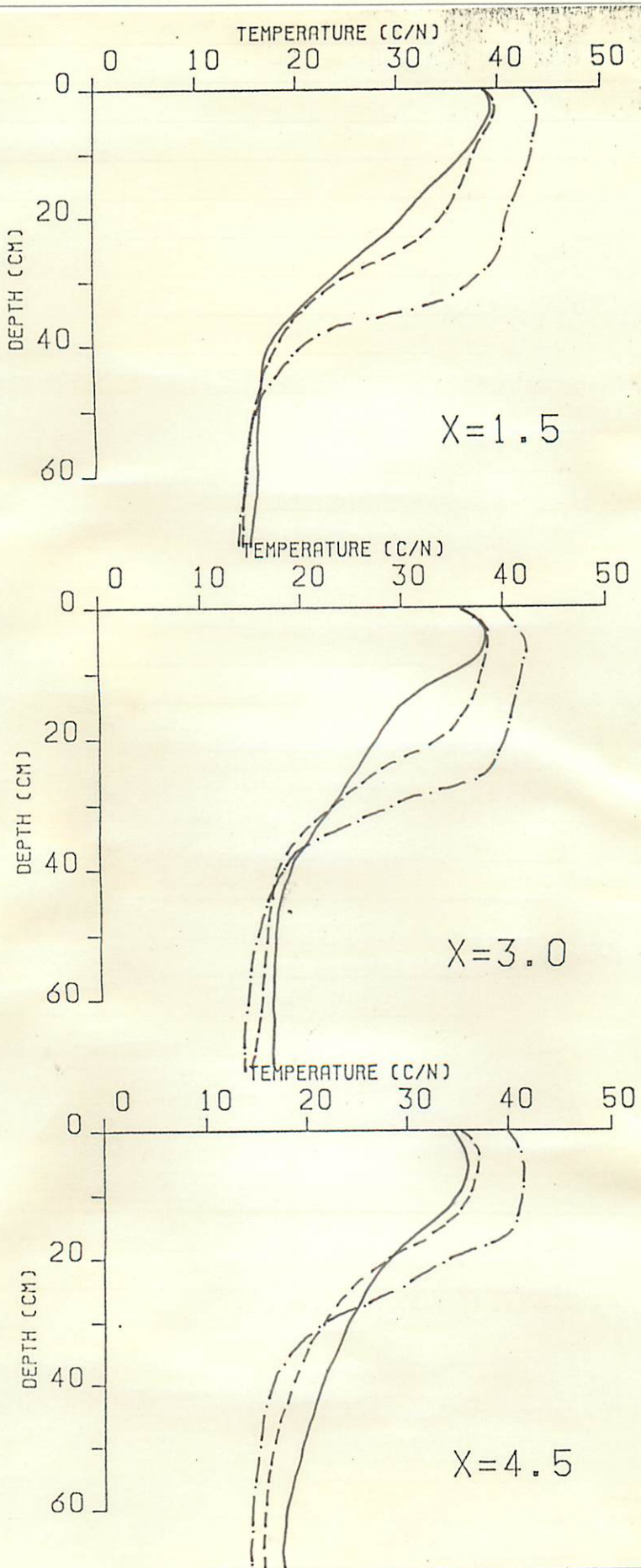


図3-10(b) 傾斜面の角度の違いによる温度プロファイルの相違

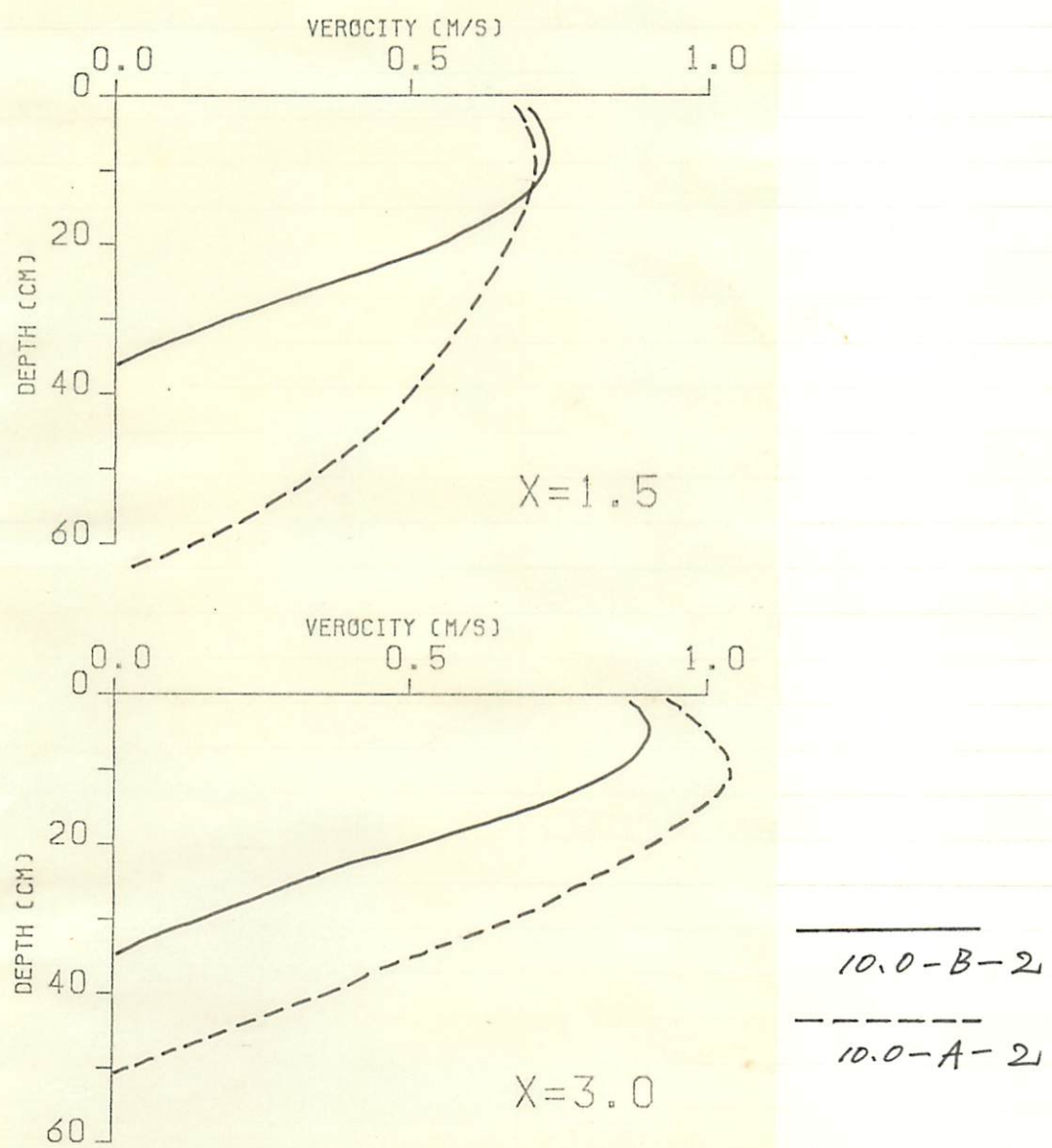
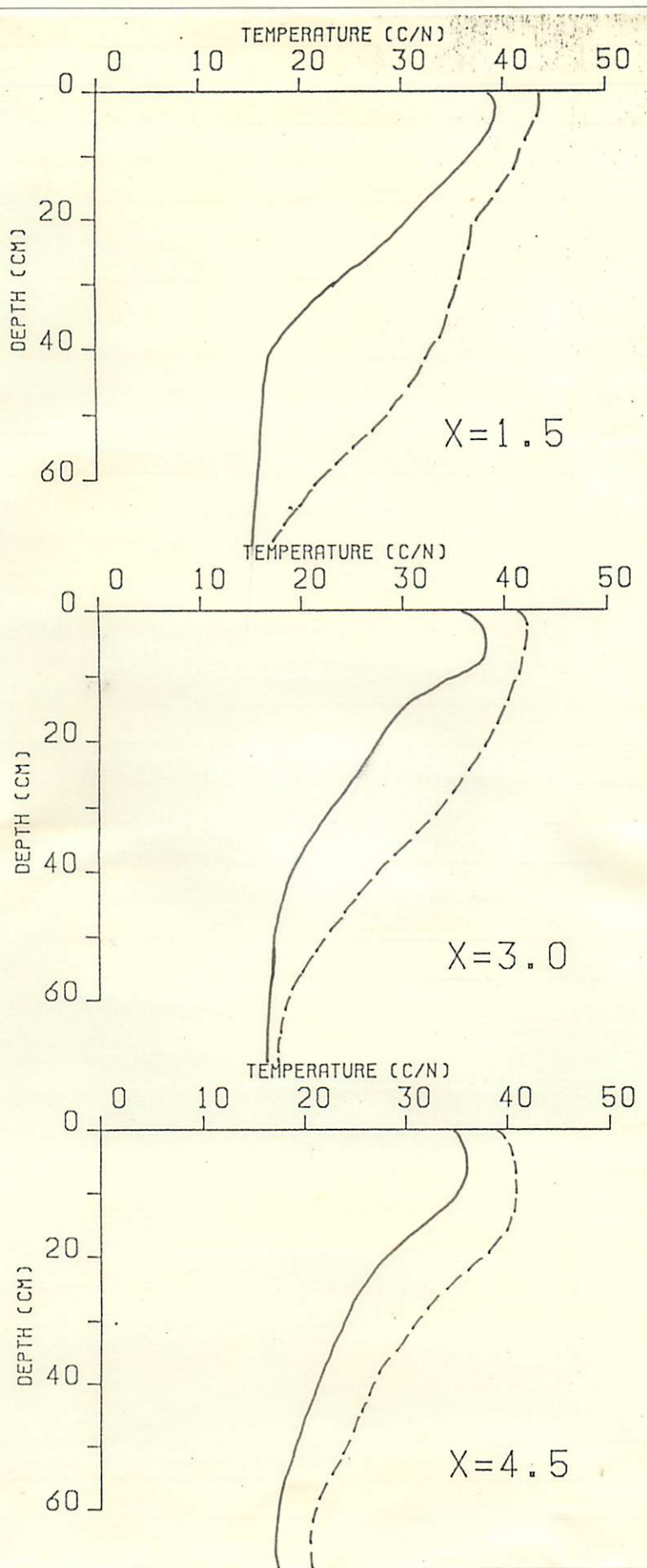
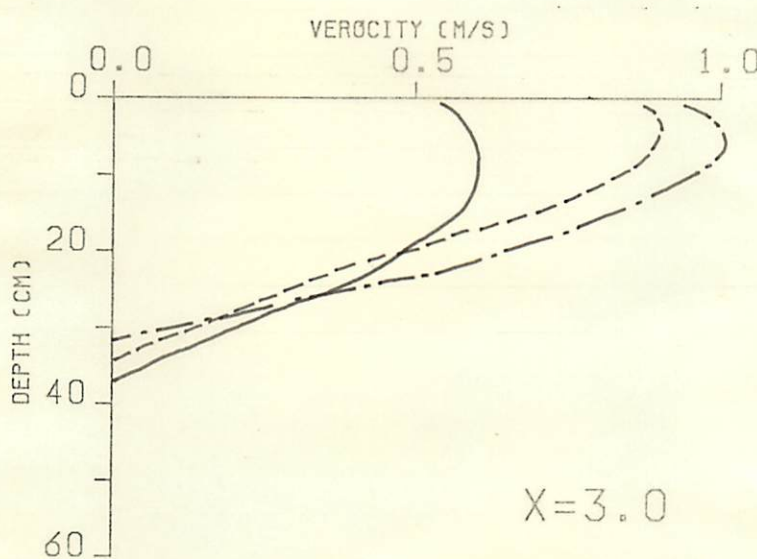
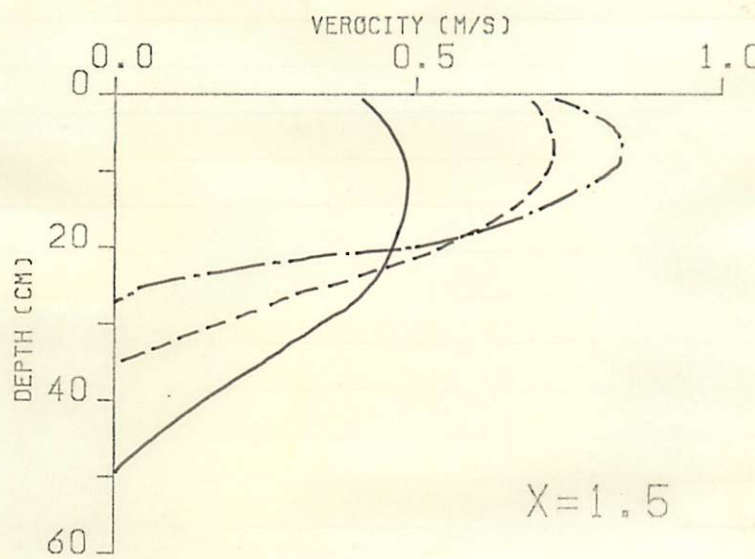


図 3-10(c)  
流量の量りによる速度プロファイルの相違



— 10.0-B-2  
- - - 10.0-A-2

図3-10(d) 流量の置換による温度プロファイルの相違



10.0-B-1

10.0-B-2

10.0-B-3

図 3-10 (e)

温度・速度の連続性の相違

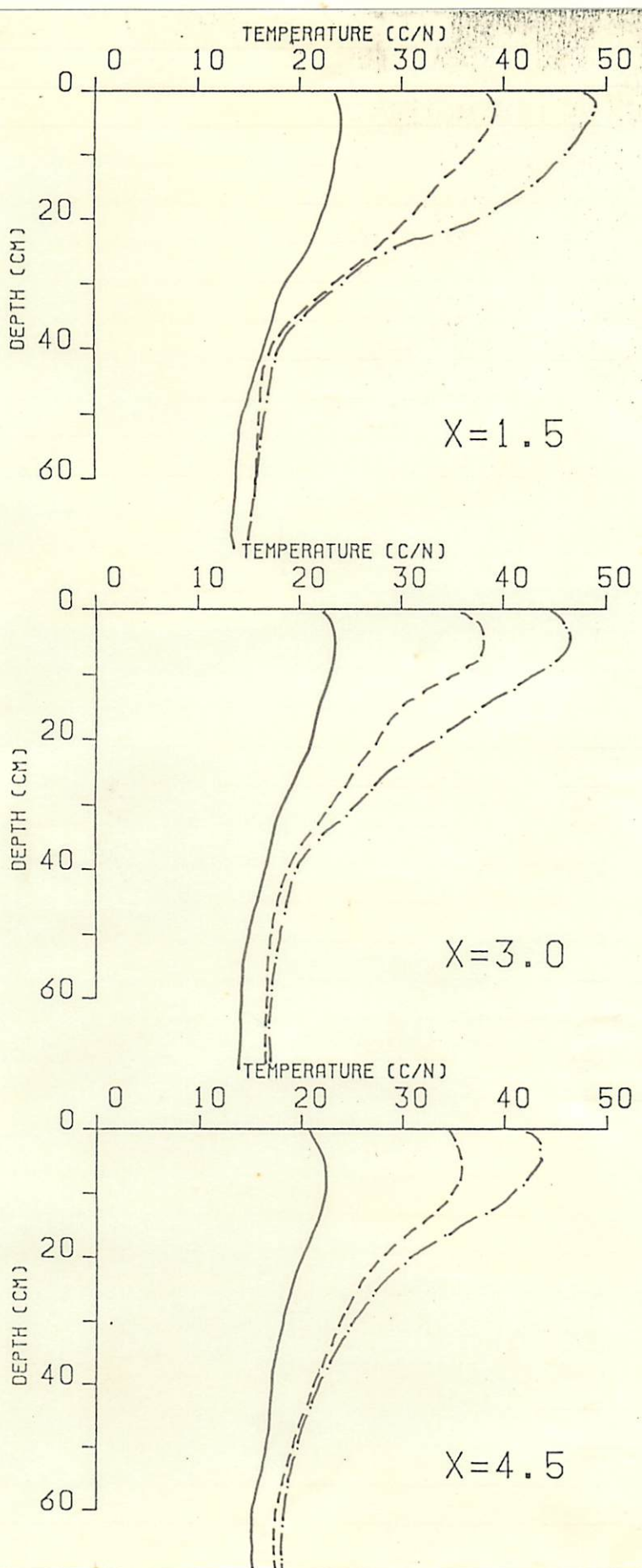


図3-10(f) 温度差の違いによる温度プロファイルの相違

表 3-2 各實驗之代入的實測值

EXP.-NO.	Tr	X=1.5				X=3.0				X=4.5	
		Umax	Ho	Tmax		Umax	Ho	Tmax	Tmax		
0.0-C-1	11.6	0.18	0.45	17.9		0.19	0.55	17.5	17.1		
B-1	11.7	0.31	0.48	25.7		0.33	0.38	24.9	24.4		
A-1	12.6	0.54	0.66	32.4		0.52	0.59	30.6	30.4		
A-2	13.6	0.65	0.60	48.6		0.70	0.60	46.4	45.9		
B-2	13.0	0.45	0.43	43.9		0.50	0.36	42.3	41.6		
2.5-C-1	9.2	0.25	0.35	16.0		0.27	0.38	15.2	14.9		
B-1	9.3	0.39	0.45	22.9		0.46	0.37	21.8	21.3		
A-1	10.1	0.61	0.66	30.1		0.67	0.65	27.8	27.5		
A-2	10.5	0.69	0.57	45.5		0.88	0.58	42.6	42.2		
B-2	10.1	0.57	0.35	39.4		0.67	0.35	37.6	36.4		
5.0-C-1	14.0	0.28	0.28	21.5		0.35	0.30	20.9	20.4		
B-1	14.7	0.39	0.37	27.3		0.49	0.40	26.4	26.0		
A-1	13.7	0.58	0.65	32.4		0.71	0.68	30.8	30.8		
A-2	12.9	0.77	0.60	40.0		0.96	0.60	38.8	37.5		
B-2	12.7	0.66	0.32	40.0		0.78	0.37	38.5	37.4		
7.5-C-1	13.9	0.32	0.28	20.7		0.37	0.32	20.2	19.6		
B-1	13.3	0.50	0.40	26.4		0.56	0.44	25.5	24.9		
A-1	13.4	0.65	0.65	31.9		0.76	0.61	30.2	30.3		
A-2	13.5	0.79	0.55	46.3		1.03	0.58	43.6	42.9		
B-2	12.7	0.70	0.41	38.2		0.86	0.38	36.5	35.3		
10.0-C-1	12.2	0.35	0.29	18.8		0.34	0.27	17.9	17.2		
B-1	12.3	0.48	0.49	24.1		0.60	0.37	23.4	22.6		
A-1	13.4	0.59	0.64	30.5		0.78	0.55	28.7	28.5		
A-2	13.3	0.72	0.60	43.8		1.04	0.51	42.3	41.0		
B-2	13.0	0.72	0.35	39.5		0.90	0.34	38.3	36.1		
B-3	13.5	0.84	0.27	49.3		1.02	0.32	46.4	43.9		

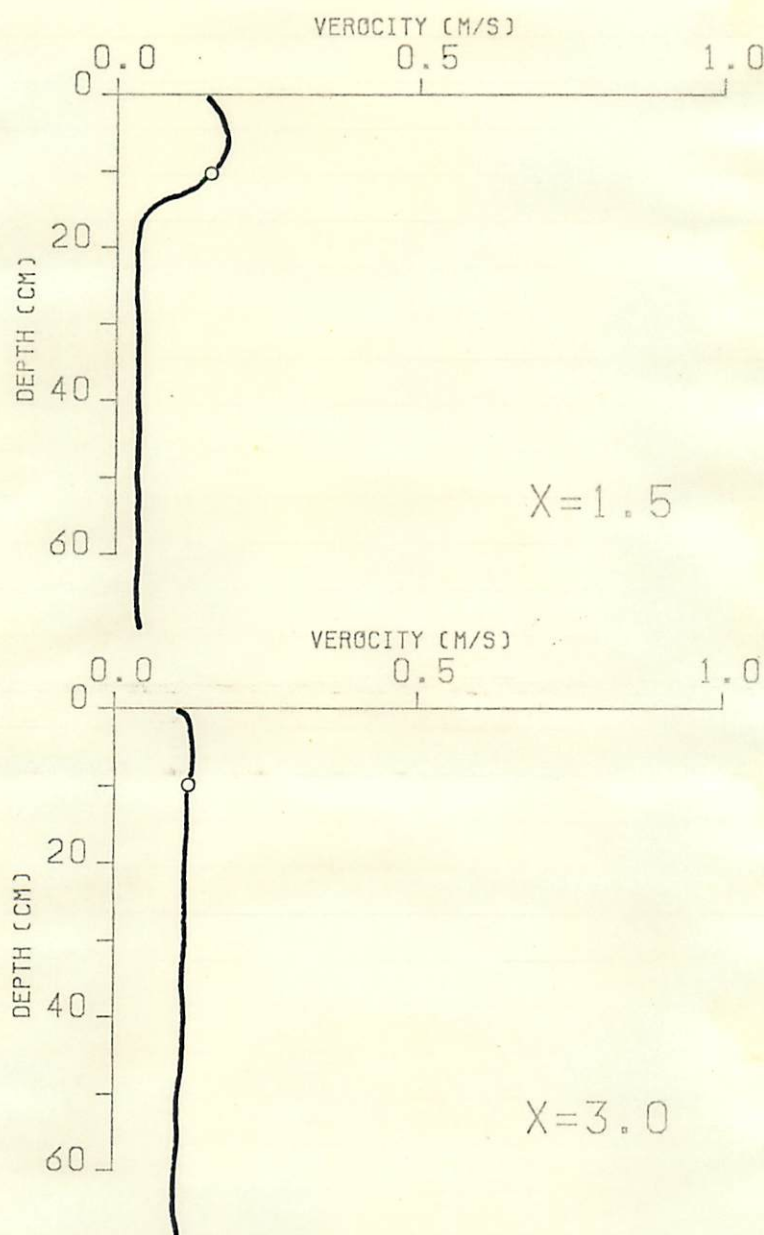


図 3-11 等温气流を吹き出す時の速度プロファイル ( $\alpha = 0^\circ$ )

## 第Ⅳ章 傾斜面上に沿う煙流動の理論的解析.

### IV-1 積度流とその煙の性質

密度流が研究されてから分钟は主に気象上に留まり、気象では寒冷前線の動きなど大規模な大気の進行に関するものが多く、J. E. Simpson<sup>(4-1)</sup>の大気の密度流に関する研究などが興味深いが、煙に対して密度流の考え方を適用した研究はそれほど見当らない。本当にそれは近頃が示した煙の密度流とはみなした手法を用いて理論的解析を行なう。

第Ⅲ章で述べた実験における速度および温度プロファイルは、温度プロファイルは周囲空気との温度差プロファイルという形にし、各々それらの点における最大値と、流れ厚さ  $\delta$  (傾斜面から距離  $u=0$  からの距離) によく無次元化すると、それらの 図4-1(a), (b) に示すようだ。  $U_{max}$ ,  $\Delta T_{max}$  のあたりの範囲で流れ方向にプロファイルが保たれることはわかる。またそれらの傾斜面向に沿って、流れに保存されるプロファイルは必ずしも相違を見せてない。さらに、無次元した速度プロファイルと温度差プロファイルを比較すると、速度の境界層は比べて熱の境界層のやかましく二重層構造である。

このようなことから  $y \gg h$  は  $u \ll 1$  で  $\Delta T = 0$  つまり  $\rho = \rho_\infty$  となる。

図4-2は示す速度および温度差のプロファイルが、すべての傾斜面向に沿って流れ全体に保存されるものと仮定して以後の解析を行なうこととする。

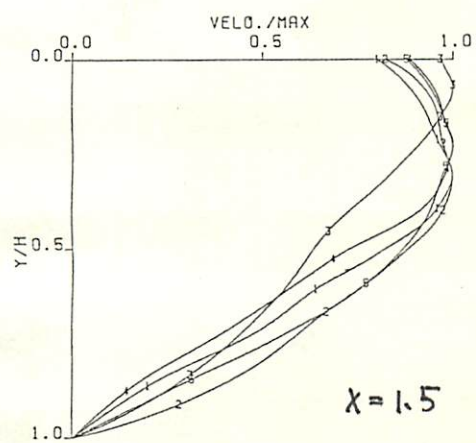
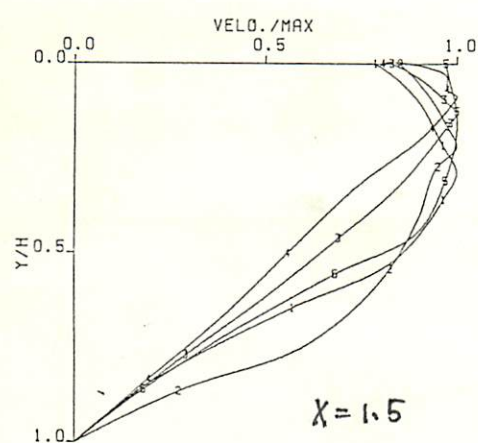
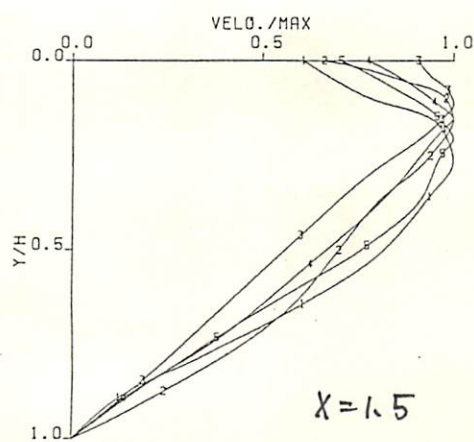
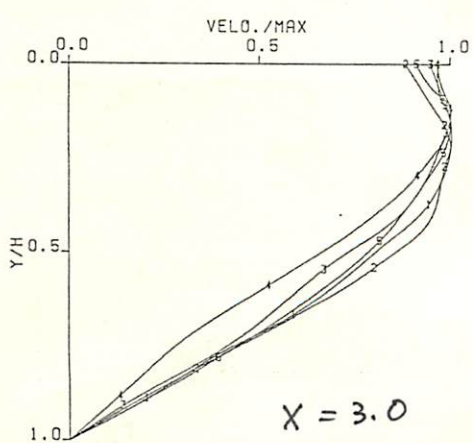
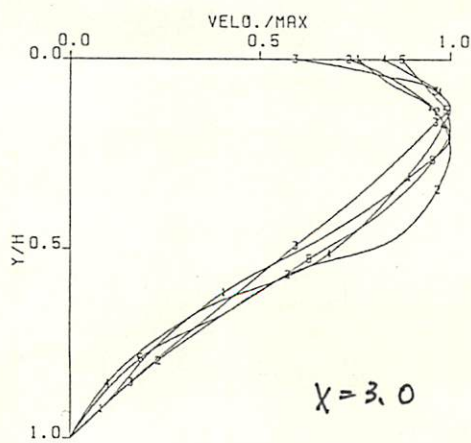
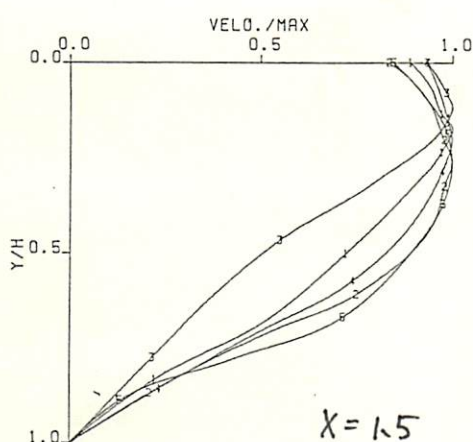
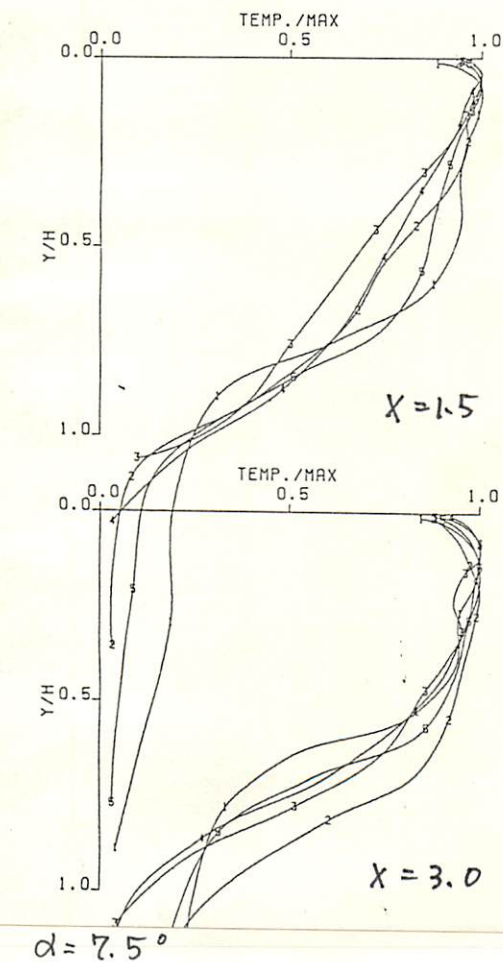
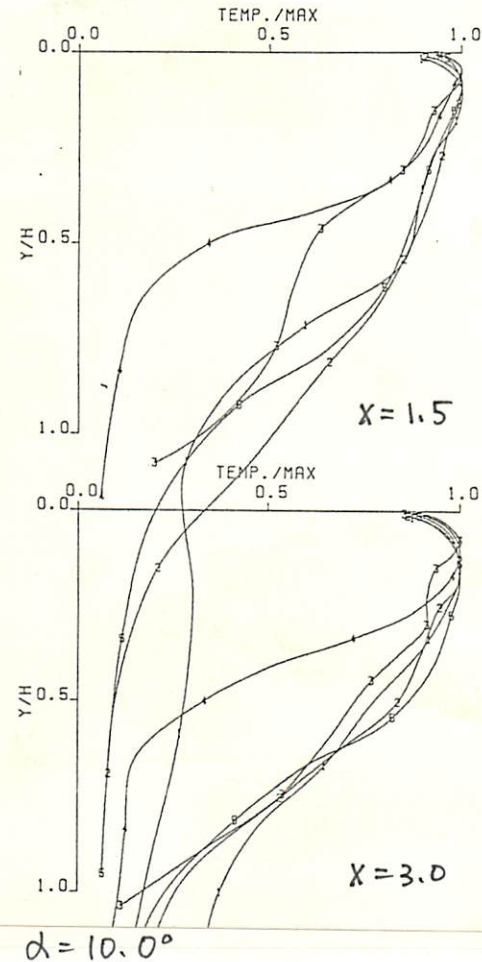
$\alpha = 2.5^\circ$  $\alpha = 5.0^\circ$  $\alpha = 7.5^\circ$  $\alpha = 10.0^\circ$ 

図 4-1(a) 無次元化した速度プロファイル

$\alpha = 2.5^\circ$



$\alpha = 5.0^\circ$



37

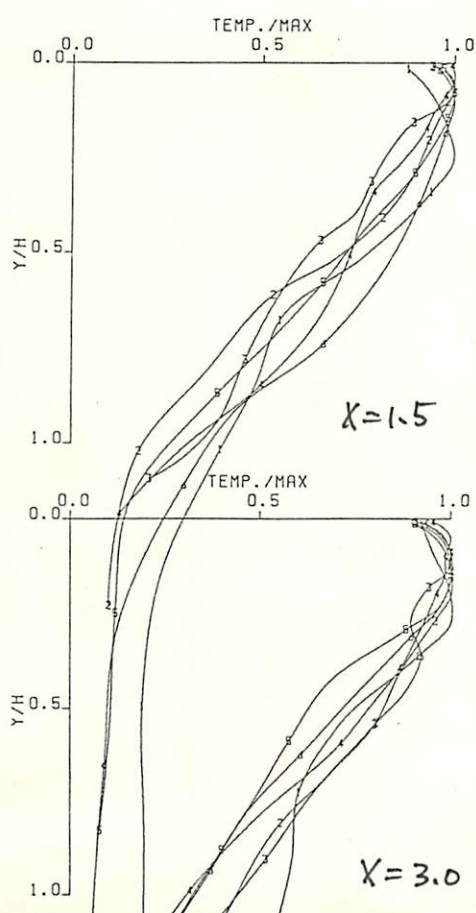
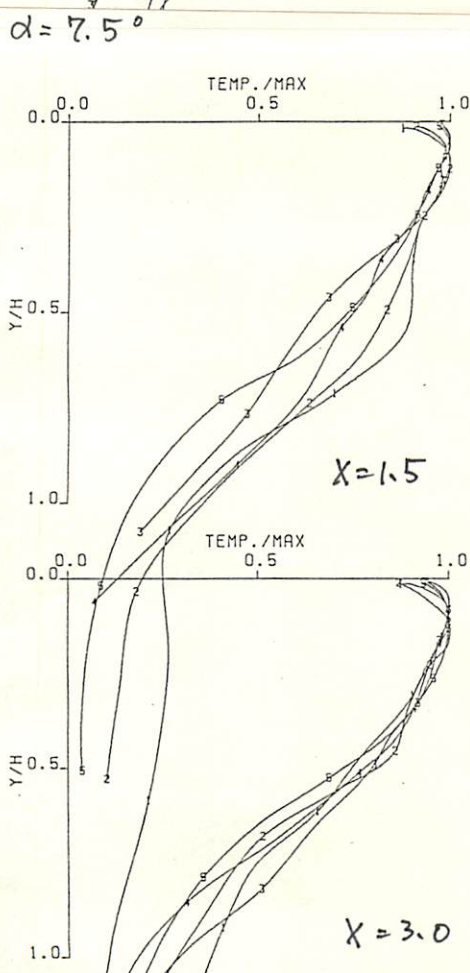


図4-1 (b) 無次元化した温度差プロファイル

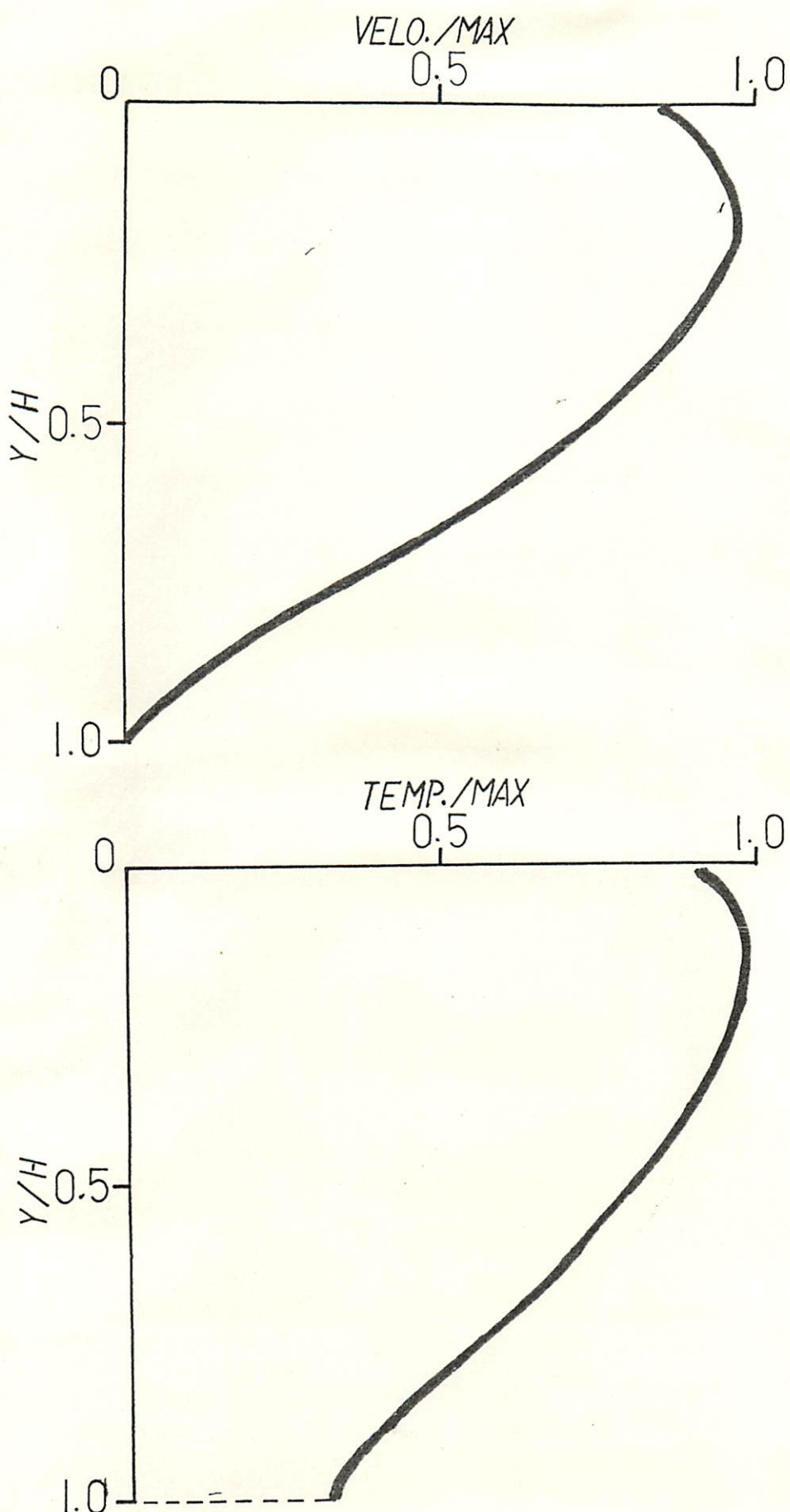


図4 優化工場の速度および温度差プロファイル

## IV 基礎式の導入と代表値への変換

### ・運動方程式

傾斜面上に沿う流れを図4-3

のような座標軸における2次元  
流れと考之る。Navier-Stokes

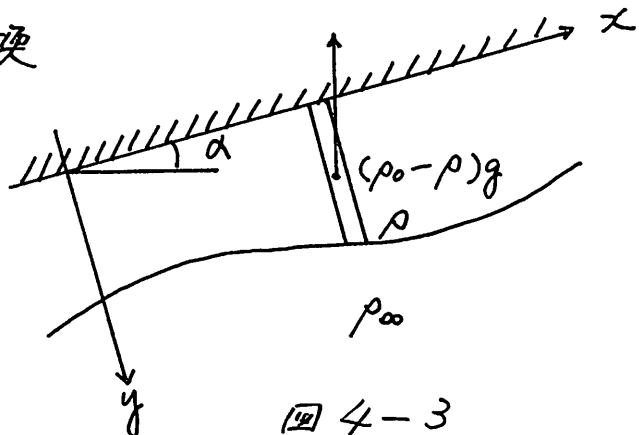


図4-3

の方程式をオーダー比較して得

られた 2次元の境界層方程式に対して、質量力の項は $\gamma$ 密度  
変化を考慮する Bossinesq 近似を適用すると、x, y 軸方向の運動  
方程式及び連続の式は以下の様になる。

$$\rho_\infty \left( \frac{\partial u}{\partial x} + u \frac{\partial u}{\partial x} + v \frac{\partial u}{\partial y} \right) = - \frac{\partial P}{\partial x} + (\rho_\infty - \rho) g \sin \alpha + \mu \frac{\partial^2 u}{\partial y^2} \quad (1)$$

$$0 = - \frac{\partial P}{\partial y} - (\rho_\infty - \rho) g \cos \alpha \quad (2)$$

$$\frac{\partial u}{\partial x} + \frac{\partial v}{\partial y} = 0 \quad (3)$$

$k=52$ ,  $100^\circ\text{C}$  は毛皮が"煙が"流れの場合に万能では"静止空気と  
の密度差"がつりあり慣性項を影響受けると考之らむことか  
ら。Bossinesq 近似を適用する場合妥当性が問題となる。  
したがって上式にスリーブ、エッジのは流れの二ヶ所の幅部分に  
だけ釣合いであり。解法によると流れは  $\rho$  x 方向の  
変化が極めて少すからでありますから 上式が妥当であると考之  
らむがで。なま、吸うのは定常流れであらから (1) 式の左边

$$\text{第1項 } \frac{\partial u}{\partial n} = 0 \quad \text{である。}$$

∴ (1) 式を  $y=0$  に関して傾斜面 ( $y=0$ ) から  $x$  軸方向の  
速度  $u=0$  となる高さ ( $y=h$ ) まで積分する

$$\begin{aligned} & \int_0^h u \frac{\partial u}{\partial x} dy + \int_0^h v \frac{\partial u}{\partial y} dy \\ &= - \int_0^h \frac{1}{\rho_\infty} \frac{\partial P}{\partial x} dy + \int_0^h \frac{\rho_\infty - \rho}{\rho_\infty} g \sin \alpha dy + \frac{\mu}{\rho_\infty} \left[ \frac{\partial u}{\partial y} \right]_0^h \quad (1') \end{aligned}$$

∴  $\tau_w = \mu \left( \frac{\partial u}{\partial y} \right)_{y=0}$  ; 傾斜面に沿う摩擦応力

$$\tau_s = -\mu \left( \frac{\partial u}{\partial y} \right)_{y=h} \quad ; \text{自由表面(界面)に沿う摩擦応力}$$

より  $\frac{\mu}{\rho_\infty} \left[ \frac{\partial u}{\partial y} \right]_0^h = -\frac{1}{\rho_\infty} (\tau_w + \tau_s)$

また (3) 式より

$$v = - \int_0^y \frac{\partial u}{\partial x} dy$$

$$\begin{aligned} & \int_0^h v \frac{\partial u}{\partial y} dy = - \int_0^h \left( \frac{\partial u}{\partial y} \int_0^y \frac{\partial u}{\partial x} dy \right) dy \\ &= - \left[ u \int_0^h \frac{\partial u}{\partial x} dy \right]_0^h + \int_0^h u \frac{\partial u}{\partial x} dy \\ &= \int_0^h u \frac{\partial u}{\partial x} dy \quad (\because y=0, t=0 \text{ 时 } u=0) \end{aligned}$$

これらを (1') に代入すれば

$$\begin{aligned} & \int_0^h \frac{\partial}{\partial x} (u^2) dy = -\frac{1}{\rho_\infty} \int_0^h \frac{\partial P}{\partial x} dy \\ &+ \int_0^h \frac{\rho_\infty - \rho}{\rho_\infty} g \sin \alpha dy - \frac{1}{\rho_\infty} (\tau_w + \tau_s) \quad (1'') \end{aligned}$$

$$\text{また(2)式より} \quad P = \int_y^h (\rho_\infty - \rho) g dy \quad (0 \leq y \leq h)$$

とおくことができる。これは(1')を代入し、積分の上限を後にして  
 $h \rightarrow \infty$ へ変更すると  $y \geq h$  は無意味で  $u=0, \rho_\infty - \rho = 0$  となるため積分の値には変化がない。積分の上限が  $z$  と無関係となる。  
 したがって微分と  $y$  は積分の順序を交換することができる。可能となる。

$$\begin{aligned} \frac{\partial}{\partial z} \int_0^\infty u^2 dy &= - \frac{1}{\rho_\infty} \frac{\partial}{\partial z} \int_0^\infty \left( \int_y^h (\rho_\infty - \rho) g dy \right) dy \\ &\quad + \int_0^\infty \frac{\rho_\infty - \rho}{\rho_\infty} g \sin \theta dy - \frac{1}{\rho_\infty} (T_w + T_s) \\ &= - \frac{\partial}{\partial z} \int_0^\infty \frac{\rho_\infty - \rho}{\rho_\infty} g y dy + \int_0^\infty \frac{\rho_\infty - \rho}{\rho_\infty} g \sin \theta dy \\ &\quad - \frac{1}{\rho_\infty} (T_w + T_s) \end{aligned} \quad (4)$$

速度プロファイルの傾きから傾斜面上における摩擦応力の方が自由表面上よりもこれよりもかなり大きいと予測できる。また既往の実験下ににおける煙流動実験<sup>(N-3)</sup>などにおける実測結果からも。

$T_s/T_w = 0.1 \sim 0.3$  程度でほぼ一定の値を示すことが明らかにされていて、流れの摩擦損失が  $V^2$  に比例するところを考慮すれば、単位長さ当たりの圧力損失、すなはち統括的な摩擦応力  $T_f$  は  $\rho V^2$  に比例すると考へることができる。ここで  $\rho$  の変化を考慮しないので比例係数(摩擦損失係数)を  $F$  とすると

$$\frac{1}{\rho_\infty} (T_s + T_w) = \frac{T_f}{\rho_\infty} = F V^2$$

と書くことができる。

### • 热量保存

運行によると周囲空気が混合されることはより温度(密度)変化の方が壁などへの熱損失による温度変化と比較してかなり大きくなる。また今回の実験においては壁の運動距離が短いことなどから、壁面などへの熱損失はあまりものなし、流れ方向への統量としての密度差が保存されたとする。

$$\int_0^\infty (\rho_\infty - \rho) g dy = \text{const} \quad (5)$$

ところで、運動方程式及び熱量保存の式にオーダー積分の項は以下の式で用いて代表値に变换することが可能である。

$$\begin{aligned}
 VH &\equiv \int_0^\infty u dy \\
 V^2 H &\equiv \int_0^\infty u^2 dy \\
 VH\bar{D} &\equiv \int_0^\infty u \frac{\rho_\infty - \rho}{\rho_\infty} g dy \\
 S_1 H\bar{D} &\equiv \int_0^\infty \frac{\rho_\infty - \rho}{\rho_\infty} gy dy \\
 S_2 H\bar{D} &\equiv \int_0^\infty \frac{\rho_\infty - \rho}{\rho_\infty} g dy
 \end{aligned} \tag{6}$$

これらの変換式は速度および密度差(温度差)のプロファイルが保存されたことが適用の条件であり、任意のプロファイルに対して上3つの式は  $\bar{H}, u, \Delta p \leq H, V, D$  の関係が成り立つ。

決まり。その結果下の2つの式においてプロファイルによって決まる  
係数が付加される。

図4-2に示した條件で右プロファイルを用いれば

$$\left. \begin{aligned} V &= 0.81 u_{max} \\ H &= 0.79 - h \\ D &= 0.96 \frac{\Delta P_{max}}{\rho_{\infty}} g = 0.96 \frac{\Delta T_{max}}{T_{max}} g \end{aligned} \right] \quad (7)$$

また  $S_1 = 0.36$ ,  $S_2 = 1.09$  となる。

ここで(6)式と(4), (5)式に用いれば

$$\frac{d}{dx}(V^2 H) = -F V^2 + S_2 D H \sin \alpha - \frac{d}{dx}(S_1 D H^2 \cos \alpha) \quad (8)$$

$$V H D = \text{const } (= Q) \quad (9)$$

また、空度流の場合射流範囲における周囲空気を巻き込む  
進行(entrainment)を生じて質量保存は成立しなくなる。  
進行に関する理論を導入する。

進行係数  $E$  を無次元数として(6)式で定義された  $V, H$  に  
おいて進行の式は

$$\frac{d}{dx}(VH) = EV \quad (10)$$

と定義される。これは流体に進行を生じさせた側とその周囲  
流体の側とに分け、流体間の移動速度(輸送量)を進行を  
生じさせた側の平均的な代表速度との比で表現しよう  
とするものである。

この連続係数  $E$  はつづけ

$$E = 0.075 \exp(-3.9R_i) \quad (11)$$

より Ellison-Turner の実験式があり、本論ではこれに従うこととする。ただし、この式における  $R_i$  (リチャードソン数) はつづけ後述する。

### IV-3 方程式の展開とその意味

導き出された 3 つの基礎方程式における変数は、 $V, H, D$  の 3 つであるから、そのままで式を解くことは不可能である。しかしここで新たに流れの性質を表す無次元数としてリチャードソン数 ( $R_i = HD \cos \alpha / V^2$ ) を導入し、式を整理するとによって、後述のように式から流れの性質を知ることが可能である。 $R_i$  数は、 $R_i = -g \frac{d\bar{\rho}}{dx} / \rho_0 (\frac{du}{dy})^2$  の定義が一般的で、流れの中的の任意の点に沿う鉛直方向の拡散の強さを支配的数といわれるが、ここでは流动層全体における浮力項と慣性項との比を表す数として、層平均リチャードソン数 (overall Richardson number) の定義に従つる。

これを (8) 式に代入すると

$$\frac{d}{dx}(V^2 H) = -TV^2 + S_2 R_i V^2 \tan \alpha - \frac{d}{dx}(S, R_i V^2 H)$$

$$\frac{d}{dx}\{(1+S, R_i)V^2 H\} = -TV^2 + S_2 R_i V^2 \tan \alpha \quad (8')$$

また (10) 式より

$$V \frac{dH}{dx} + H \frac{dV}{dx} = EV$$

$$\frac{dV}{dx} = \frac{V}{H} (E - \frac{dH}{dx})$$

これを (8') 式に代入整理すると

$$\frac{d}{dx} \left\{ (1 + S_1 R_i) V^2 H \right\} = (1 + S_1 R_i) (2E - \frac{dH}{dx}) V^2 + S_1 V^2 H \frac{dR_i}{dx}$$

$$\therefore S_1 H \frac{dR_i}{dx} + (1 + S_1 R_i) (2E - \frac{dH}{dx}) = -F + S_2 R_i \tan \alpha \quad \text{--- (12)}$$

また (9) 式と  $R_i$  の定義より

$$R_i = \frac{Q}{V^3} \cos \alpha$$

$$\begin{aligned} \therefore \frac{dR_i}{dx} &= \frac{d}{dx} \left( \frac{Q}{V^3} \cos \alpha \right) \\ &= -\frac{3Q}{V^4} \frac{dV}{dx} \cos \alpha \\ &= -3 \frac{Q \cos \alpha}{V^3 H} (E - \frac{dH}{dx}) \quad (\because \frac{dH}{dx} = \frac{V}{H} (E - \frac{dH}{dx})) \\ &= \frac{3R_i}{H} \left( \frac{dH}{dx} - E \right) \end{aligned} \quad \text{--- (13)}$$

(13) 式を (12) 式に代入し 整理すると

$$\frac{dH}{dx} = \frac{(2 - S_1 R_i) E - S_2 R_i \tan \alpha + F}{1 - 2S_1 R_i} \quad \text{--- (14)}$$

これを (13) 式に代入 整理すれば

$$\frac{dR_i}{dx} = \frac{3R_i}{H} \cdot \frac{(1 + S_1 R_i) E - S_2 R_i \tan \alpha + F}{1 - 2S_1 R_i} \quad \text{--- (15)}$$

ここで “流れの性質を表す可変” が導き出された。この両辺における  
独立変数は  $H \in R_i$  の 2つで  $IT$  であるから、流れの  $A_1 - A_2$  の

条件が“わか”ない場合は、式を差分化して  $dx$  を “さうした” ことなく、  
で近似計算を行ふことにより、流れの他の点における  
う条件を求めることが可能である。

この両式を  $H$  について流れの代表値  $H_0$  で無次元化した値  
 $H^* = H/H_0$  を用ひ、 $x$  方向の距離も同様に  $x^* = x/H_0$  と  
無次元化すれば、

$$\frac{dH^*}{dx^*} = \frac{(2 - S_1 R_i) E - S_2 R_i \tan \alpha + F}{1 - 2 S_1 R_i} \quad (14')$$

$$\frac{dR_i}{dx^*} = \frac{3 R_i}{H^*} \cdot \frac{(1 + S_1 R_i) E - S_2 R_i \tan \alpha + F}{1 - 2 S_1 R_i} \quad (15')$$

となり無次元化される。

ここで、式(14), (15) について考察する。上式の特異点は、分子  
 $= 0$  となる条件と、 $\frac{dR}{dx} = 0$  となる条件である。

また、 $\frac{dR}{dx} = 0$  となる条件、つまり等流条件（等流とは水としての斜  
面上で同じ速度、厚さで流れの状態）について考察する。

$$(1 + S_1 R_{ie}) E - S_2 R_{ie} \tan \alpha + F = 0 \quad (16)$$

$F = 0.015$  一定であるとする。等流条件にズレたリチャードソン数  $R_{ie}$  は  $\alpha$  の関数となる。図 4-4 のような関係が正まる。

また流れの上にかけ射流であるとする。その点で射流より  
 $1 - 2 S_1 R_i > 0$  となるから、 $R_i > R_{ie}$  の時は (14) 式にズレた分を < 0  
より  $\frac{dR_i}{dx} < 0$ 、 $R_i < R_{ie}$  の時は  $\frac{dR_i}{dx} > 0$  より  $\frac{dR_i}{dx} > 0$  とな  
り流れは  $R_i = R_{ie}$  に収束する。

また、分子 = 0、すなはち

$Ri = 1/2S_1$  となる条件

は水理学で言うところの

常流 (sub-critical flow) と

射流 (super-critical flow)

の遷移点を示す条件であり。

$Ri < 1/2S_1$  のときは

流れは射流となり。

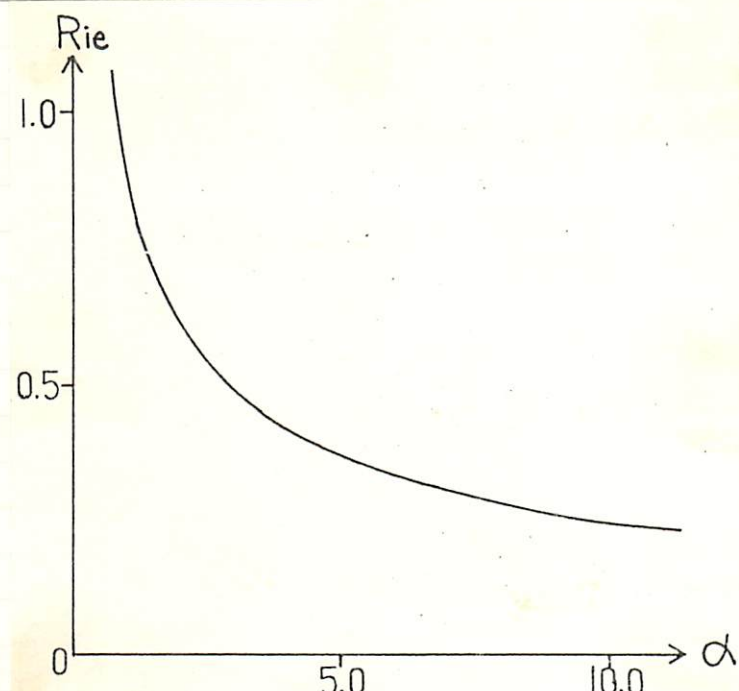


図 4-4  $\alpha - Rie$  の関係

$Ri > 1/2S_1$  のときは

流れは常流となる。つまりこの接続点は自由表面上における擾乱が上流へ伝播するかしないかの物理的な境界点である。

擾乱が上流へ伝播しない射流においては、流れは下流側の条件に左右されないが、擾乱が上流へ伝播する常流においては

は、流れは下流側の条件により影響をうける。

ここで、水平面から傾斜面への接続点における流れが常流から射流に遷移するところをすれば、 $Ri = 1/2S_1$  を条件として流れが転折するこれが可能となる。つまり接続点における  $Ri \approx 1/2S_1$  は決まってしまえば、流れは  $\alpha$  によつてのみ変化することになる。

ここで、接続点における  $Ri = 1/2S_1 = 1.39$  とし、その他代表値はこれまで述べた接続点における値で無次元化して、式(14'), (15')を用いて差分近似計算を行な、下結果を図 4-5 に示す。

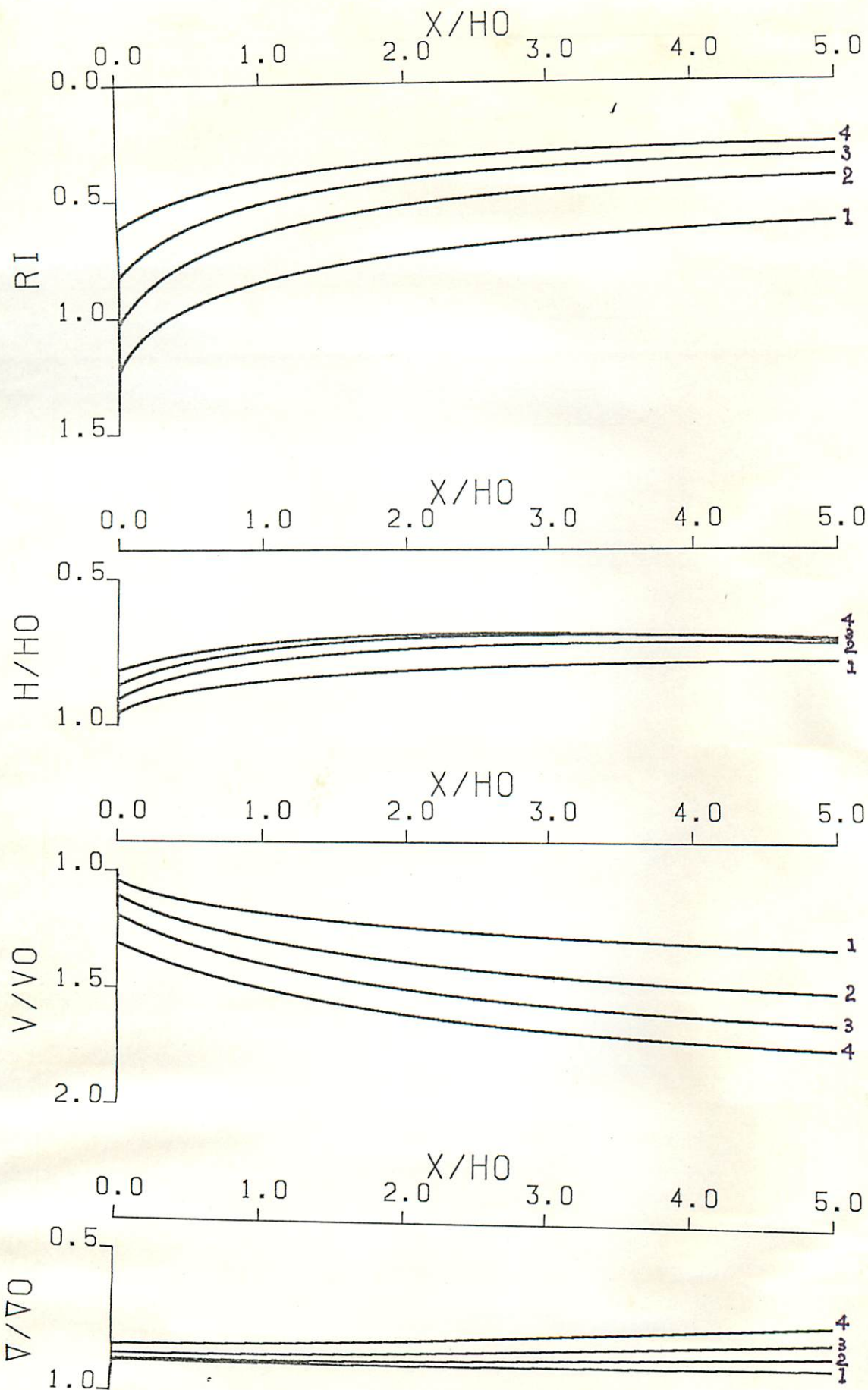


図 4-5 各代表値の理論値  
 $1 \rightarrow \alpha = 2.5^\circ \quad 3 \rightarrow \alpha = 7.5^\circ$   
 $2 \rightarrow \alpha = 5.0^\circ \quad 4 \rightarrow \alpha = 10.0^\circ$

$R_i$  はそれぞれの  $\alpha$  に対する  $R_{ie}$  を収束し、また (11) 式と (10) 式に代入すれば

$$\frac{dH}{dx} = E = 0.075 \exp(-3.9 R_i) \quad (17)$$

となり。等流状態においては  $\frac{dH}{dx}$  は一定となる。また (10) 式より  $V \frac{dH}{dx} + H \frac{dV}{dx} = EV$  である (17) 式より  $V \frac{dH}{dx} = EV$  より  $\frac{dV}{dx} = 0$  となり  $V = \text{const} = V_e$  となる。

ここで遷移熱の各特性値を  $V_c, H_c, D_c$  “等流となる位置” の値を  $V_e, H_e, D_e$  とする

$$V_c H_c D_c = V_e H_e D_e = Q$$

$$\text{等熱伝導率の式} \quad \frac{H_c D_c}{V_c^2} = R_{ic} = 1/2S_1$$

$$\frac{H_e D_e}{V_e^2} \cos \alpha = R_{ie}$$

$$\text{より} \quad \frac{V_e}{V_c} = \left( \frac{R_{ic}}{R_{ie}} \cos \alpha \right)^{\frac{1}{3}} \quad \text{となる。}$$

遷移熱  $V_c$  の  $V_c$  は  $\alpha$  には通過する重量とその熱の温度；  $D_c$  がわかれば  $V_c$  は決まるから、傾斜面の角度  $\alpha$  が定まることにより。

火薬の上昇速度  $V_e$  を計算することが可能となる。

$$\begin{aligned} V_e &= \left( \frac{R_{ic}}{R_{ie}} \cos \alpha \right)^{\frac{1}{3}} V = \left( \frac{\cos \alpha}{R_{ie}} \right)^{\frac{1}{3}} \cdot \left( \frac{H_c D_c}{V_c^2} \right)^{\frac{1}{3}} \cdot V_c \\ &= \left( \frac{Q}{R_{ie}} \cos \alpha \right)^{\frac{1}{3}} \end{aligned} \quad (18)$$

したがって  $V_e$  は 傾斜面の角度と、流入熱量によつて定まることか

## 第Ⅶ章 結論

### V-1 実測値に基づく考察

表 5-1  $X=1.5m, X=3.0m$

の各測定点における実測値をも

とに (7) 式を用いて求めた各

代表値のリストを、また図

5-2 (a) ~ (e) に 各代表

値の  $X=1.5m$  との値と  $X=3.0m$

との値の比と  $X=1.5m$  との

比の関係を示す。

表 5-1 実測値より算出された代表値

$\alpha(^{\circ})$	$X=1.5 m$				$X=3.0 m$			
	H	V	$\nabla$	Ri	H	V	$\nabla$	Ri
0.0-C-1	0.360	0.145	0.178	2.946	0.435	0.154	0.167	3.067
B-1	0.384	0.254	0.386	2.292	0.500	0.267	0.365	1.533
A-1	0.528	0.443	0.534	1.437	0.466	0.421	0.488	1.282
A-2	0.480	0.553	0.896	1.514	0.474	0.567	0.845	1.246
B-2	0.344	0.369	0.803	2.028	0.284	0.405	0.765	1.526
2.5-C-1	0.280	0.205	0.194	1.289	0.300	0.219	0.171	1.075
B-1	0.360	0.320	0.378	1.531	0.292	0.573	0.349	0.734
A-1	0.528	0.500	0.543	1.145	0.514	0.543	0.484	0.844
A-2	0.456	0.566	0.905	1.287	0.458	0.713	0.837	0.754
B-2	0.280	0.467	0.772	0.989	0.277	0.543	0.729	0.684
5.0-C-1	0.224	0.230	0.260	0.887	0.257	0.284	0.193	0.568
B-1	0.296	0.320	0.345	0.996	0.316	0.397	0.322	0.643
A-1	0.520	0.535	0.499	0.906	0.557	0.575	0.463	0.750
A-2	0.480	0.631	0.715	0.855	0.474	0.778	0.684	0.554
B-2	0.256	0.541	0.718	0.625	0.292	0.632	0.682	0.497
7.5-C-1	0.224	0.262	0.191	0.615	0.255	0.300	0.177	0.494
B-1	0.320	0.410	0.360	0.680	0.348	0.454	0.336	0.564
A-1	0.520	0.535	0.499	0.906	0.482	0.616	0.456	0.575
A-2	0.440	0.648	0.846	0.879	0.458	0.834	0.783	0.511
B-2	0.328	0.574	0.675	0.666	0.300	0.697	0.633	0.388
10.0-C-1	0.232	0.287	0.186	0.516	0.213	0.275	0.161	0.447
B-1	0.392	0.594	0.327	0.815	0.292	0.486	0.308	0.576
A-1	0.512	0.494	0.464	0.999	0.435	0.632	0.417	0.448
A-2	0.480	0.590	0.793	1.075	0.403	0.842	0.757	0.423
B-2	0.280	0.590	0.698	0.552	0.269	0.729	0.659	0.353
B-3	0.216	0.689	0.914	0.410	0.255	0.826	0.848	0.309

を示す。

煙層の厚さについては  $R_i$  が "少しほど"  $H_{3.0}/H_{1.5}$  は 大きな値をと

り、逆行の理論を適用したことの妥当性を裏付けたものである。

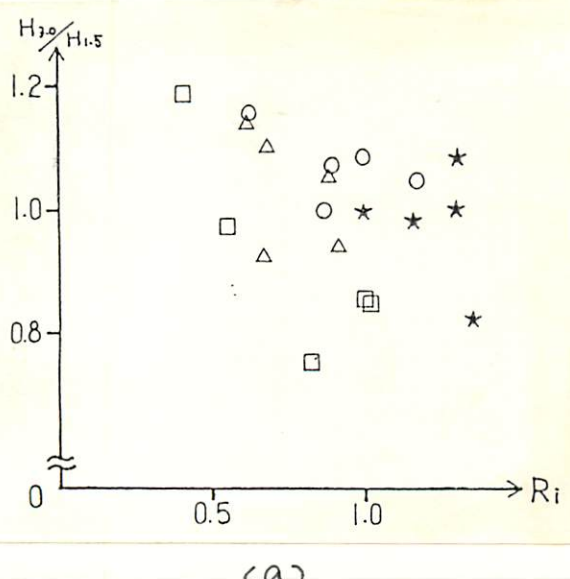
また、速度については  $R_i$  と  $V_{3.0}/V_{1.5}$  の間に相関関係は認められず、そのための傾斜角が "少しほど"  $V_{3.0}/V_{1.5}$  は 大きな値を示す傾向にある。

密度差については  $R_i$  に  $\rho_{3.0} - \rho_{1.5}$  はほぼ一定の値を示し、流れ方向に密度

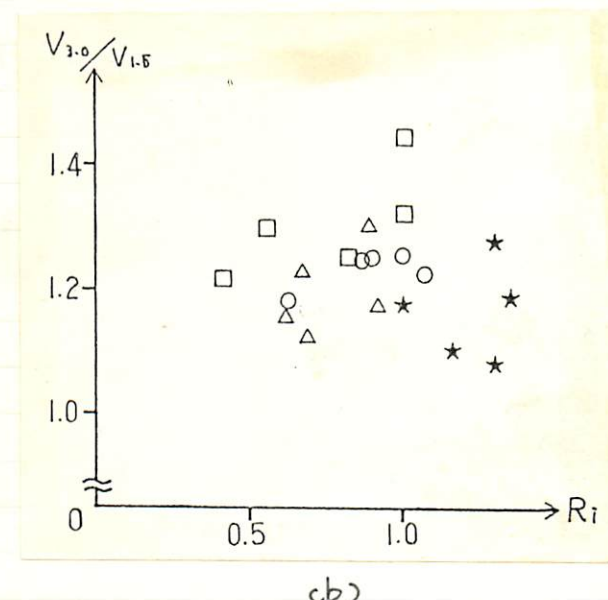
差の変化(すなはち温度の降下)がほどんどないことがわかる。

通過熱量  $Q (= VH\Delta)$  および通過重量  $G (= VH(\rho_3 - \rho_1))$

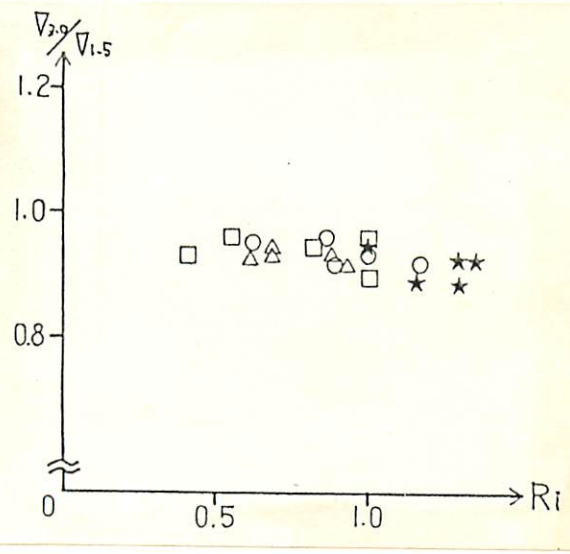
については、 $R_i$  に関して 煙層の厚さ  $H$  とほぼ同様の関係を示す。これは密度差が流れ方向にほどほど変化していかないから。



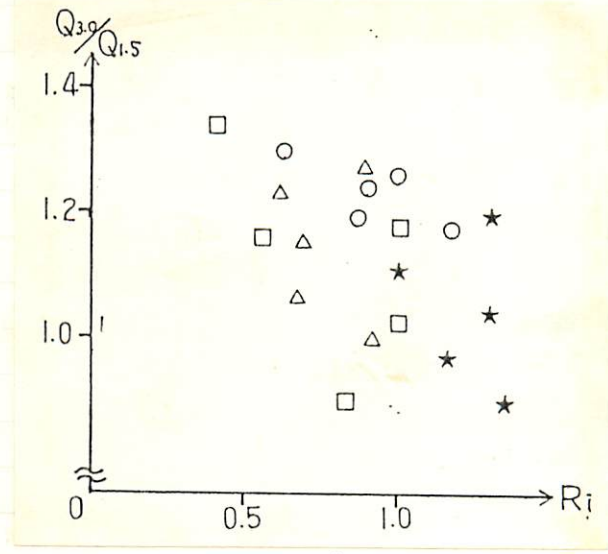
(a)



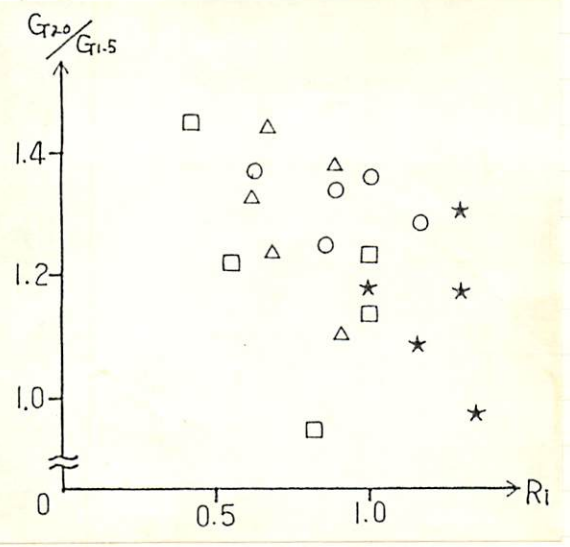
(b)



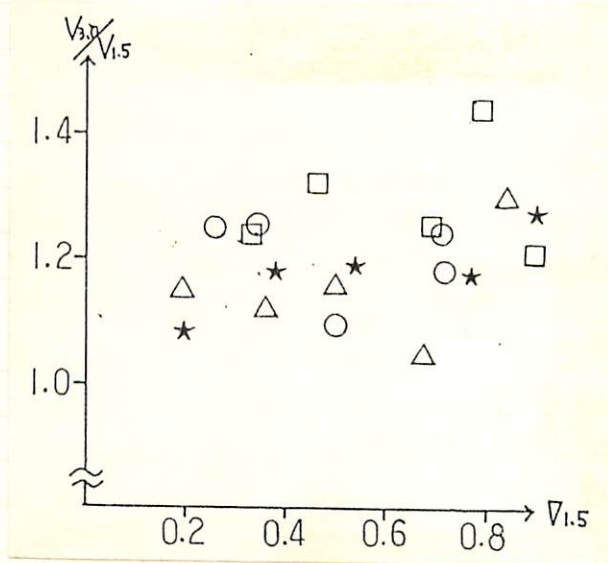
(c)



(d)



(e)



(f)

図5-1 実測値による各代表値の関係

★:  $d = 2.5^\circ$     △:  $d = 7.5^\circ$   
 ○:  $d = 5.0^\circ$     □:  $d = 10.0^\circ$

$V_{3.0}/V_{1.5}$  の値を決定する 倾斜面の角度、密度差 に  $\phi' = 112^\circ$ 、図 5-1(5)

に示すように 今回行なった条件においでは、 $\alpha$  の各値につれて 密度差の変化により  $V_{3.0}/V_{1.5}$  の値が工ほど影響をうけて、ほぼ一定の値を示すためと考えられる。

## IV-2 理論値と実測値の比較

図 5-2 に  $X = 1.5\text{m}$  の実測値による代表値と境界条件とし、式(4)、(5) を用いて 下流側に差分近似計算を行なった理論値と、 $X = 3.0\text{m}$  における実測値による代表値とそれとの角度につれて示す。

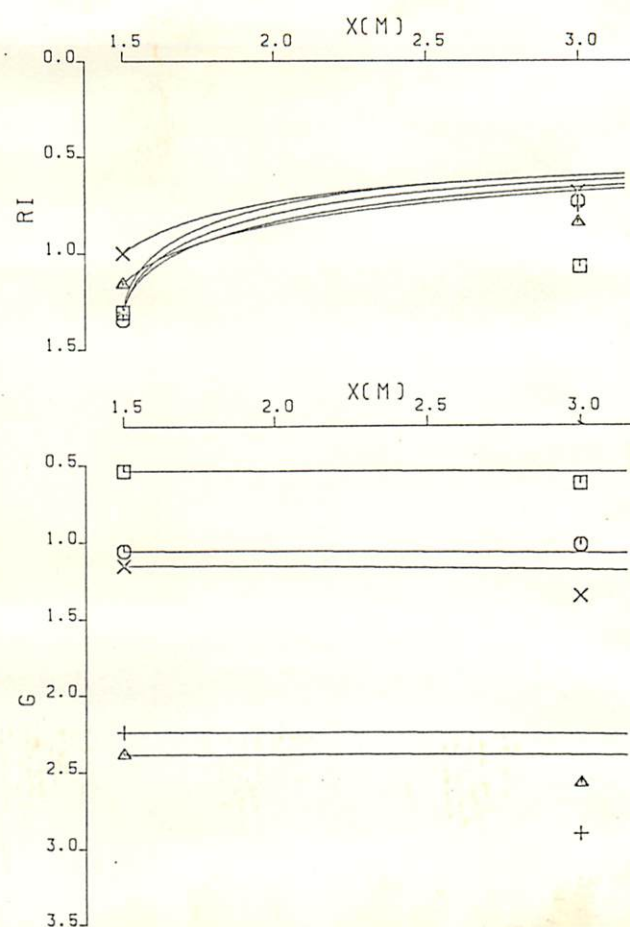
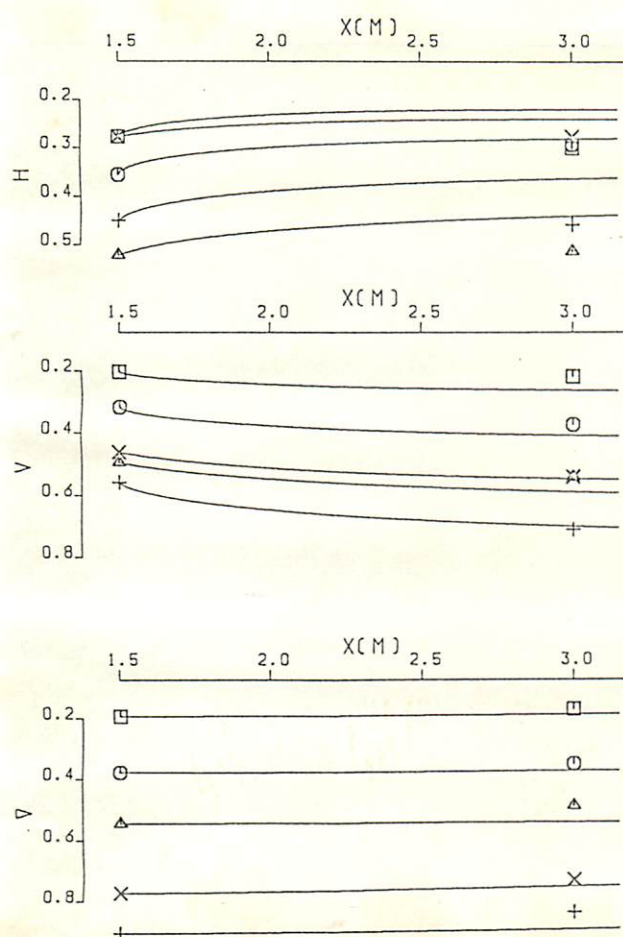
すべての角度において  $V, D, R_i$  の理論値は実測値にかなり近づくようだが、 $R_i$  については理論値は実測値よりも大きな値を示す。また  $H$  については理論値が実測値よりもかなり小さな値を示しておき、 $G$  についても 同様のこととなる。これは 今回連続係数  $E$  を関して用いた Ellison-Turner の実験式  $E = 0.075 \exp(-3.9R_i)$  が連続を過小評価してしまってはなかかと考えられる。

また、図 5-3 に  $\phi' = 112^\circ, X = 0\text{m}$  における  $R_i = R_{ic} \approx 1.388$  として 式(14')、(15') より求めた  $R_i$  の理論値の上に、図 5-2 に示した  $X = 1.5\text{m}$  における実測値による  $R_i$  と  $X = 3.0\text{m}$  における  $R_i$  の理論値を 黒色で記号 "P" とし、白色で記号 "X" と  $X = 3.0\text{m}$  にだけ実測値を示した。

□ … C-1 ○ … B-1 × … A-1 + … A-2 Δ … B-2 ◇ … B-3

$d = 2.5^\circ$

53



$d = 5.0^\circ$

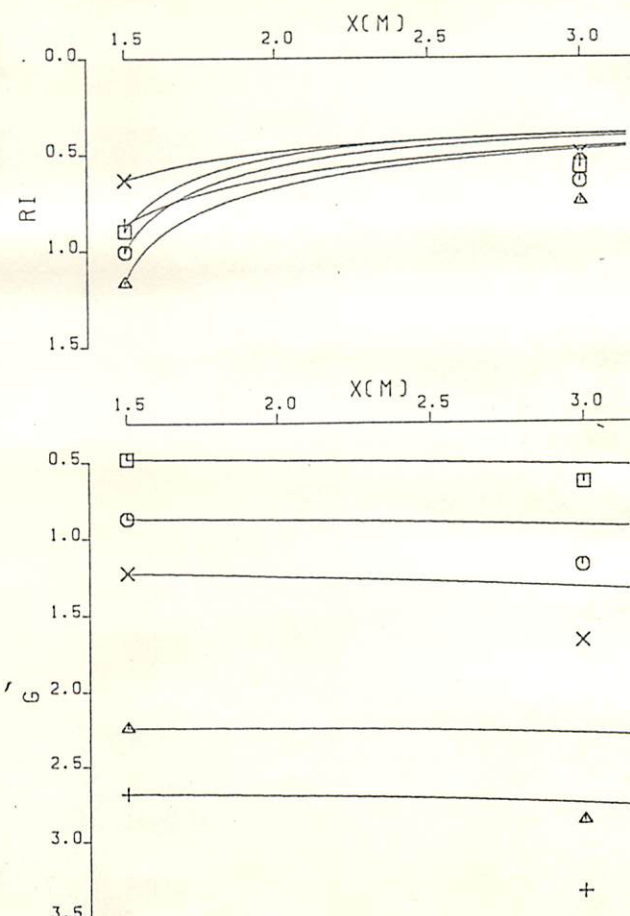
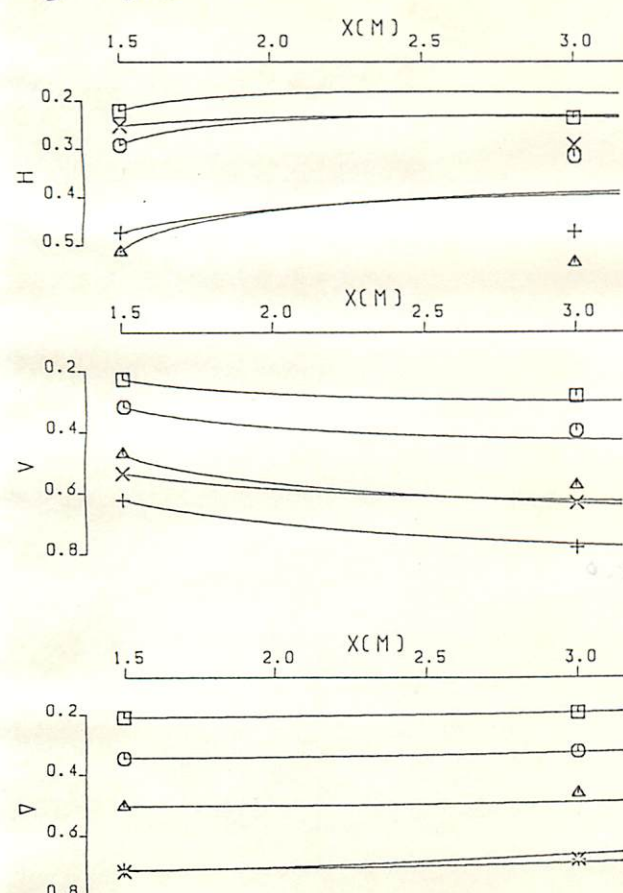
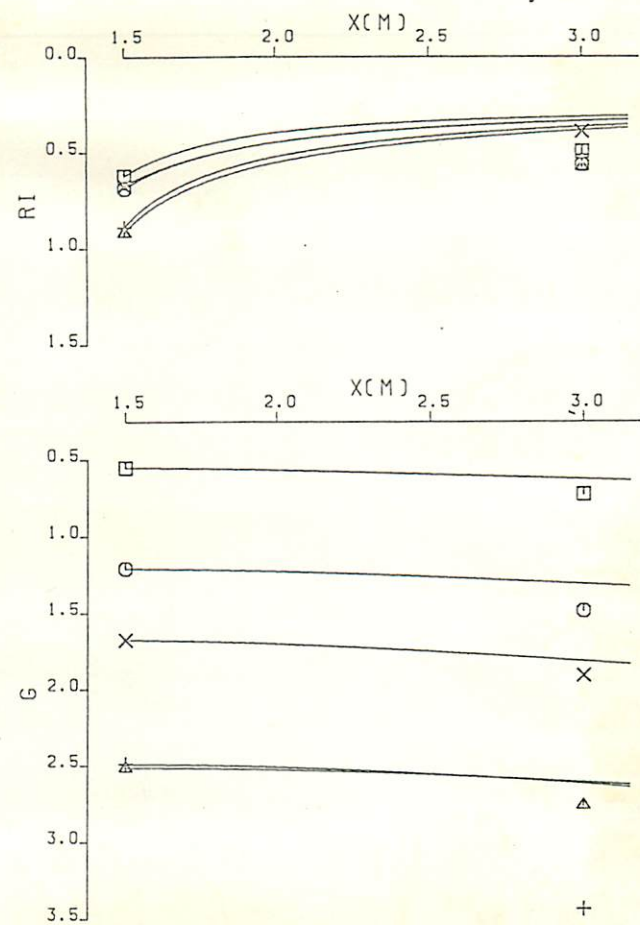
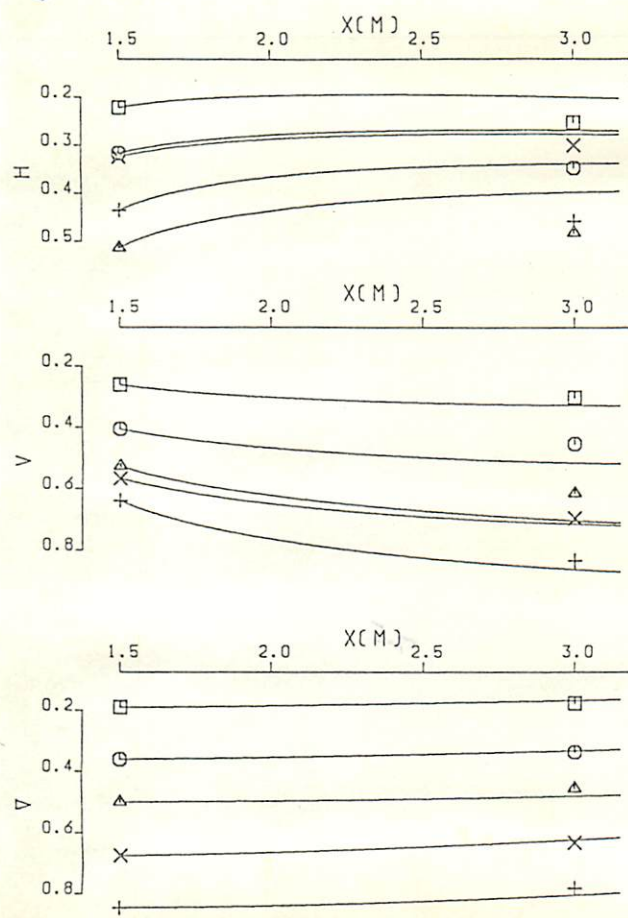


図 5-2 理論値と実測値との比較 3.1

$\phi = 7.5^\circ$

54



$\phi = 10.0^\circ$

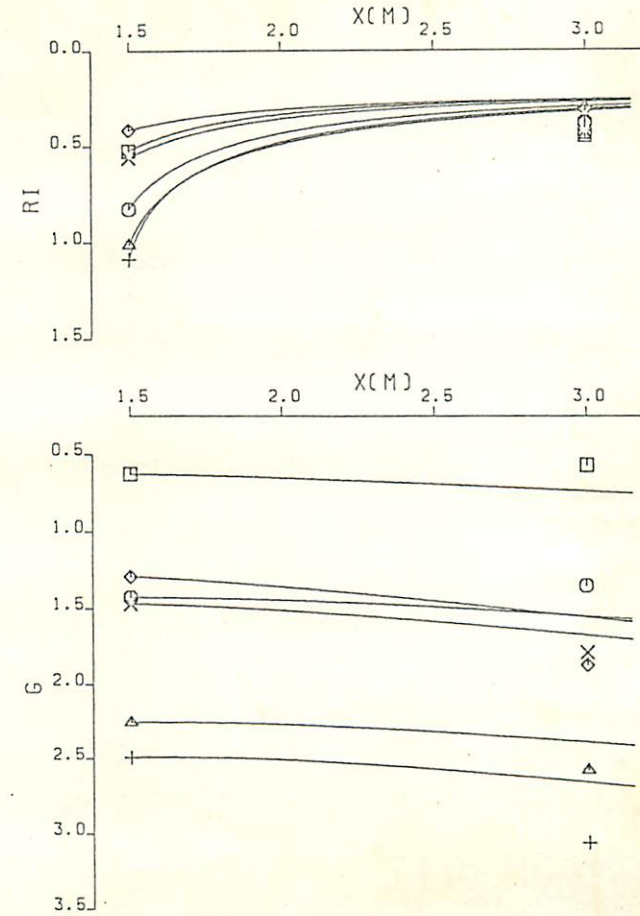
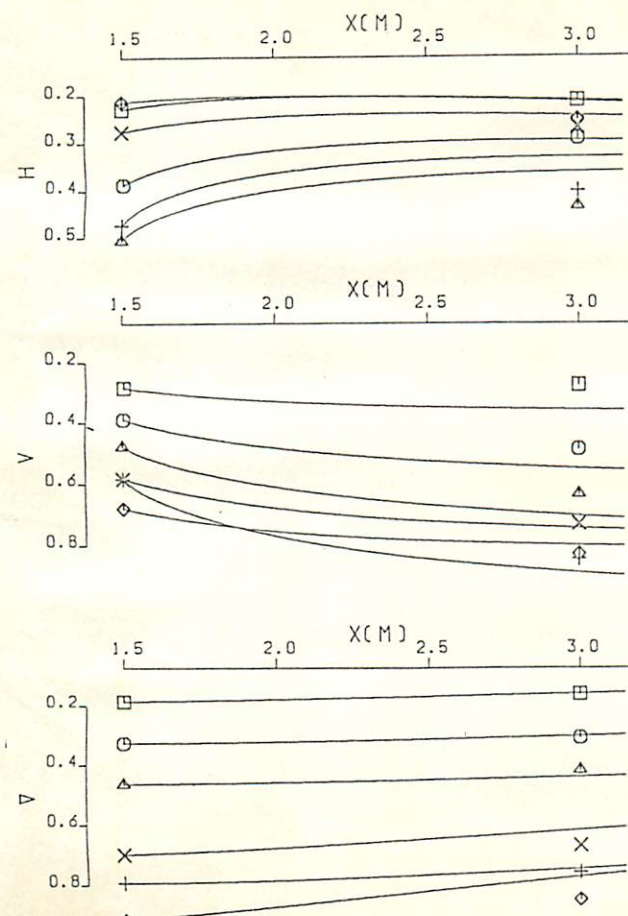
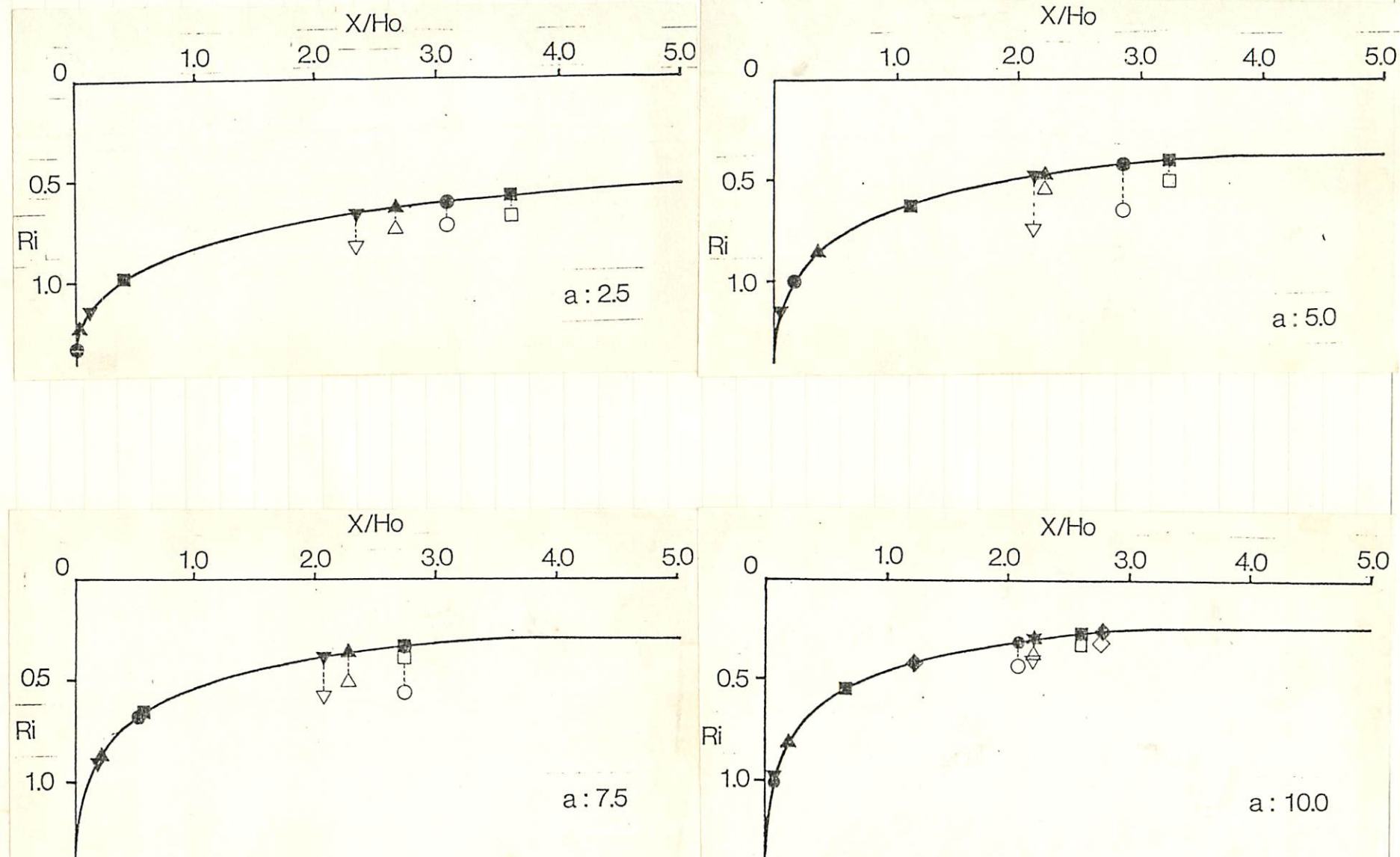


図 5-2 理論値と実測値の比較 3a1

図 5-3 理論値と実測値の比較 2a2

名古屋大学工学部建築学教室



実測値は、傾斜面の角度大、流量小、温度差大の条件ほど理論値に近い値を示す。しかししながら常流から射流への遷移点 ( $R_i = 1300$ ) が傾斜面と水平面の接点にあたるすれば、 $X = 1.5m$  の実測値は  $\frac{1}{2}$  倍である  $X/H_0$  の値は  $X = 3.0m$  理論値に等しく  $X/H_0$  の  $1/2$  にならなければならぬが、以上の実験に於けるモガリ小工場の値を示す。これは実験結果で述べて下が、傾斜面の起始附近に於ける流れが、吹出し口の慣性力の影響をうけて  $\frac{1}{2}$  以下となる。

また、 $X = 3.0m$  における理論値、実測値はともに、上の実験に於けるもそれより角度における  $R_{ie}$  よりも大きい値を示し、この点に於ける等流条件が成立せず、これが原因となる。

### V-3 結び

今回行った一連の実験によると、その実測値と理論値の比較などから、ある程度煙と密度流として扱う手法が妥当であることが確認された。しかしながらその正当性を立証するにはまだ不十分な点が多く、今後にも多くの課題を残すこととなる。

まず、理論的解析におけるは前述のように進行の評価に関して再度討がが必要であるし、また実際の建物に於ける今回のように熱損失無視するには適当ではない。この点は今後も見なおしが必要となる。さらに流れ方向に偏倚エントロピールートは、今回  $\alpha = 25^\circ \sim 10.0^\circ$  の角度にて  $1/2$  ～  $1/4$  (2.73, 7.7) である。  $\alpha = 10.0^\circ$  よりも大きな場合にて  $1/2$  以上偏倚エントロピールート

一定であるか否かは不明であり、保有エアロプロファイルがすべての角度につれて一定となるか、それ以外の角度につれて成立するかを検討することは今後の重要な課題である。

また、実験については今回よりもさらに傾斜角大、流量小、温度差入の条件について行うこと。吹出し口での慣性力の影響が無視できず測定部において等流条件が成立するような実大スケールの運動距離を大きくして実験装置を利用し熱損失考慮に入れた実験を行なうことが必要である。さらに今回の実験においては模型タワー下部を大気に開放したが、これは実際の階段室などとは異なって運行される周囲空気が制限されないなどの問題点があり、今後下部を閉鎖した影響についても実験を行うなど実際の建物にあり立り条件で研究を進めてゆきたい。

最後に本実験研究を行なうにあたりニ指導を賜わりました江本誠先生ならびに名古屋大学工学部建築学科第6講座の各位また、実験およびデータの整理にご協力いただいた愛知工業大学平野茂君に心から感謝の意を表し結びとします。

## 参考文献

- (II-1) 池田義他；建築学大系 21 建築防火論，彰國社，1973
- (II-2) 前田，寺井，新田；煙と空気の二層流境界面との混合について，日本建築学会入会學術講演梗概集，1970
- (II-3) 牛田隆他；実大廊下における火災気流の熱流動性状(I), (II), 日本火災学会論文集 Vol. 26 No. 2, 1976, Vol. 28 No. 2, 1978
- (II-4) 立本誠；火災時の建物内煙流動に関する研究，1981
- (II-5) 若松孝旺，田中啓義；建築物へ煙制御設計(1)～(7)
- (III-1) 浅沼強編；流れの可視化ハンドブック，朝倉書店
- (III-2) J. E. Simpson ; A comparison between laboratory and atmospheric density currents, Quart. J.R. Met. Soc. Vol. 95, 1969
- (III-3) (II-3) の同じ

## 付録

以下に 各実験における 热線風速計の値のリストと、第二章  
に示した以外の 実験における 温度 よりび湿度のプロファイルを  
付録として示す。

## VELOCITY (m/s)

X=1.5 m X=3.0 m

12/29 a=0°

A-1	0.54	0.52
A-2	0.62	0.69
B-0	0.15	0.12
B-1	0.30	0.32
B-2	0.44	0.48
C-1	0.17	0.17

1/4 a=2.5°

A-1	0.58	0.64
A-2	0.68	0.86
B-1	0.37	0.44
B-2	0.57	0.66
C-1	0.25	0.26

12/27 a=5.0°

A-1	0.57	0.70
A-2	0.72	0.94
B-1	0.38	0.49
B-2	0.63	0.76
C-1	0.27	0.31

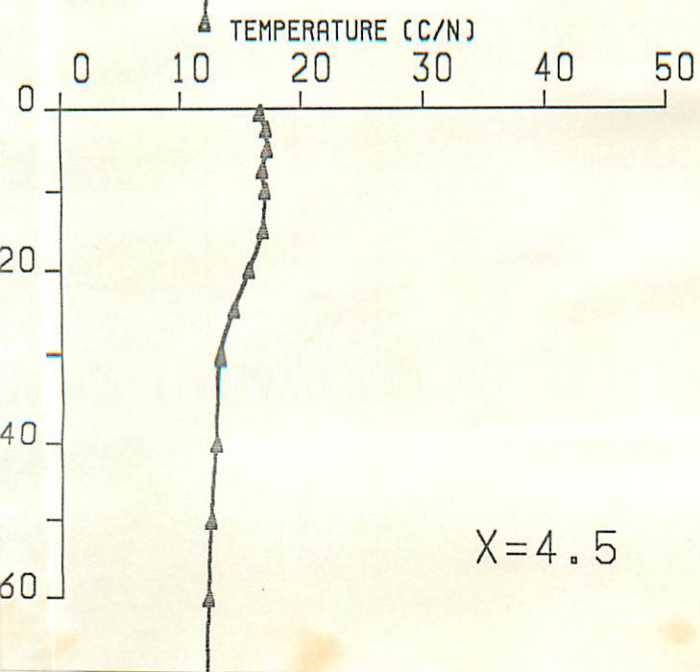
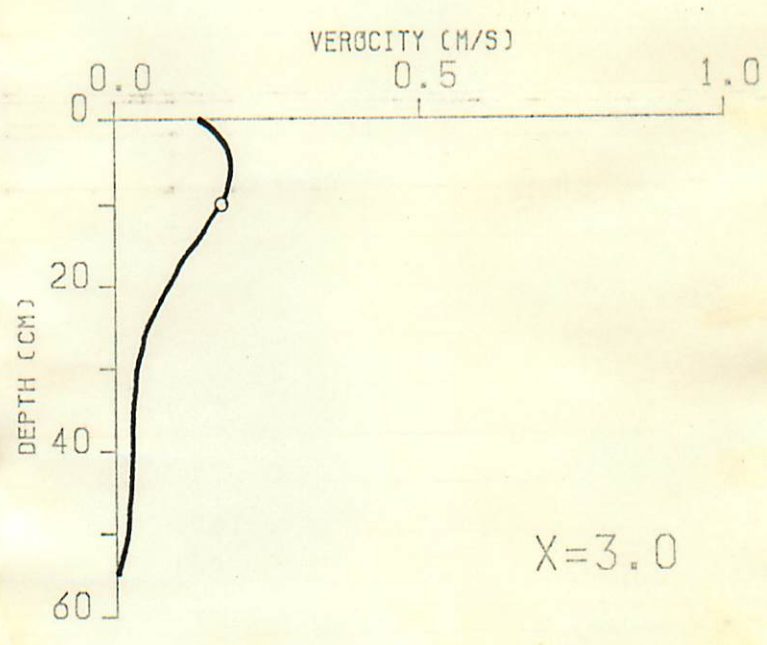
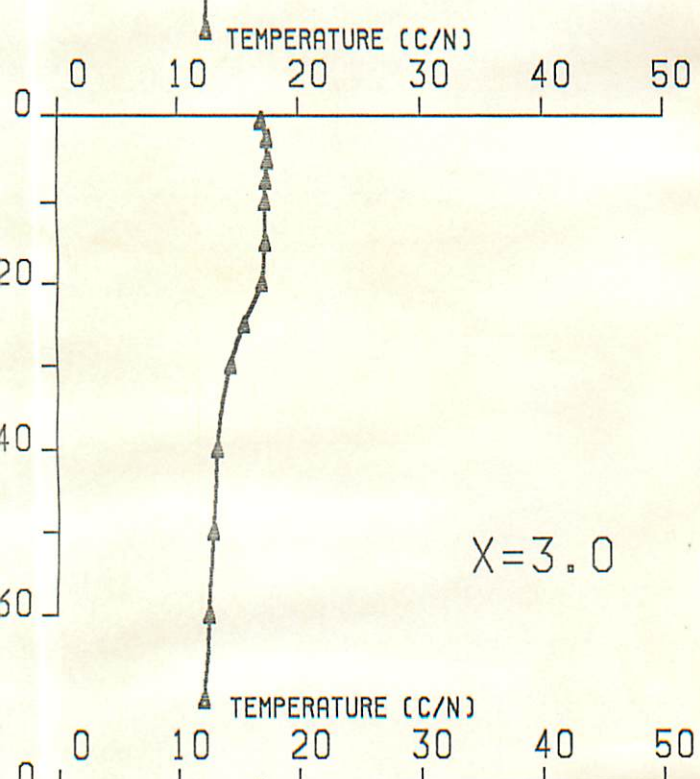
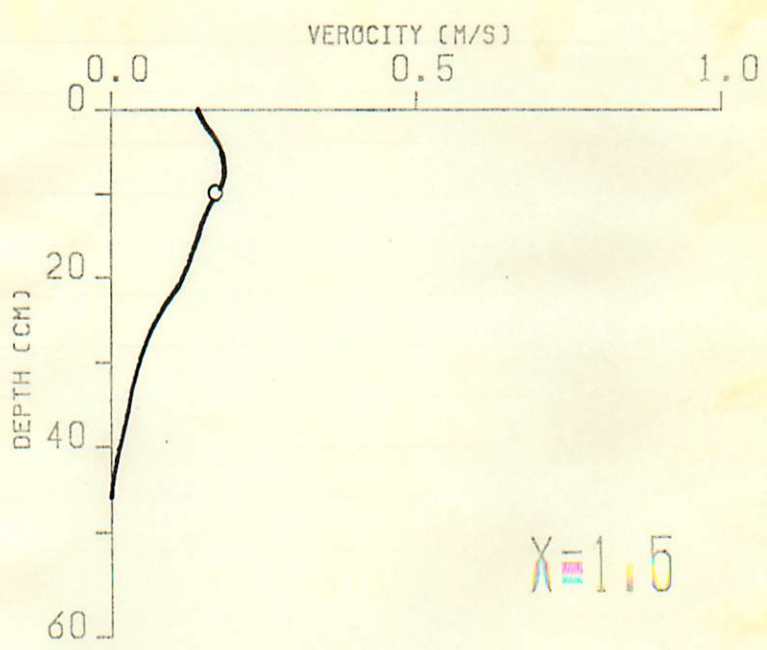
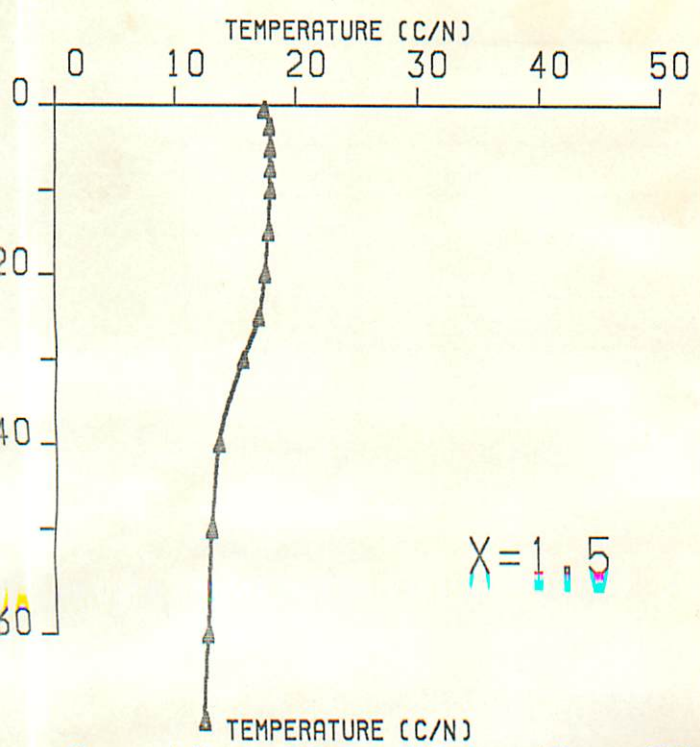
12/28 a=7.5°

A-1	0.63	0.73
A-2	0.78	1.01
B-1	0.47	0.56
B-2	0.69	0.82
C-1	0.31	0.33

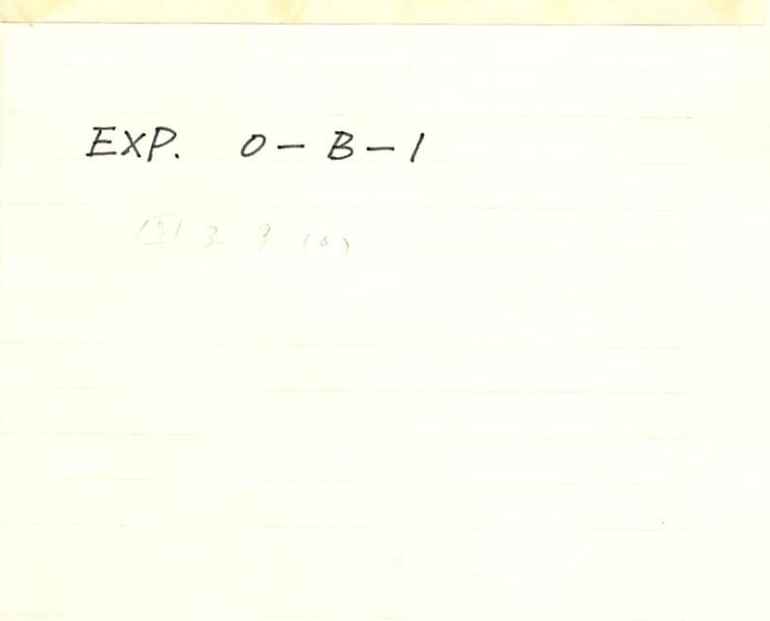
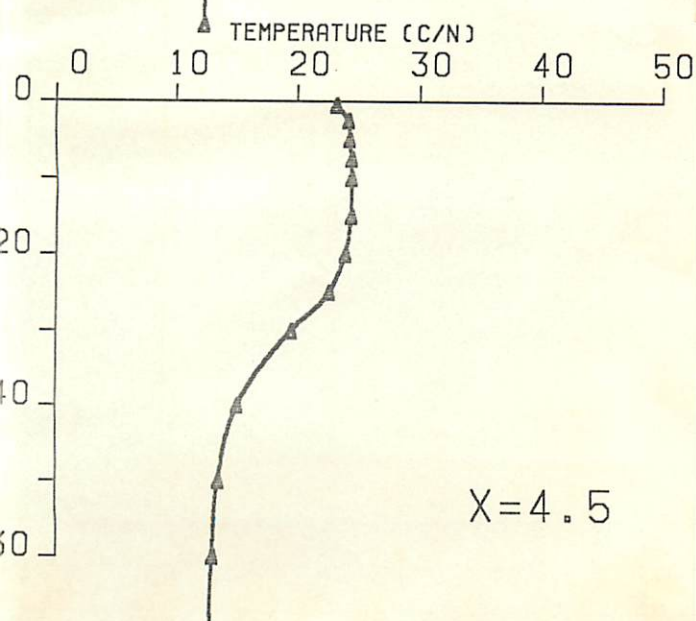
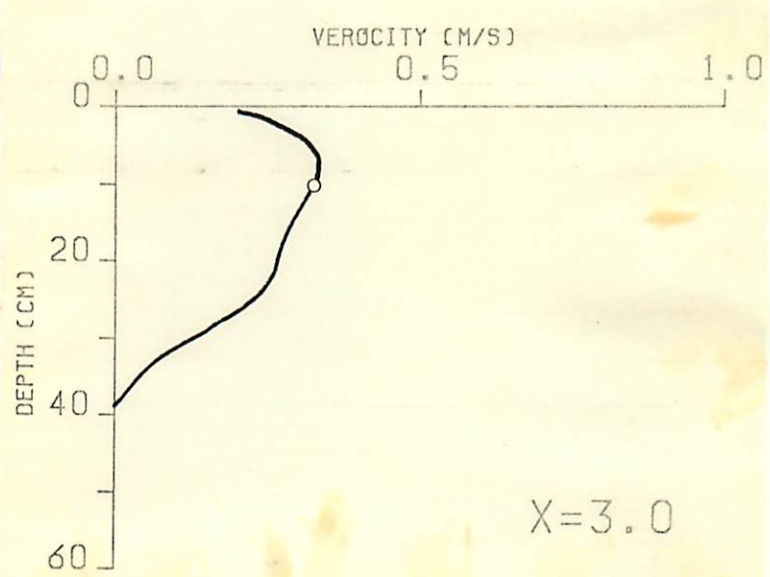
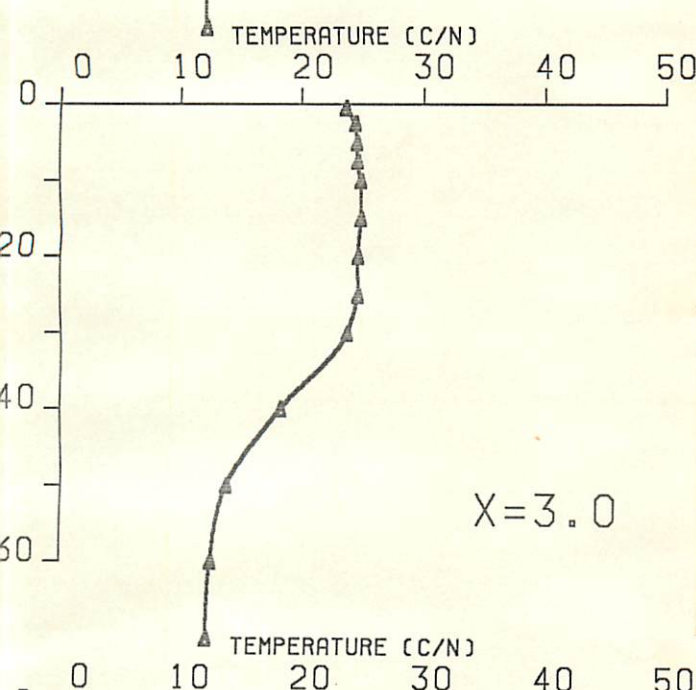
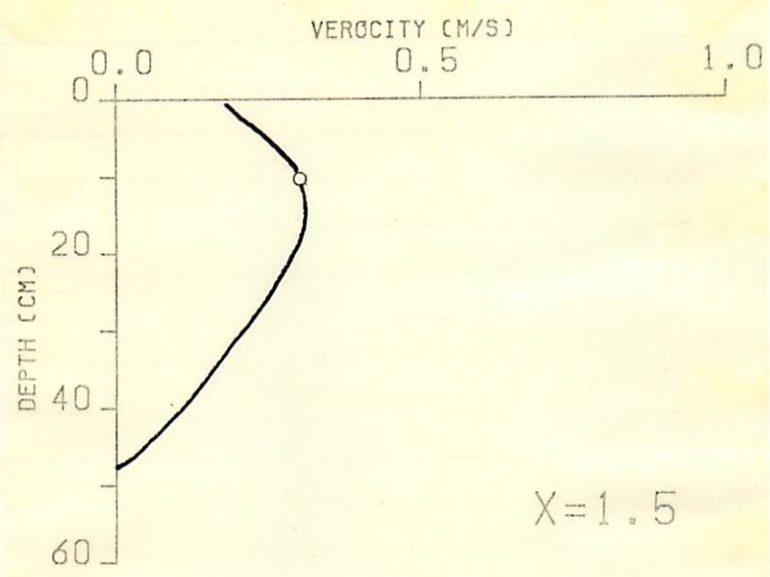
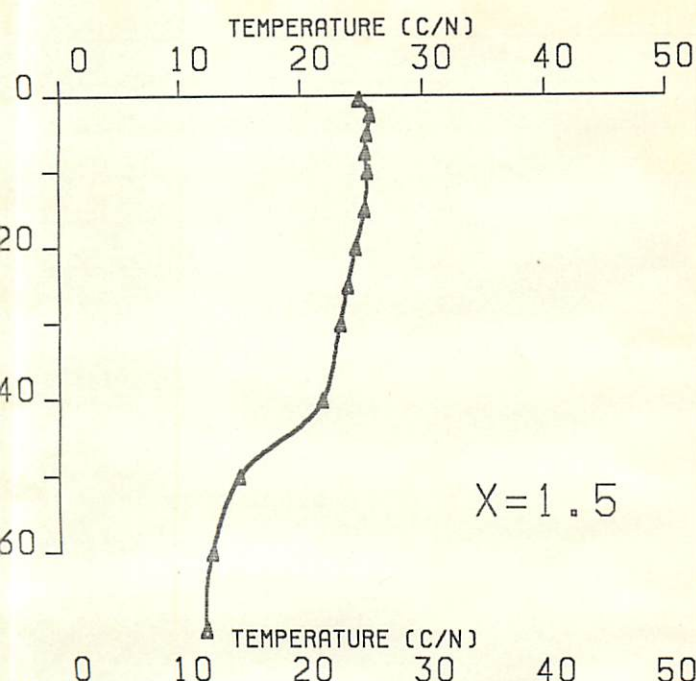
1/5 a=10.0°

A-1	0.59	0.76	
A-2	0.71	1.03	
B-1	0.45	0.58	
B-2	0.71	0.86	
B-3	0.82	0.94	[ A=600 r.p.m ]
C-1	0.32	0.33	[ B=300 r.p.m ]
			[ C=150 r.p.m ]

各実験における熱線風速計の値。

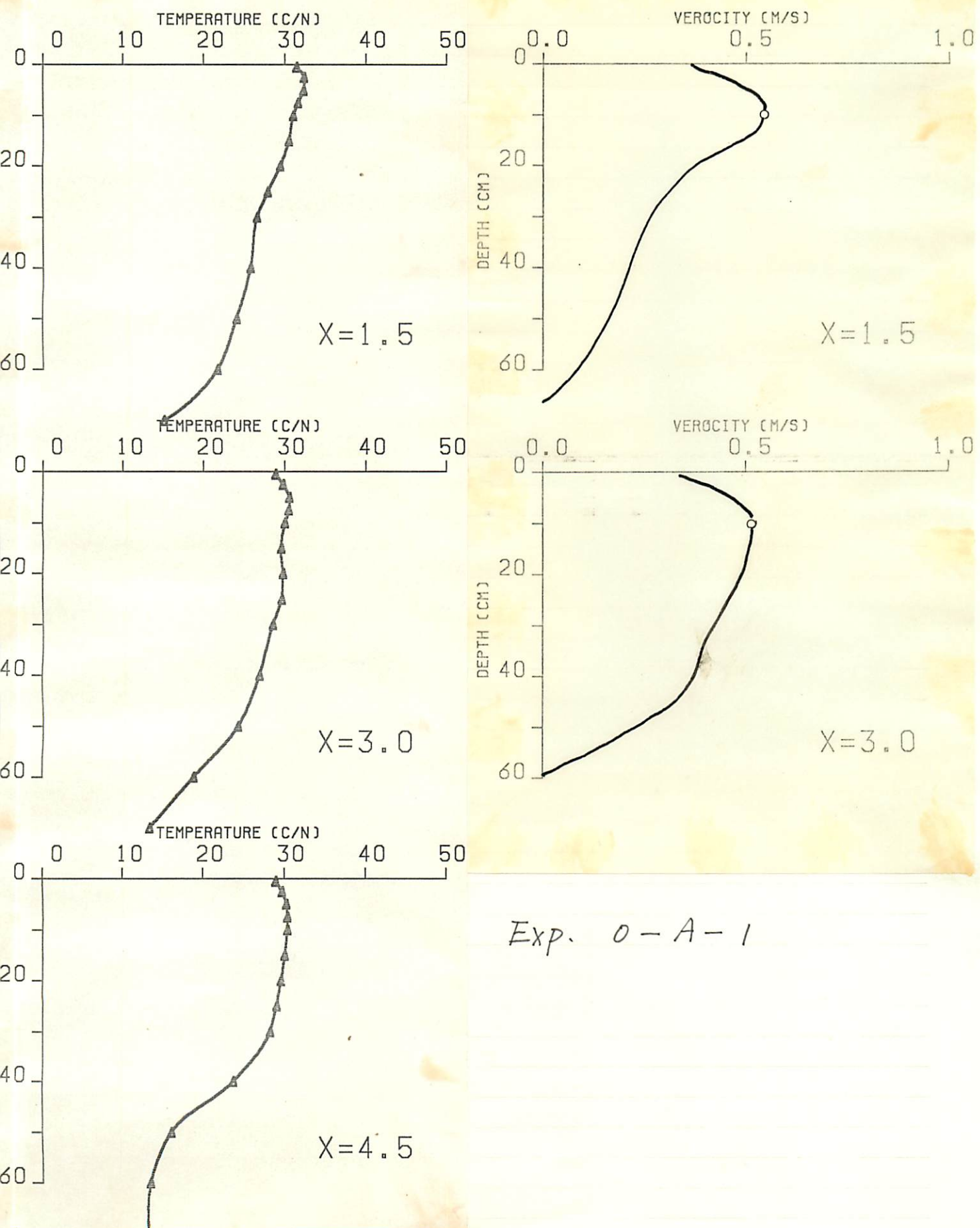


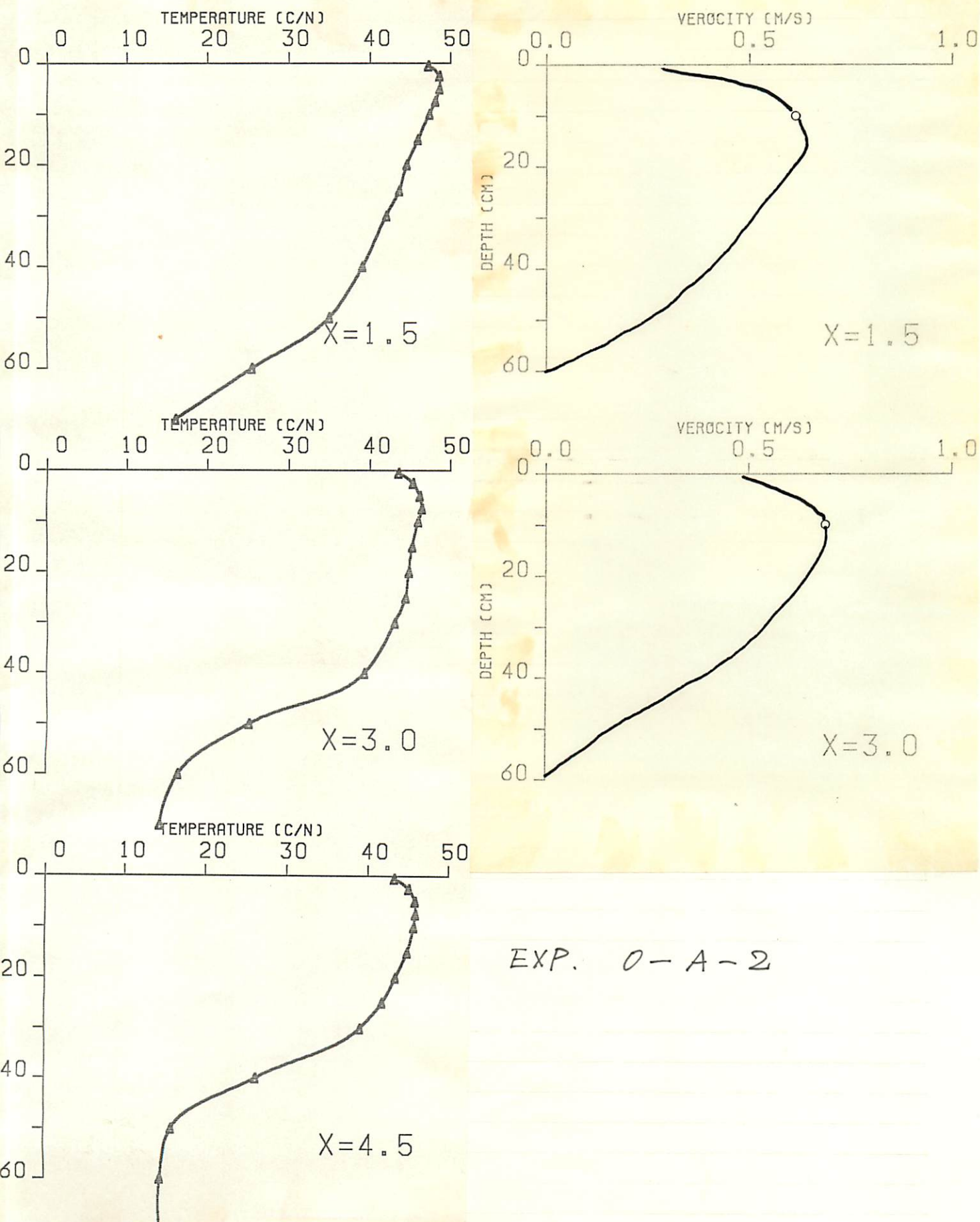
Exp. 0 - C - I

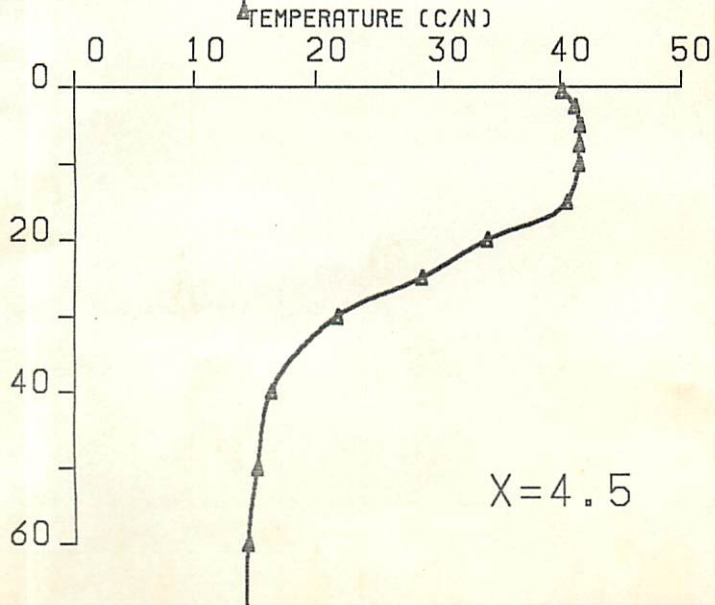
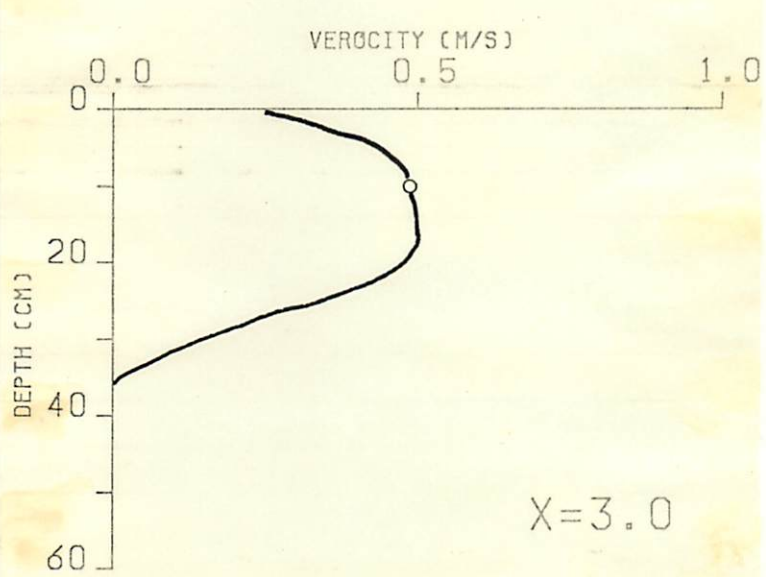
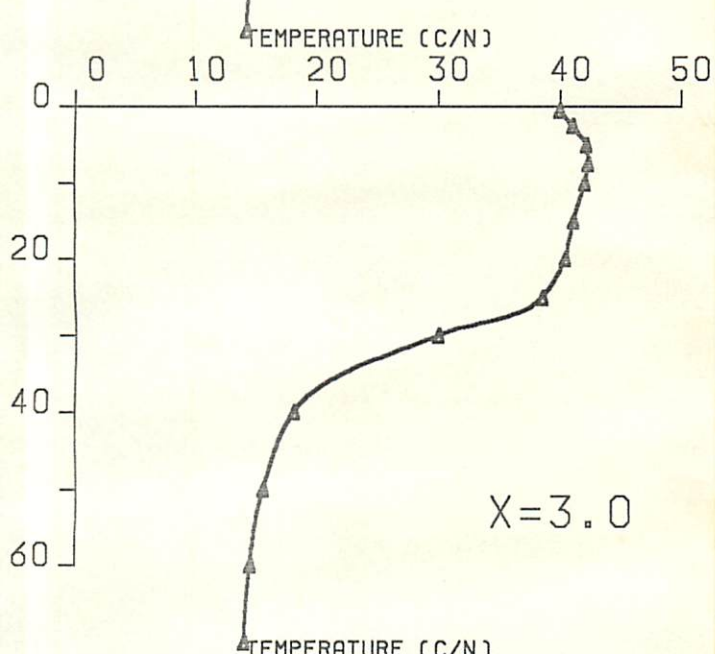
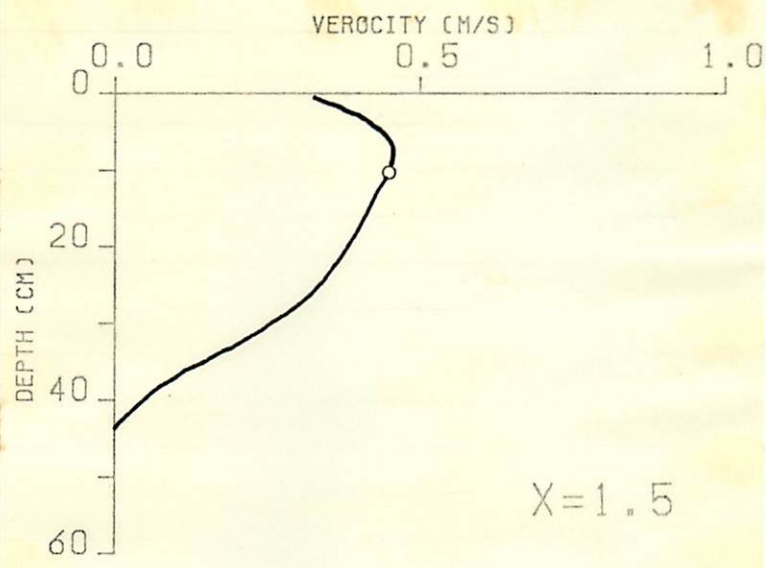
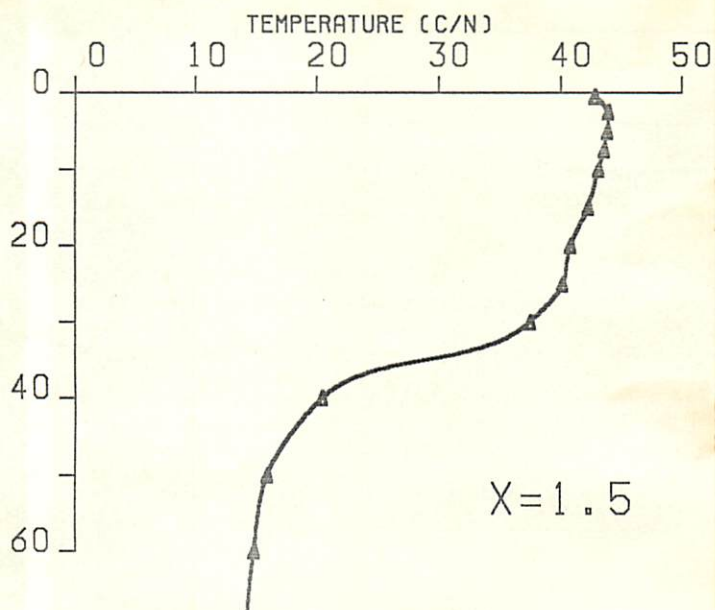


EXP. O - B - 1

12/3/91 (a)

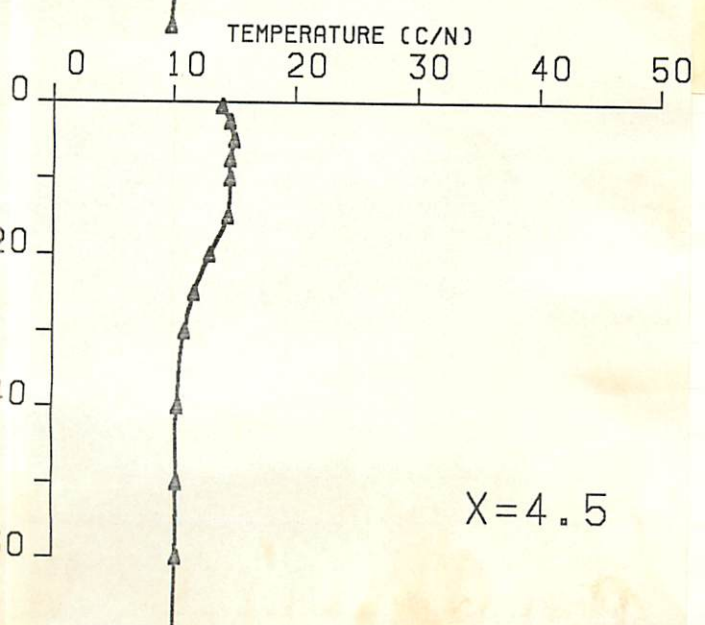
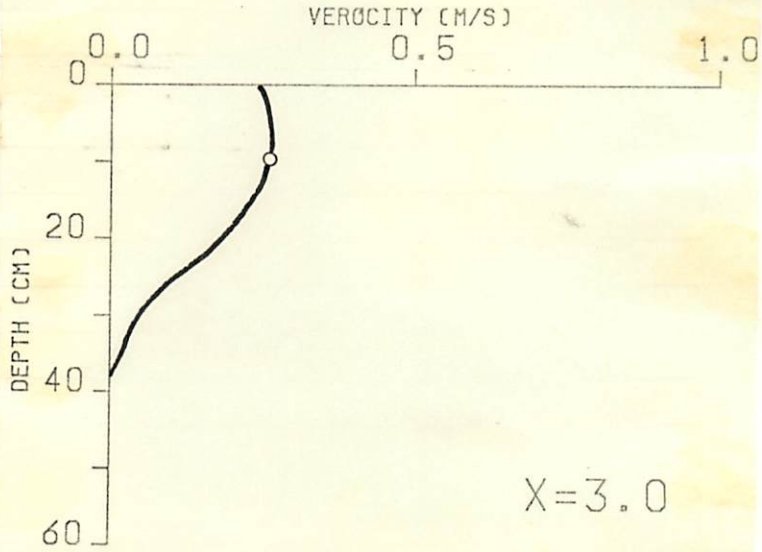
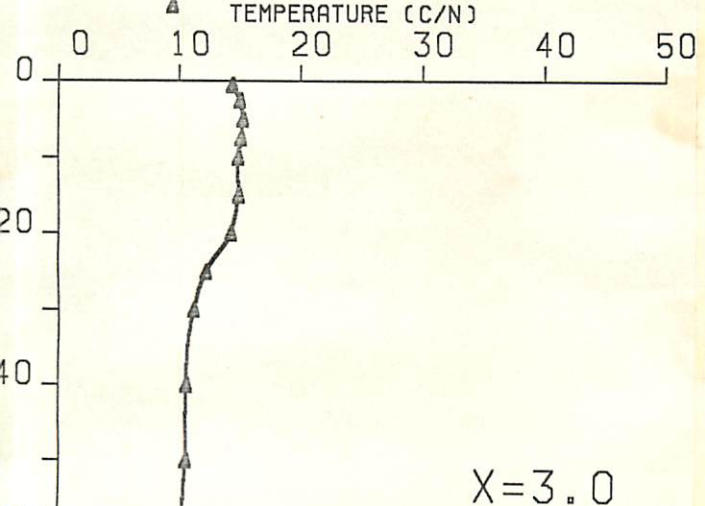
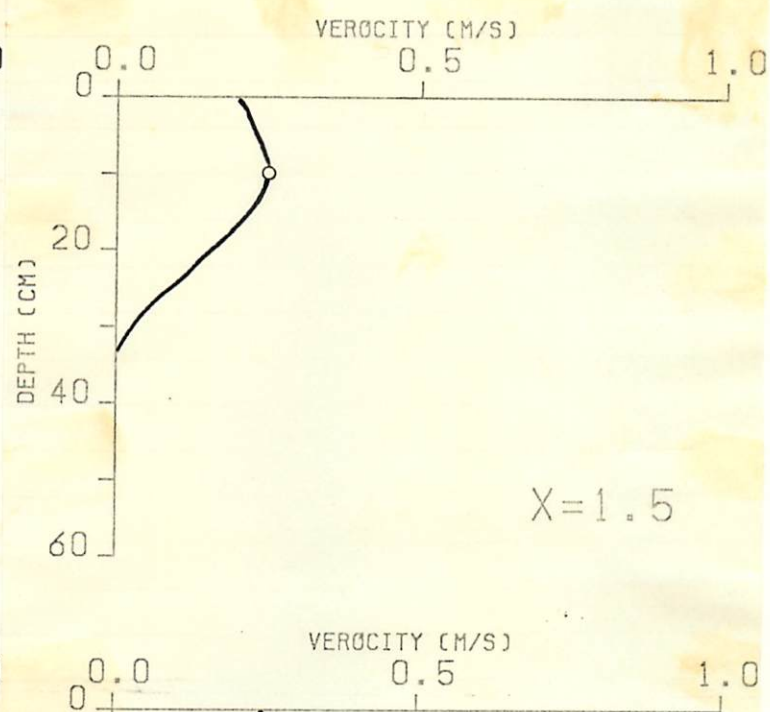
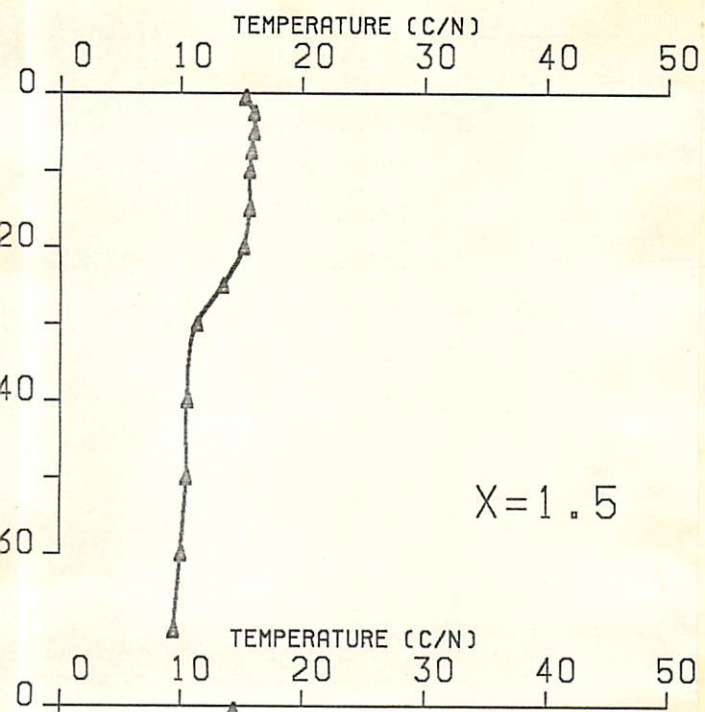




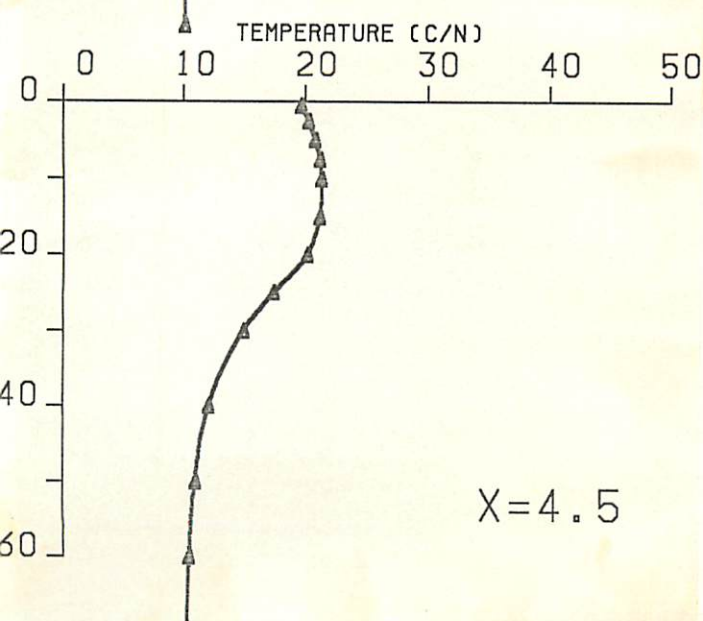
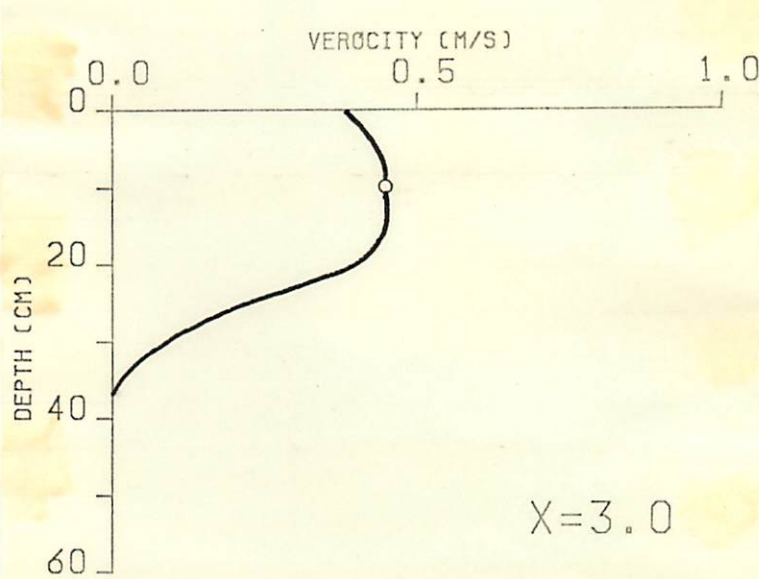
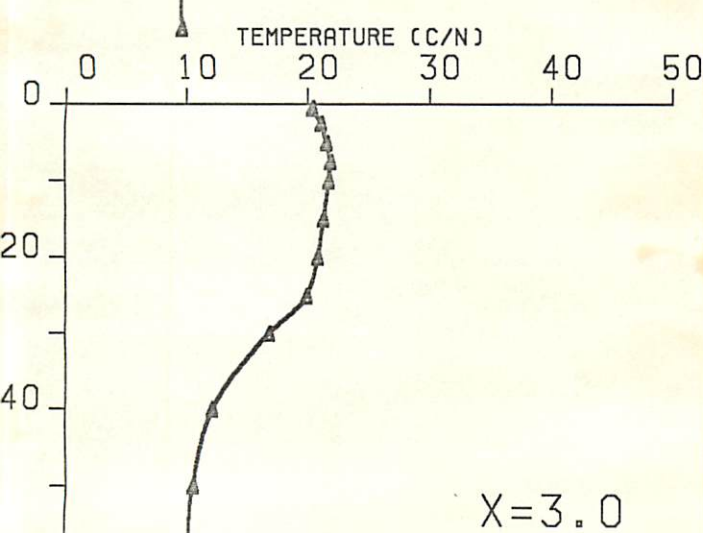
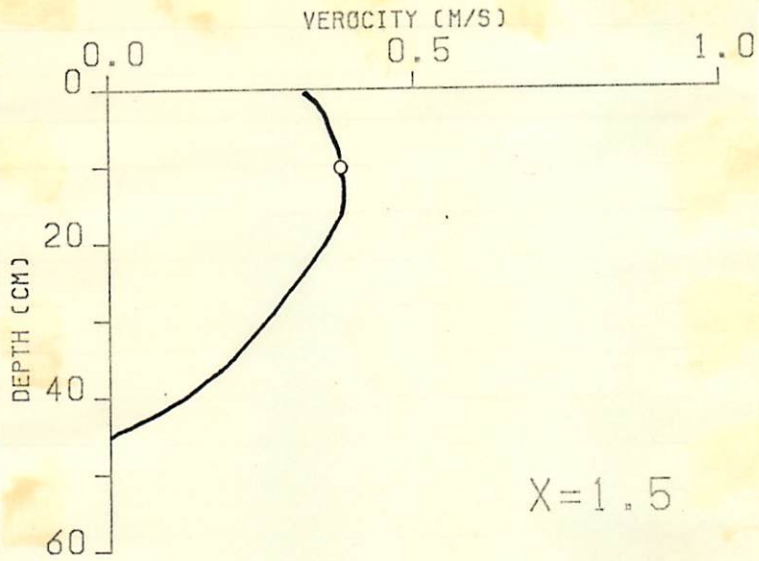
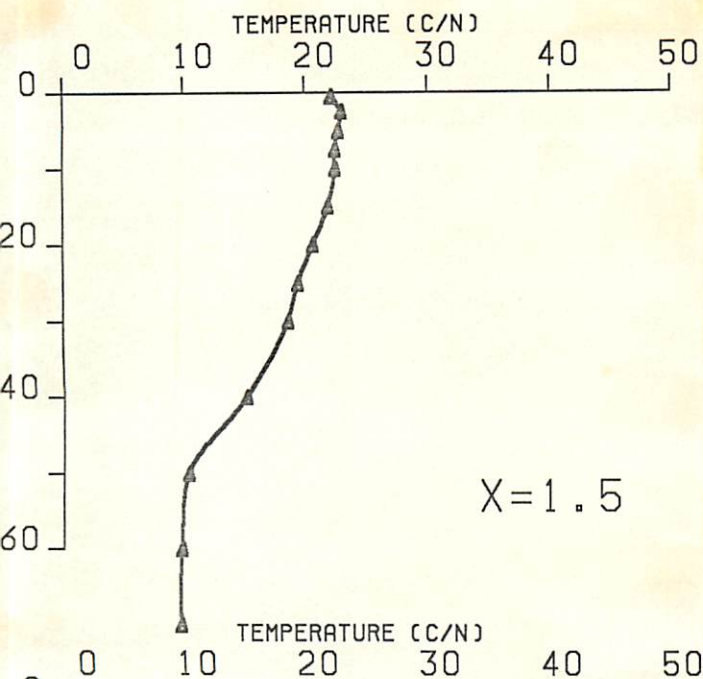


EXP. O - B - 2

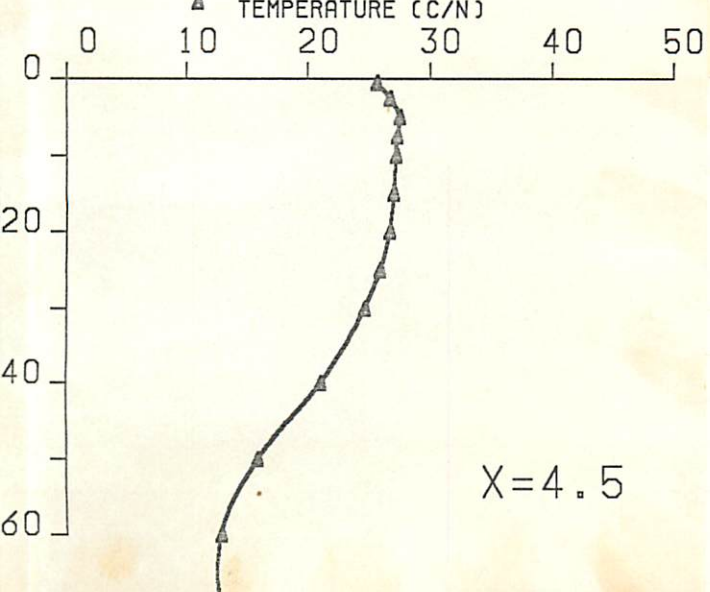
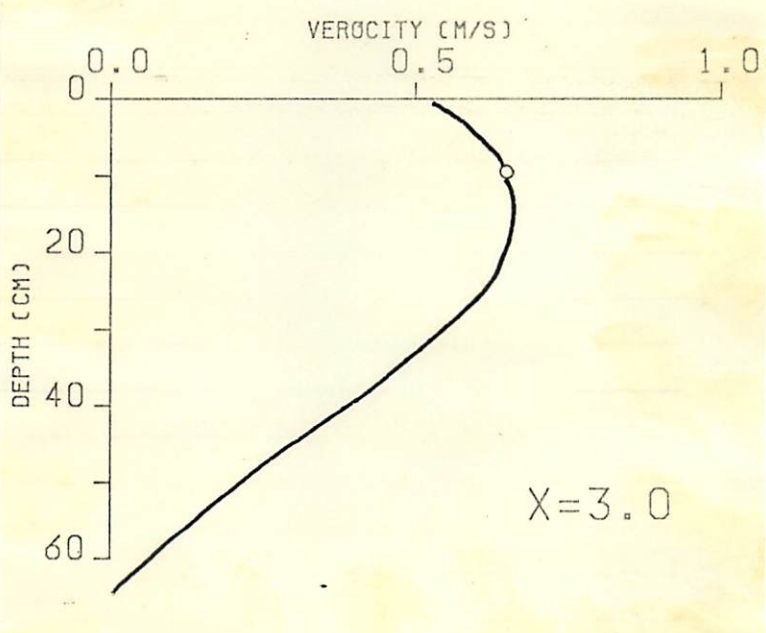
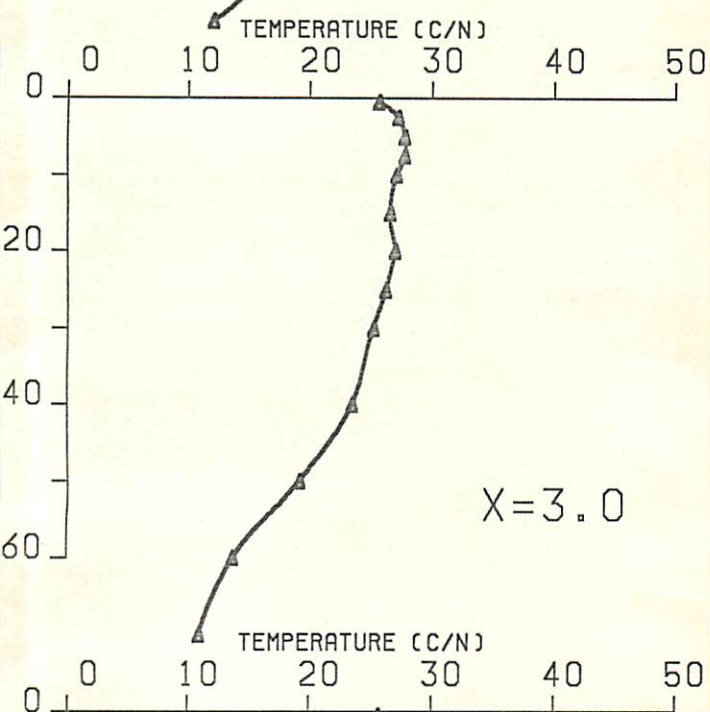
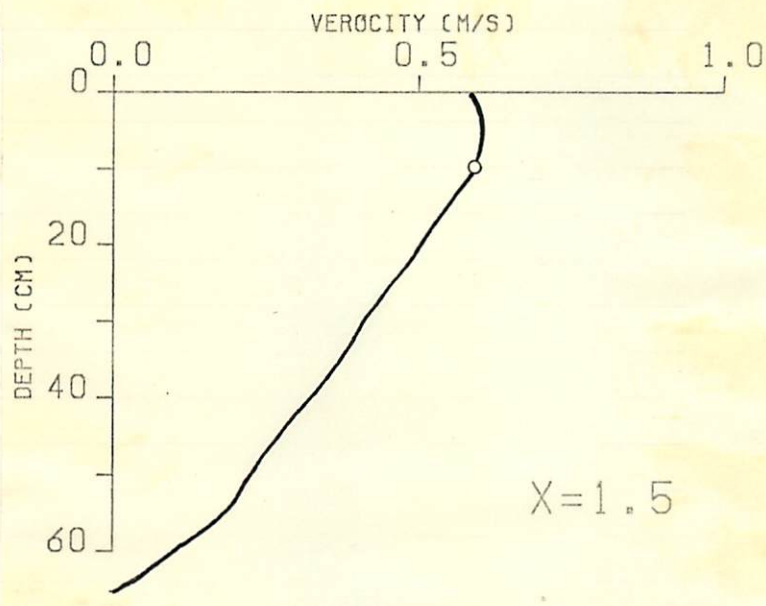
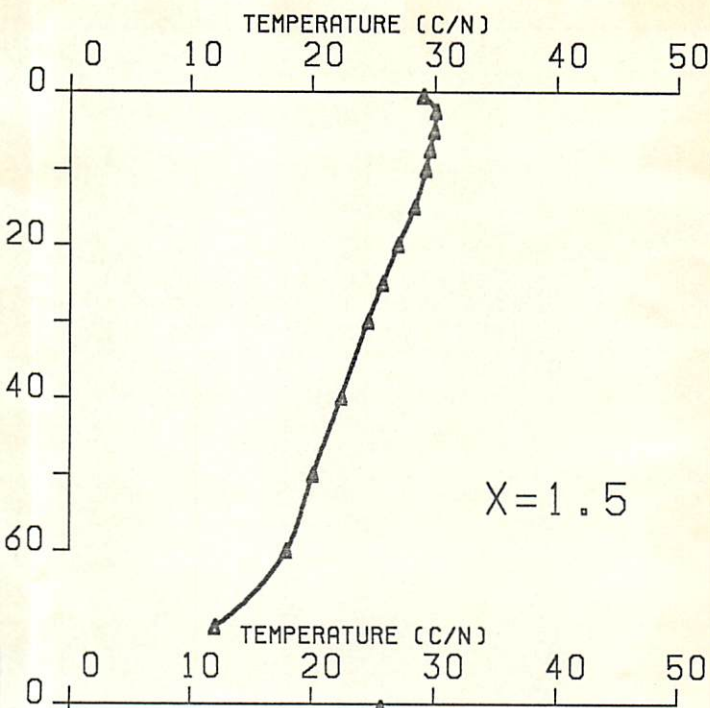
(b)



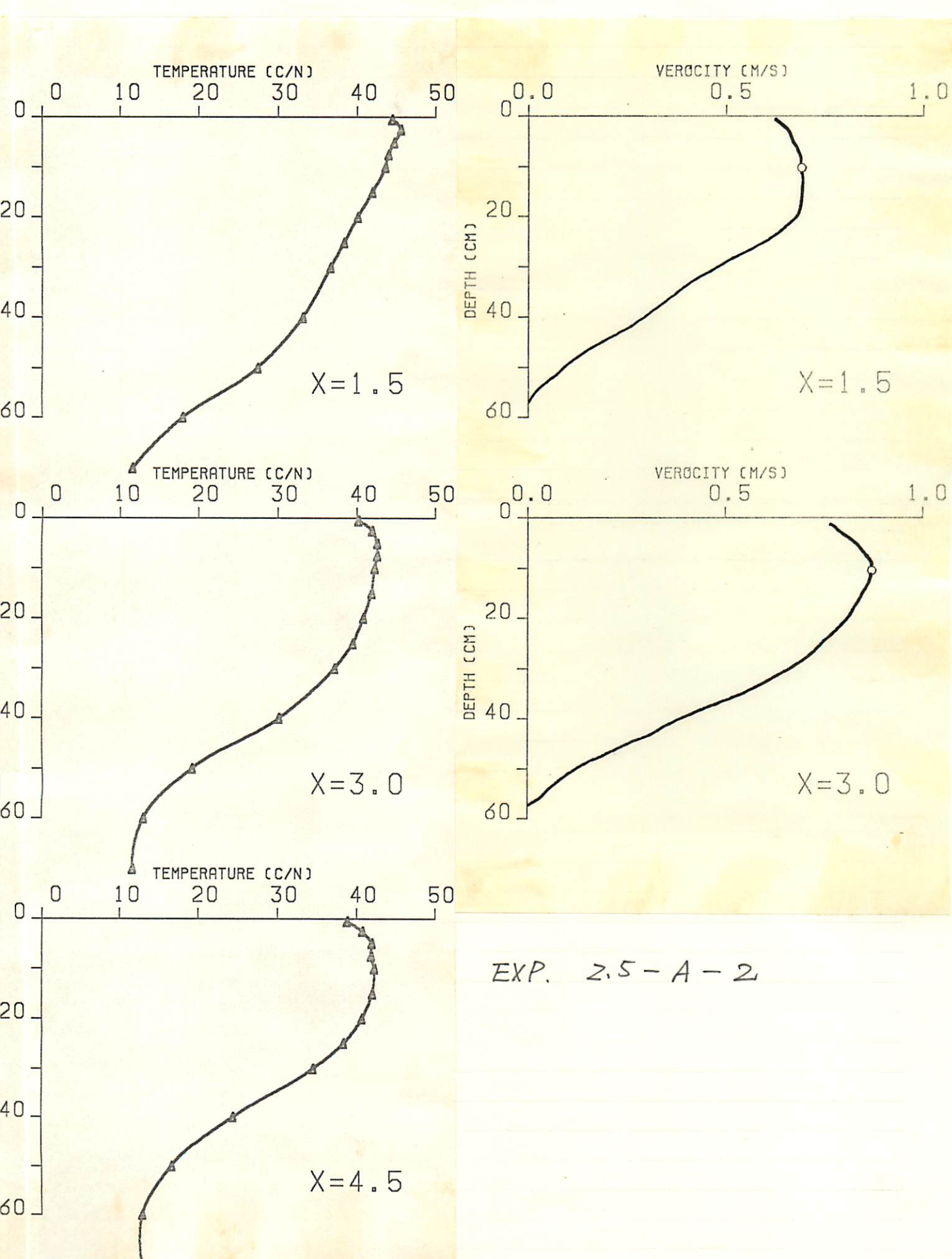
EXP. 2.5-C-1

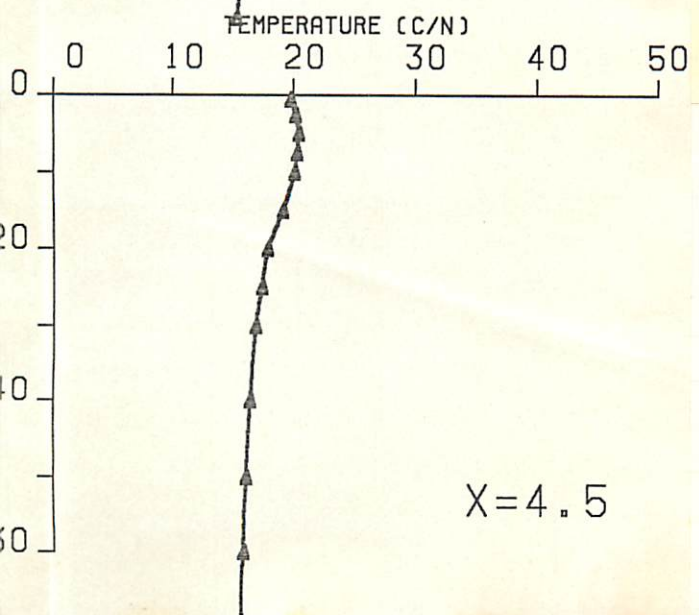
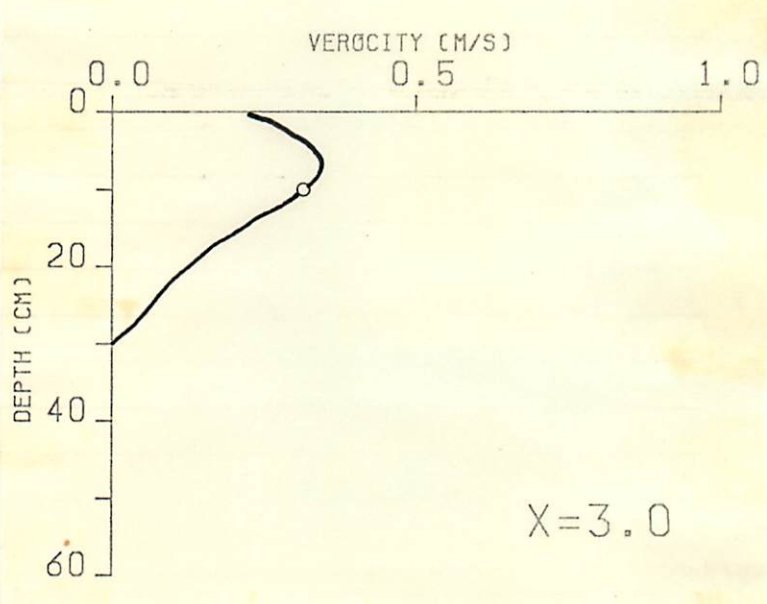
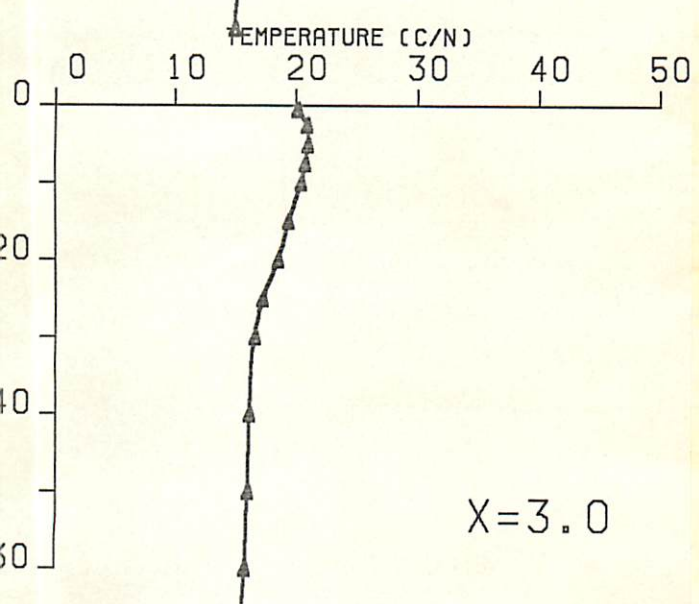
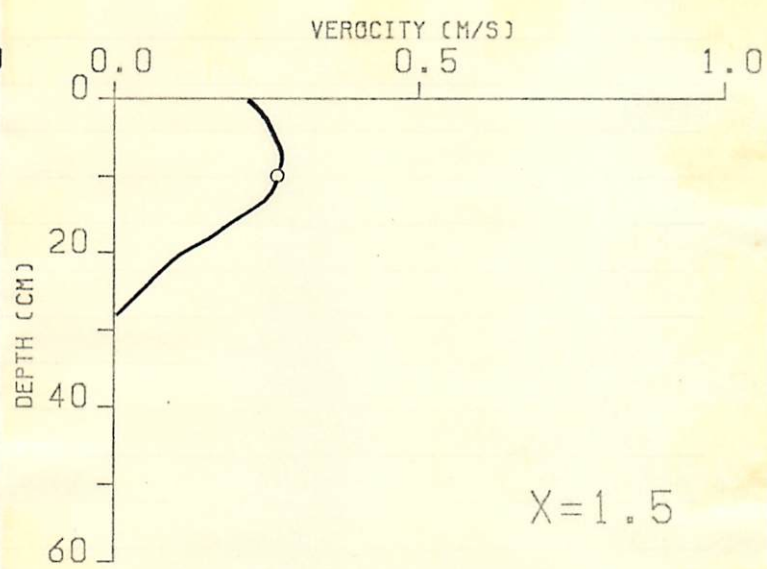
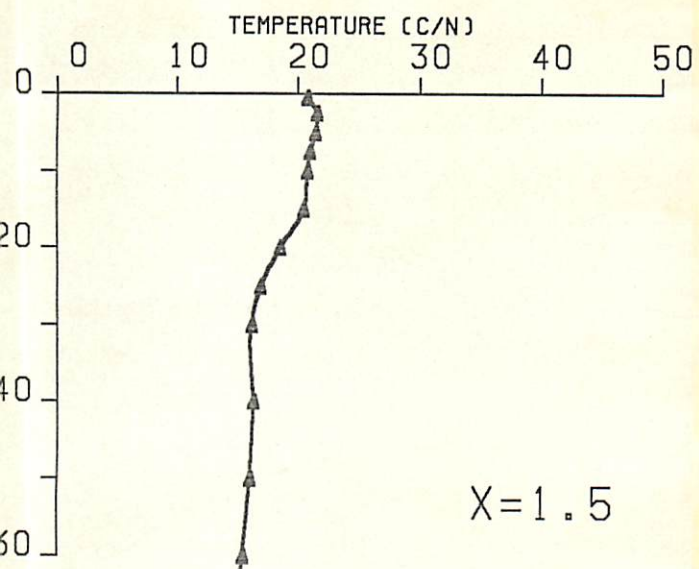


EXP. Z.5-B-1

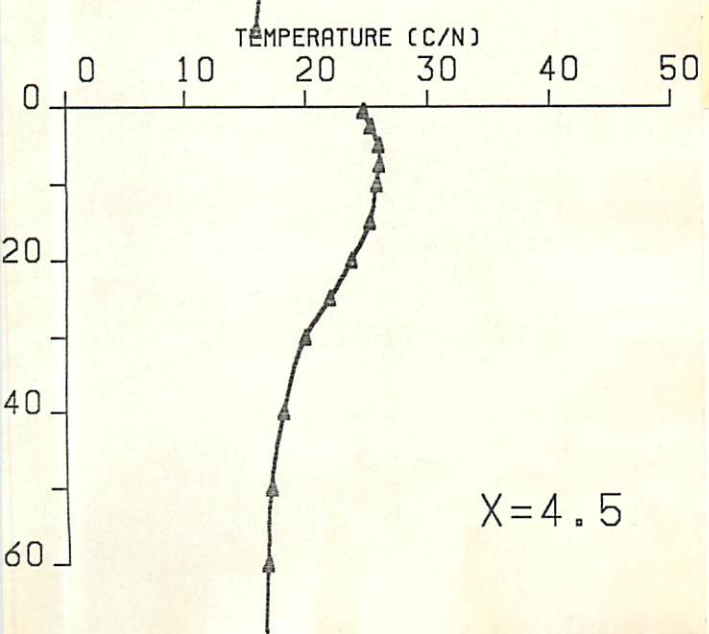
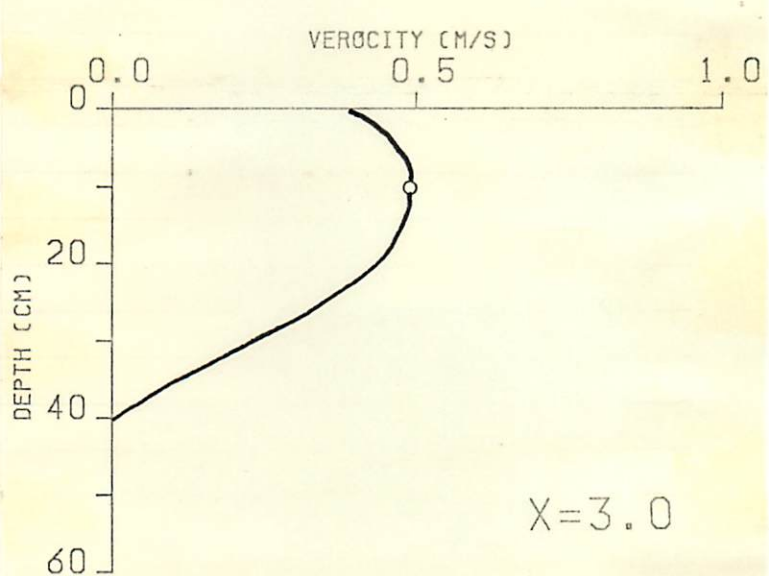
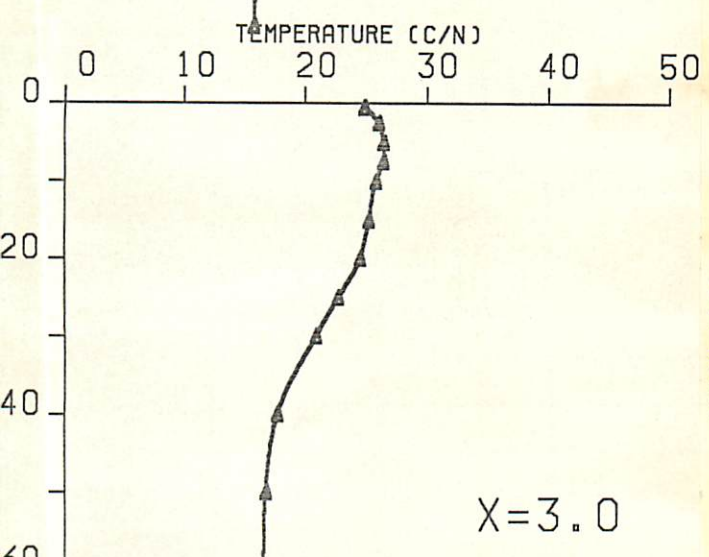
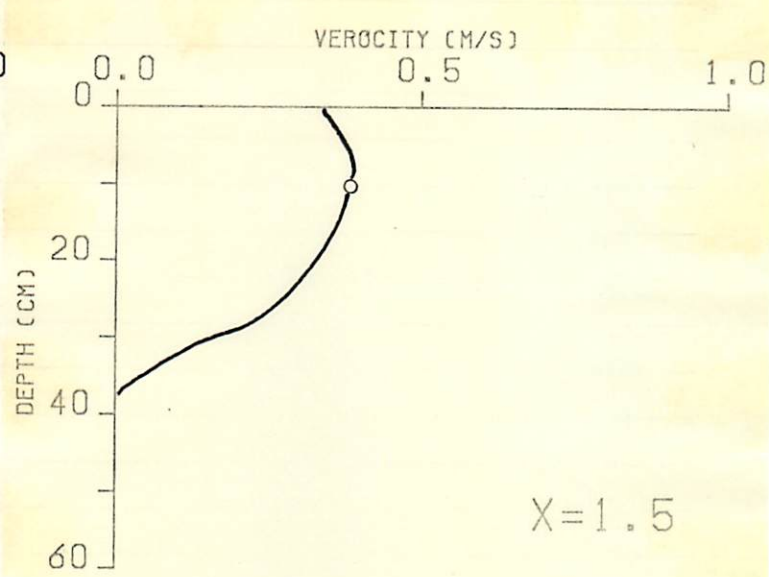
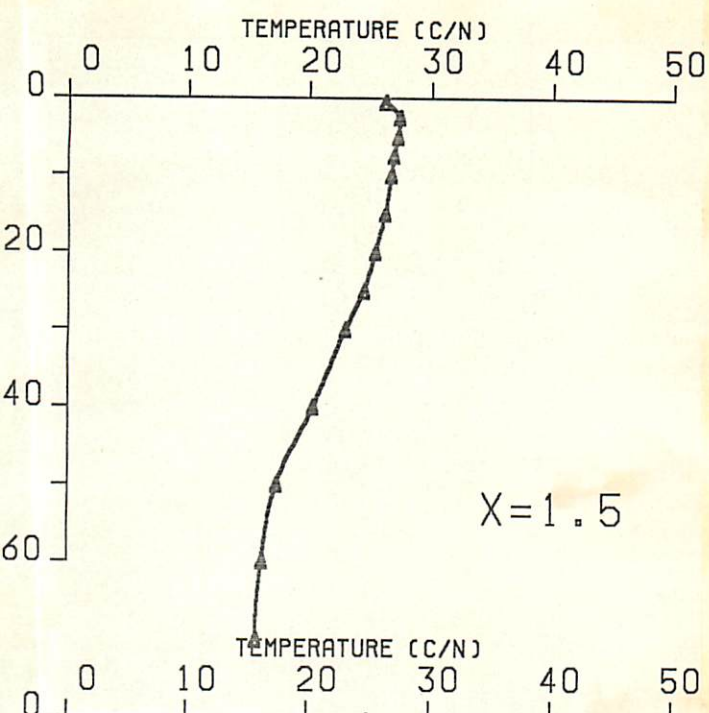


EXP. 2.5 - A - 1

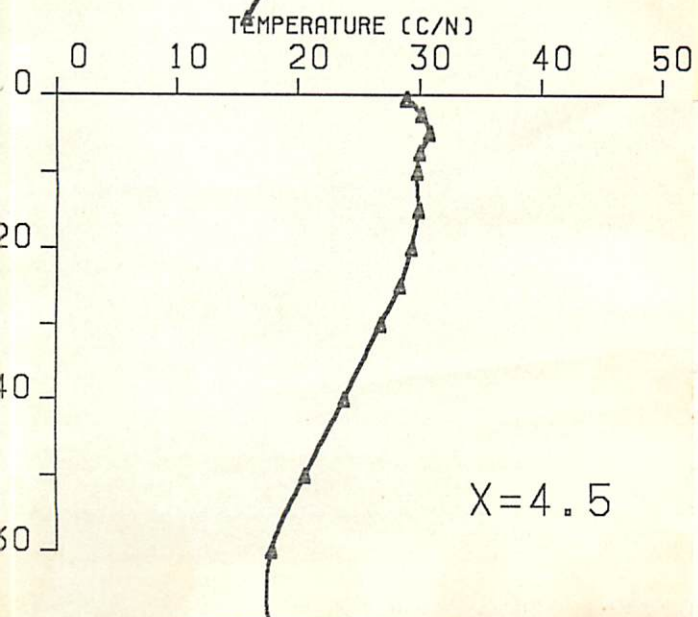
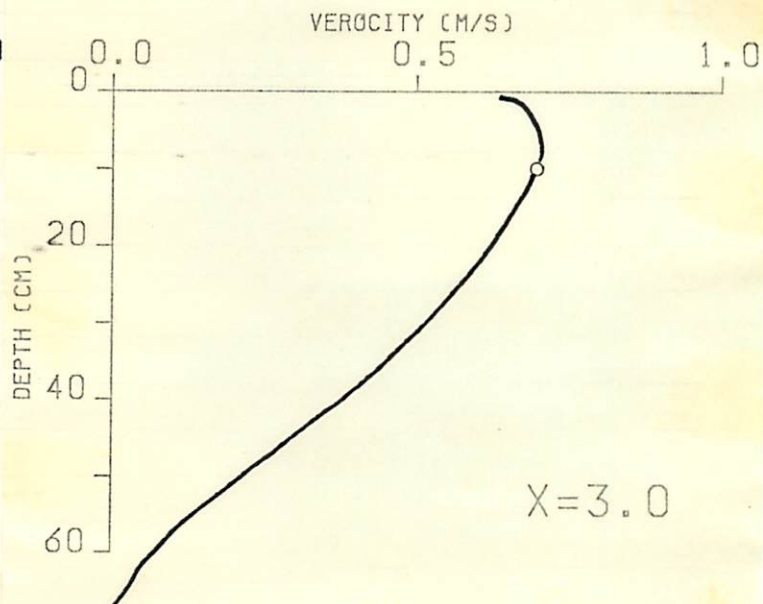
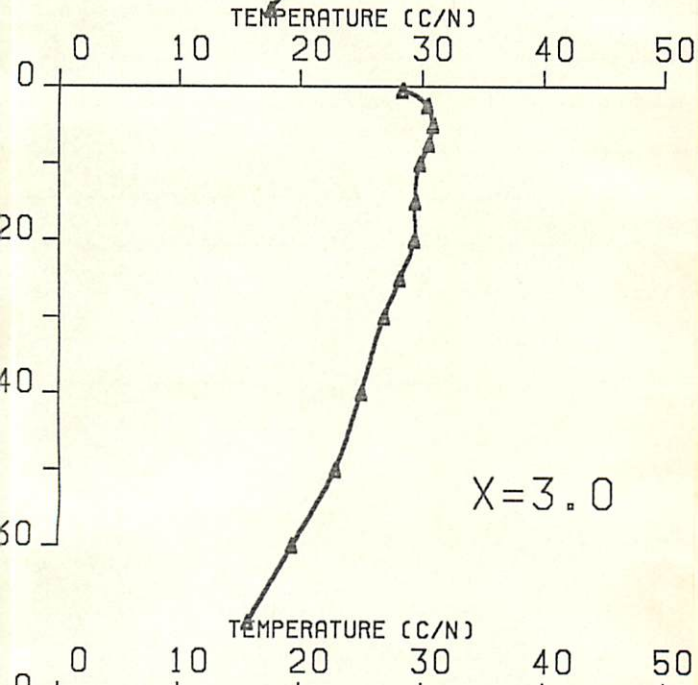
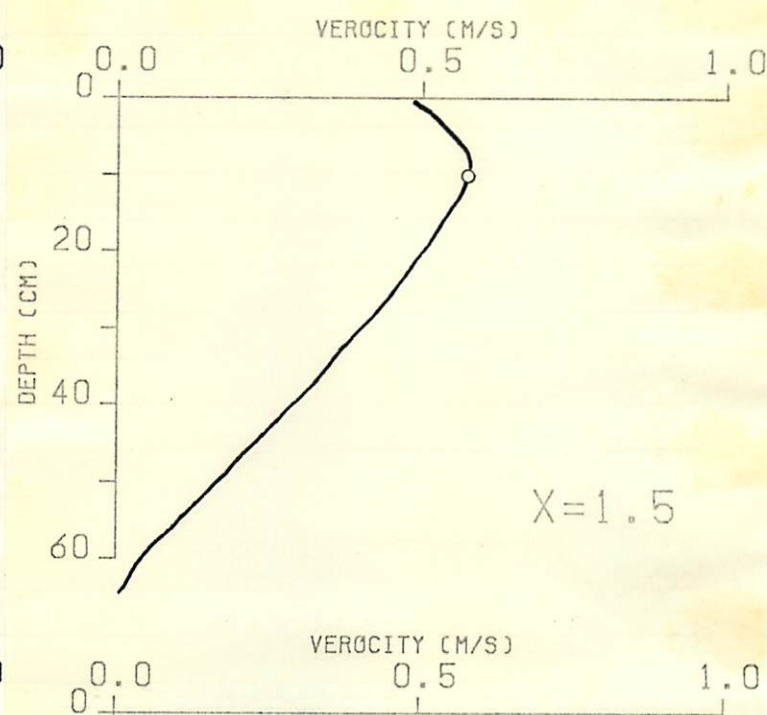
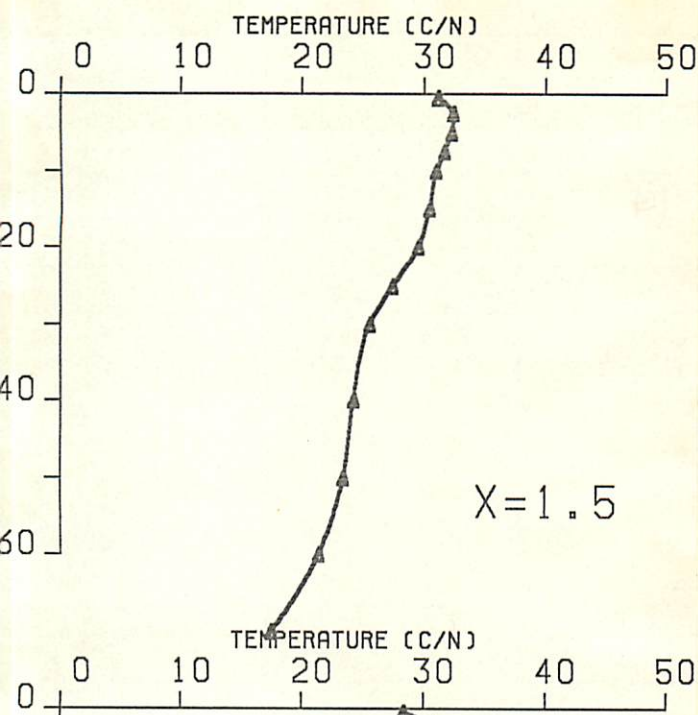




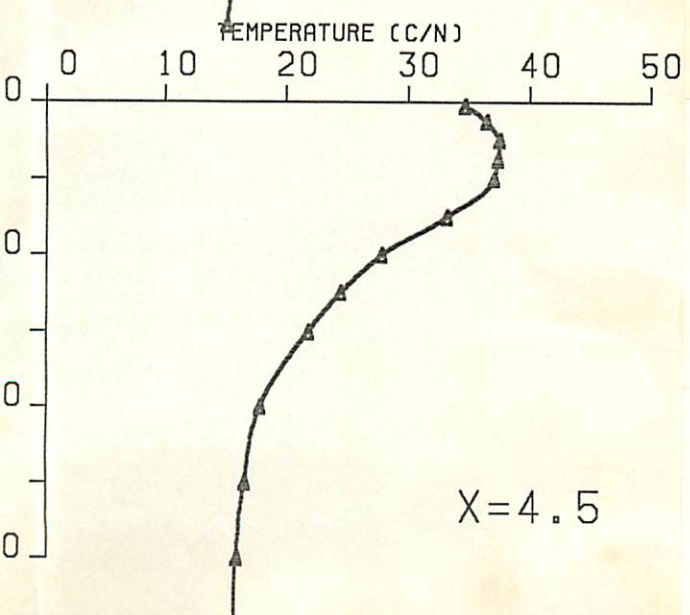
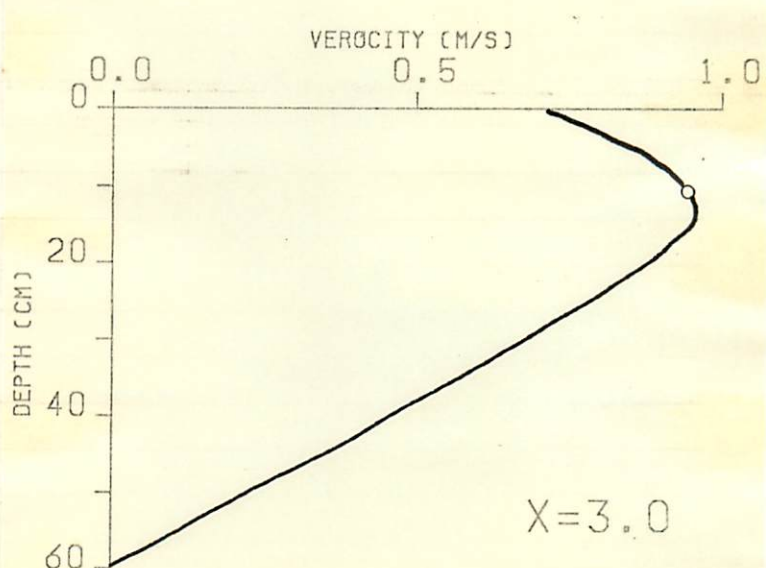
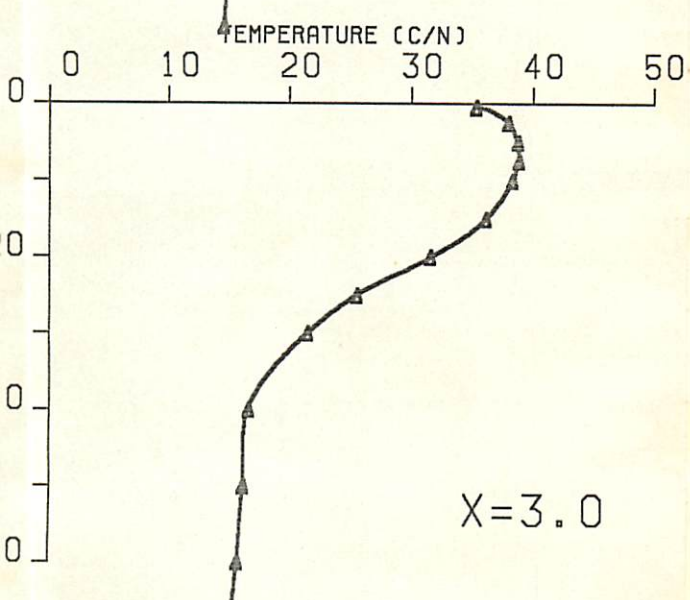
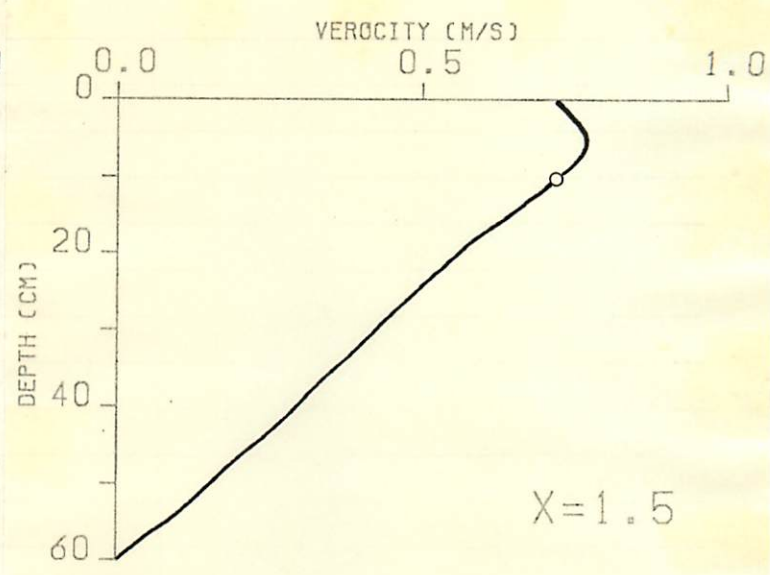
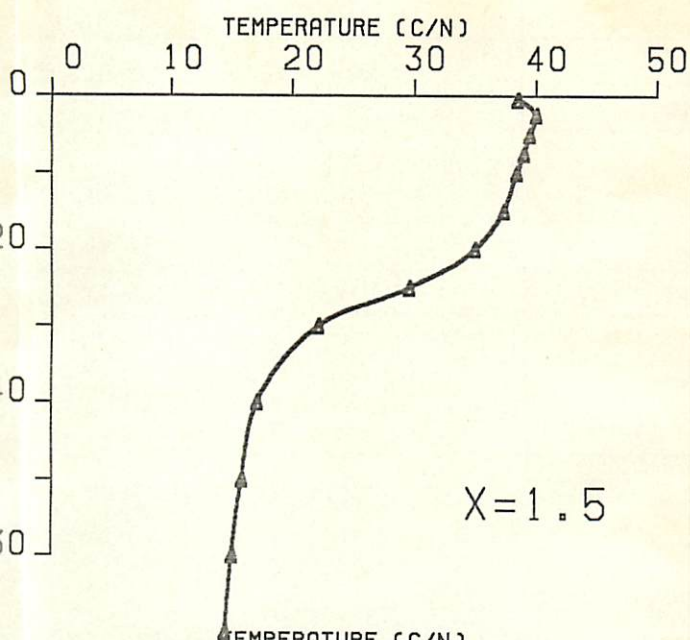
EXP. 5.0 - C - 1



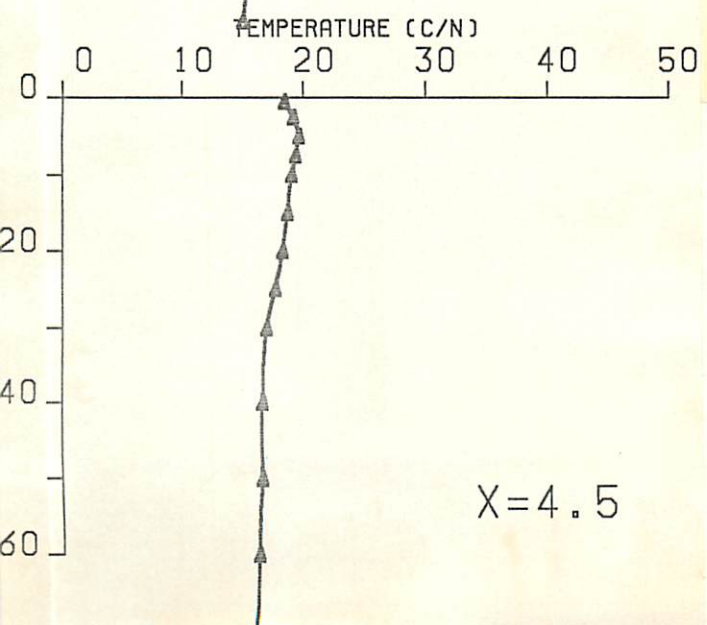
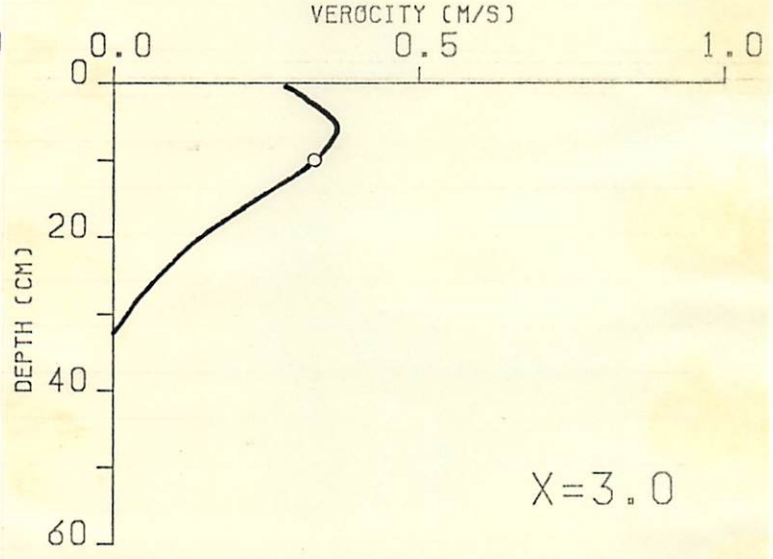
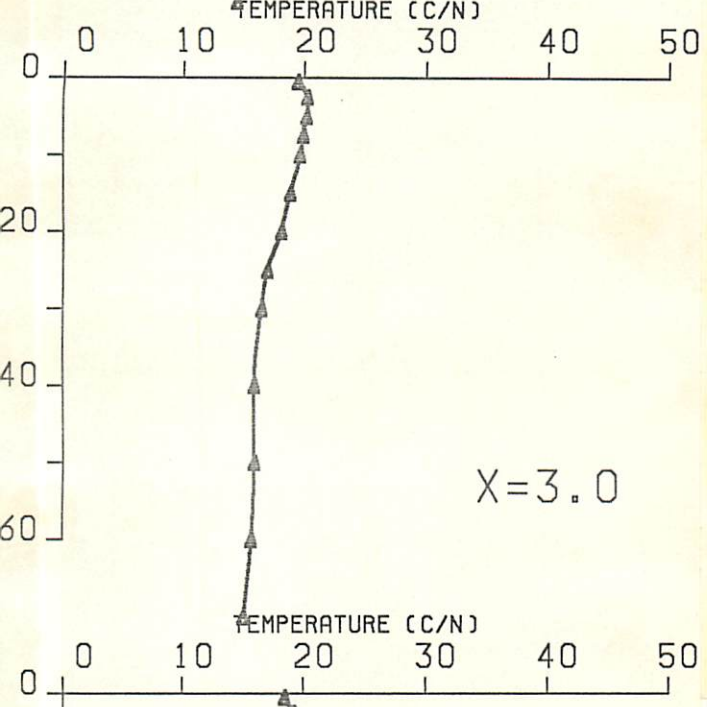
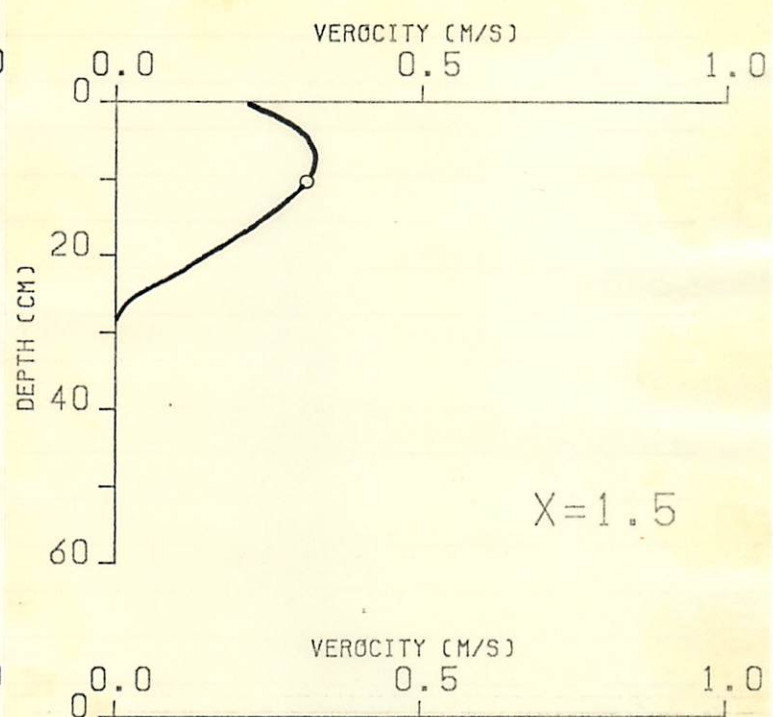
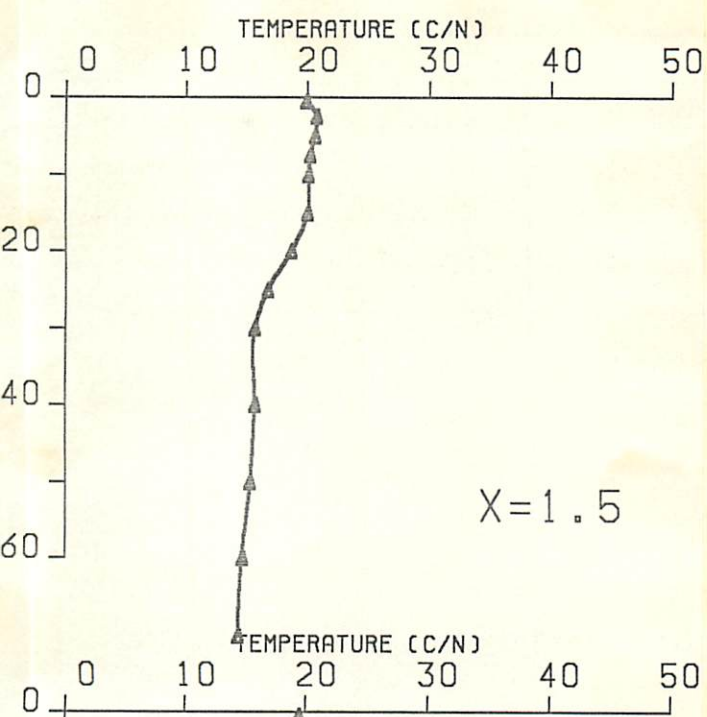
EXP. 5.0-B-1



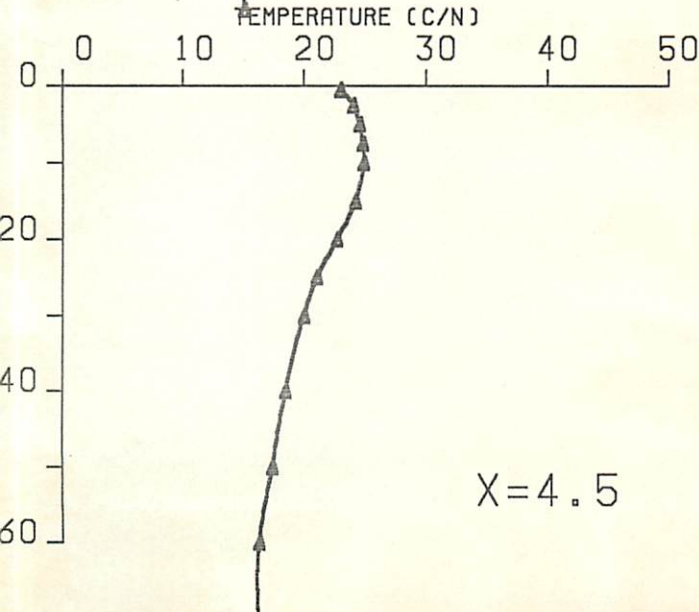
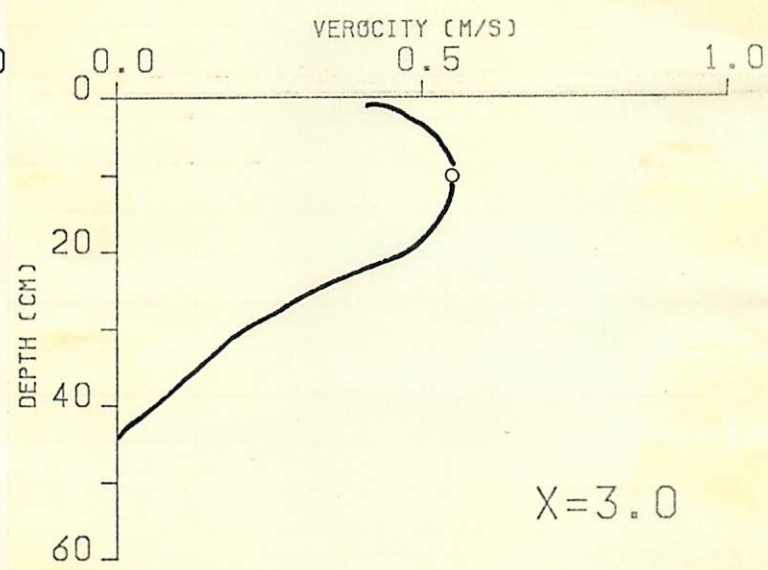
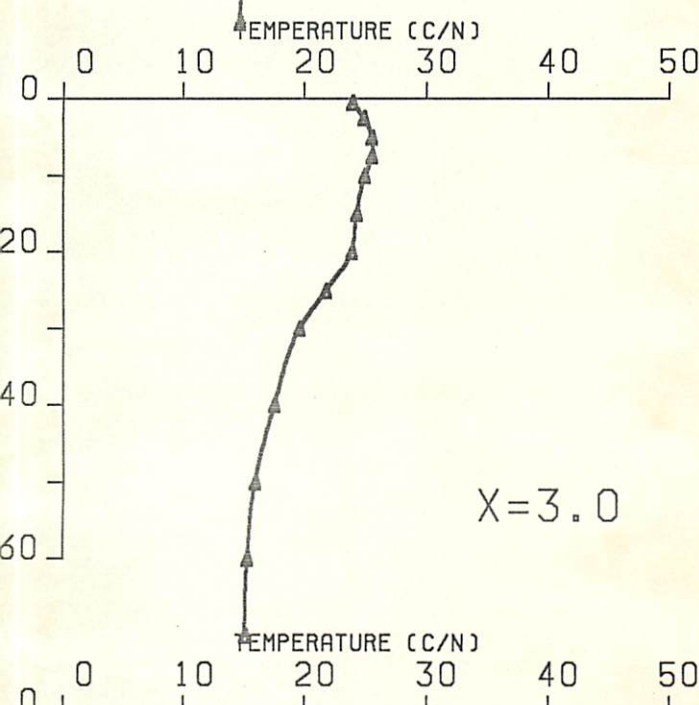
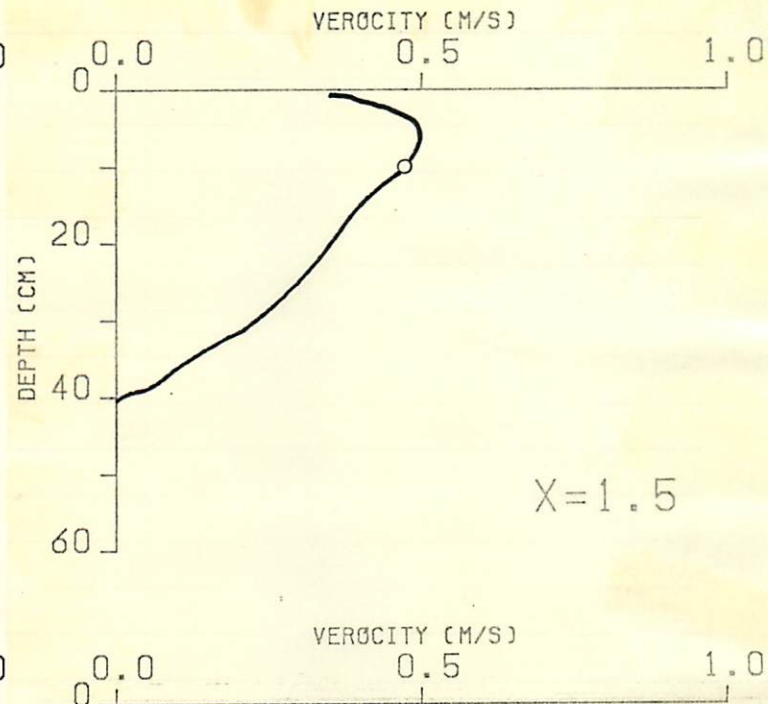
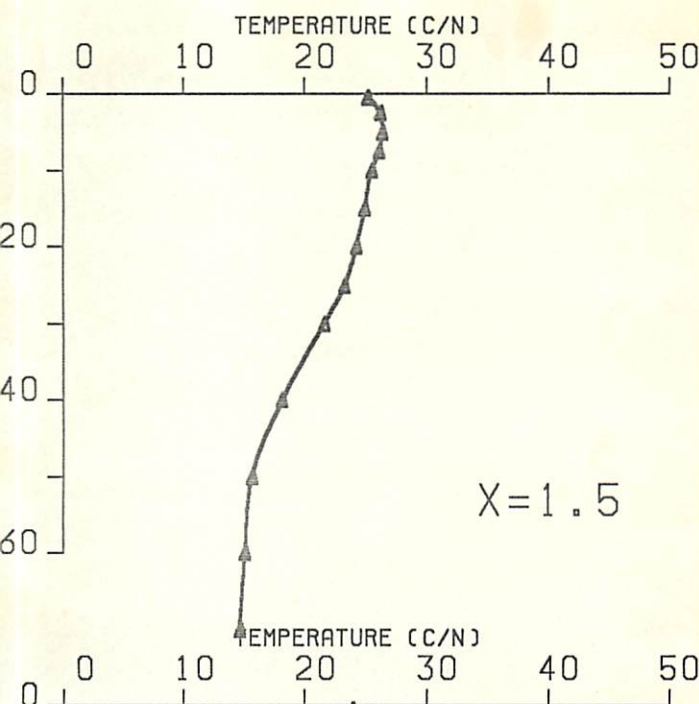
EXP. 5.0 - A - 1



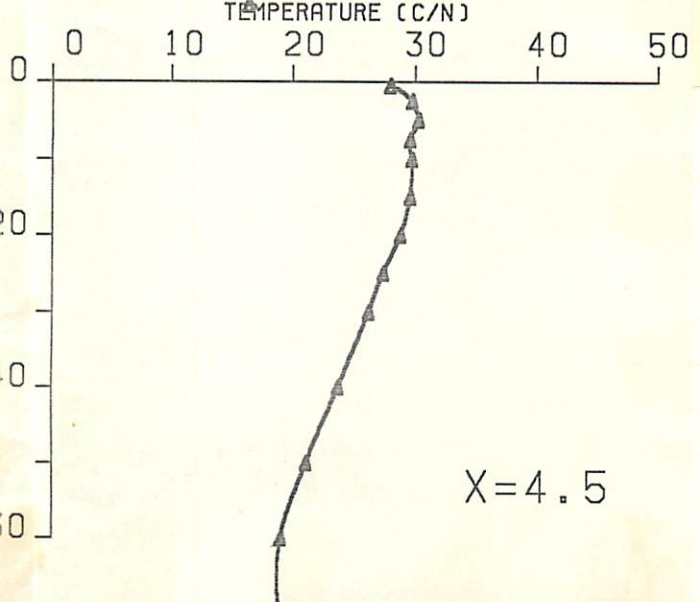
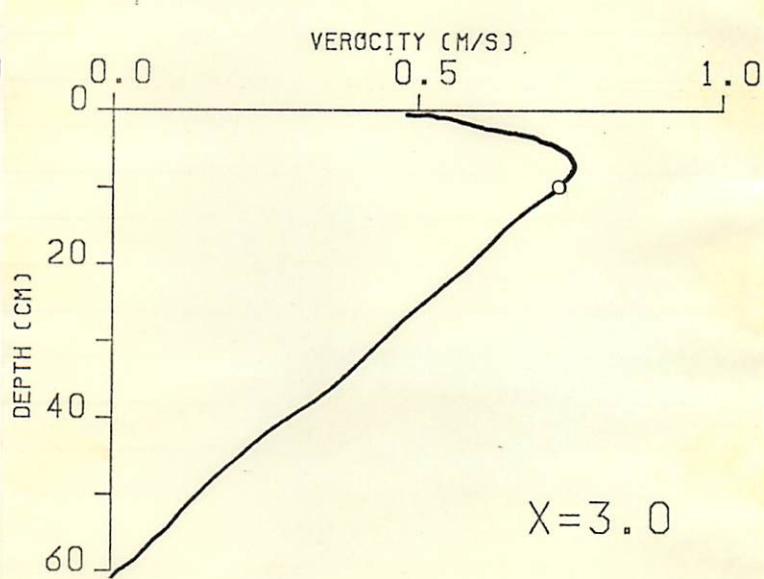
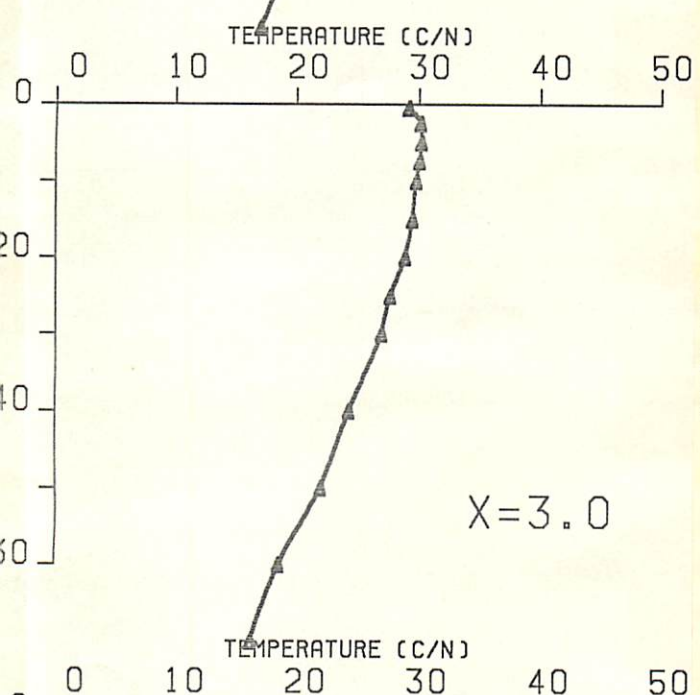
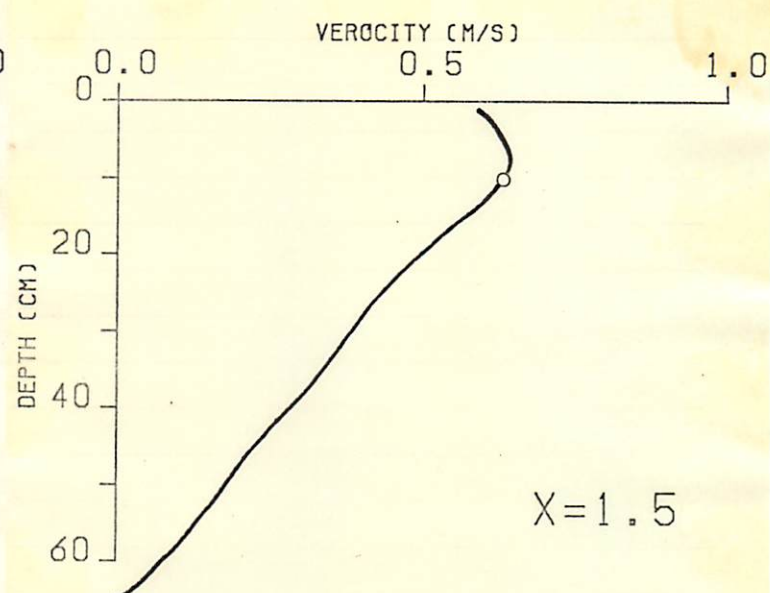
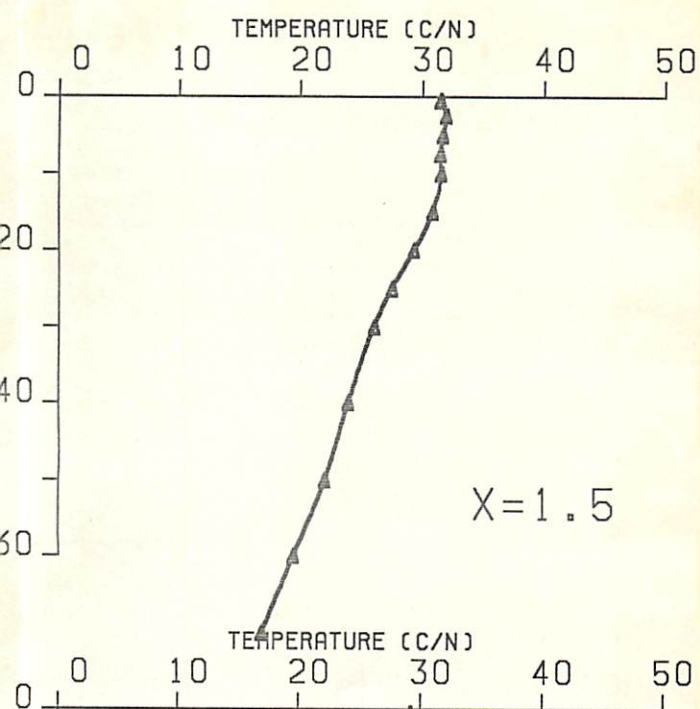
EXP. 5.0 - A - 2



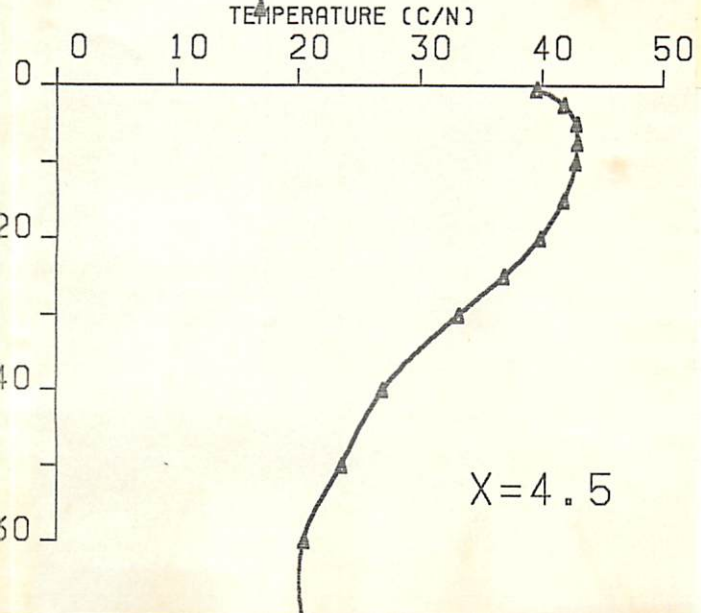
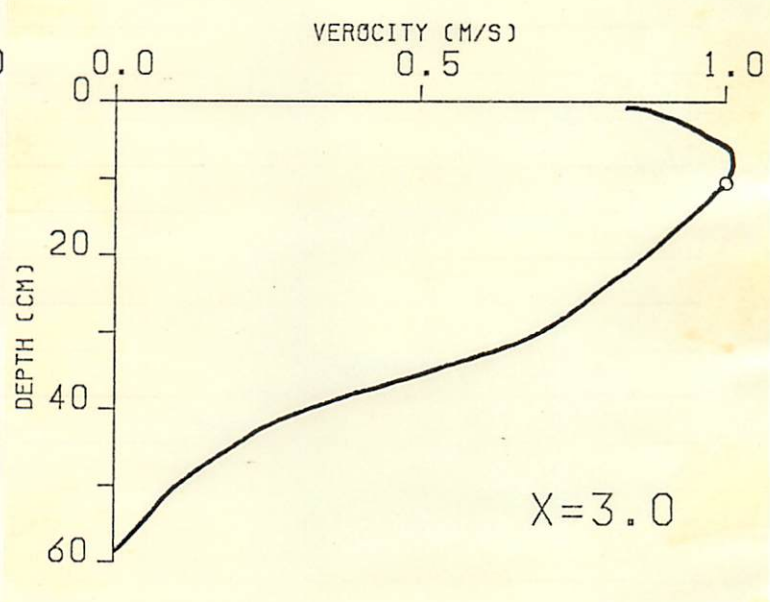
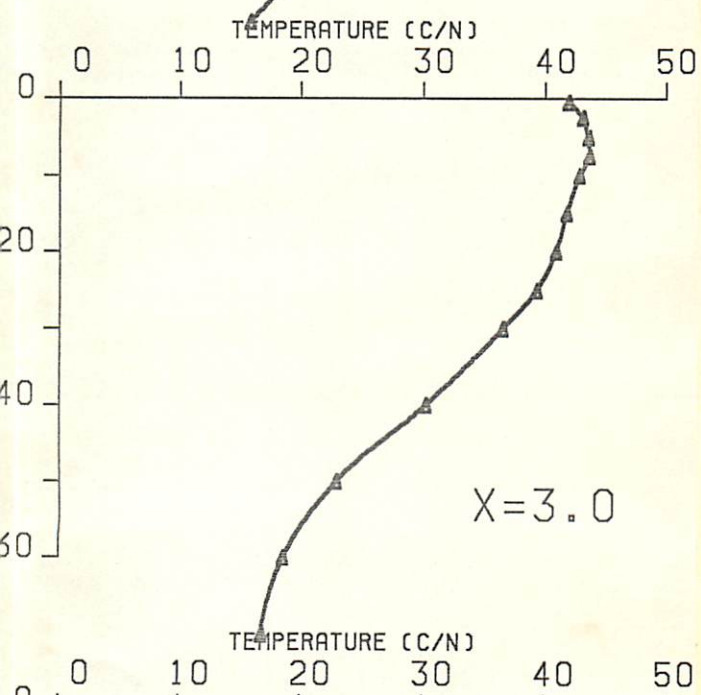
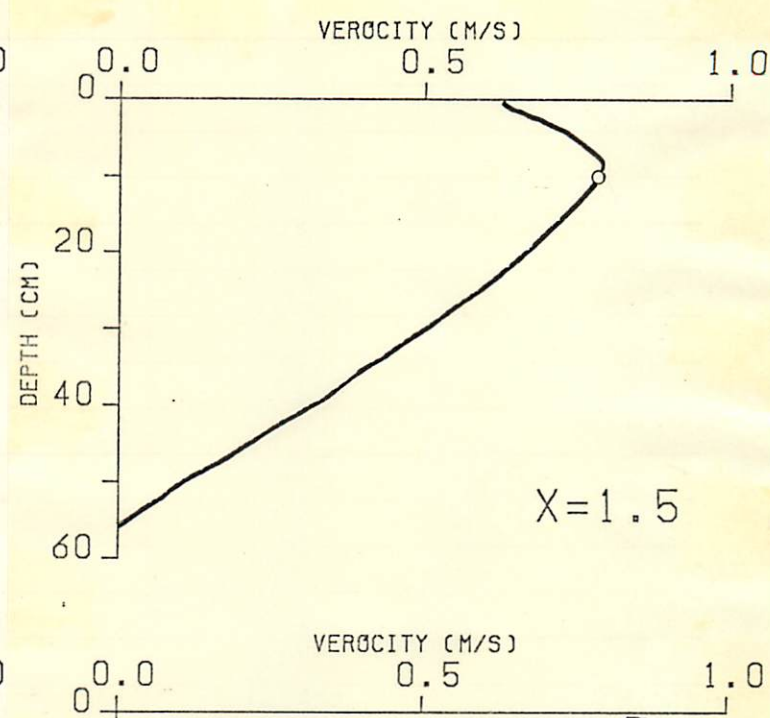
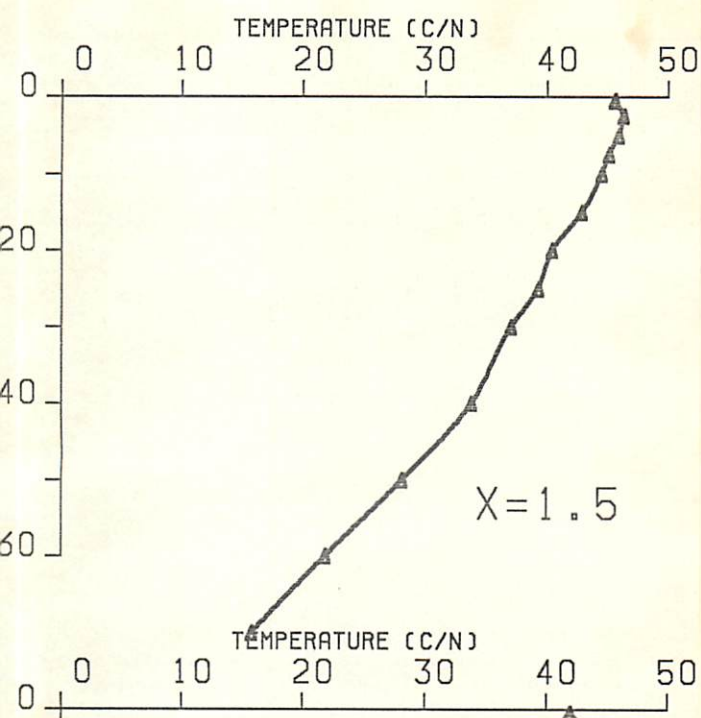
EXP. 75-C-1



Exp. 7.5-B-1

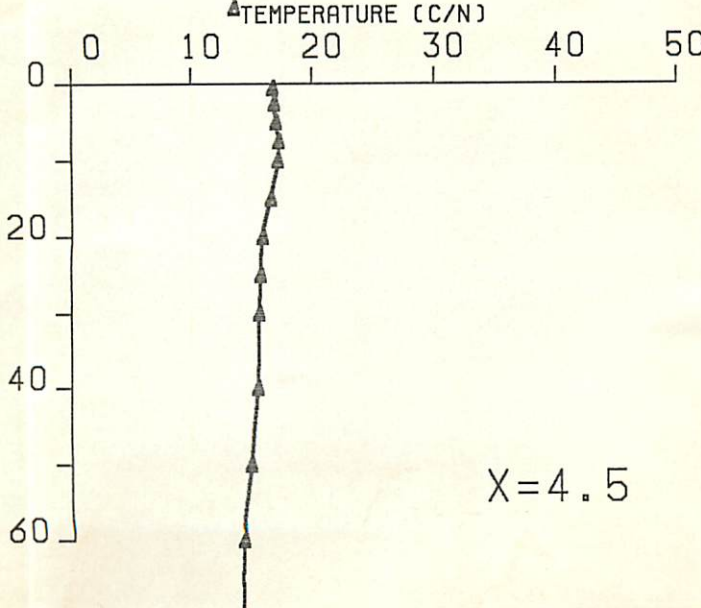
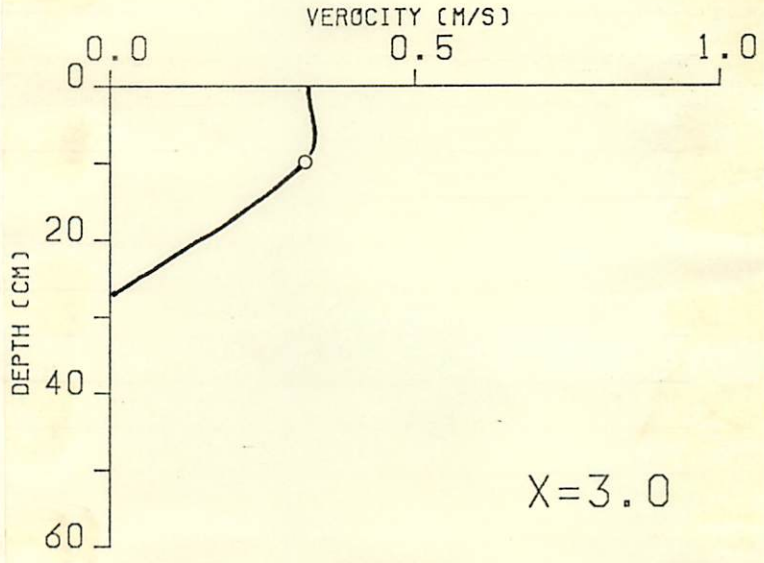
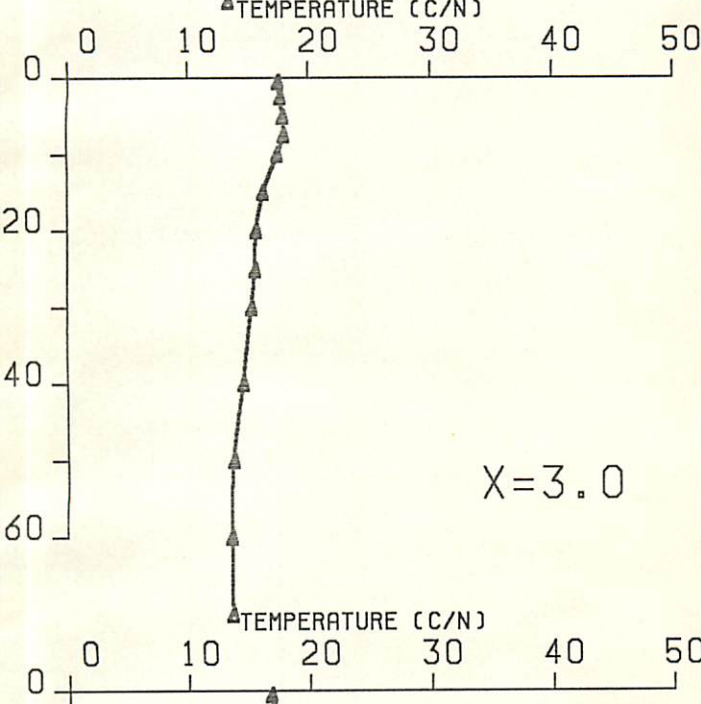
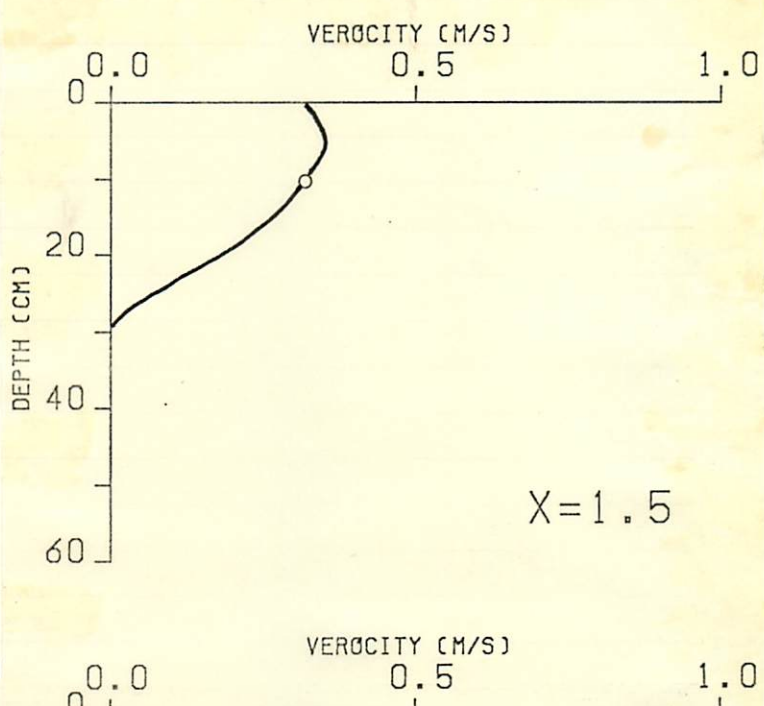
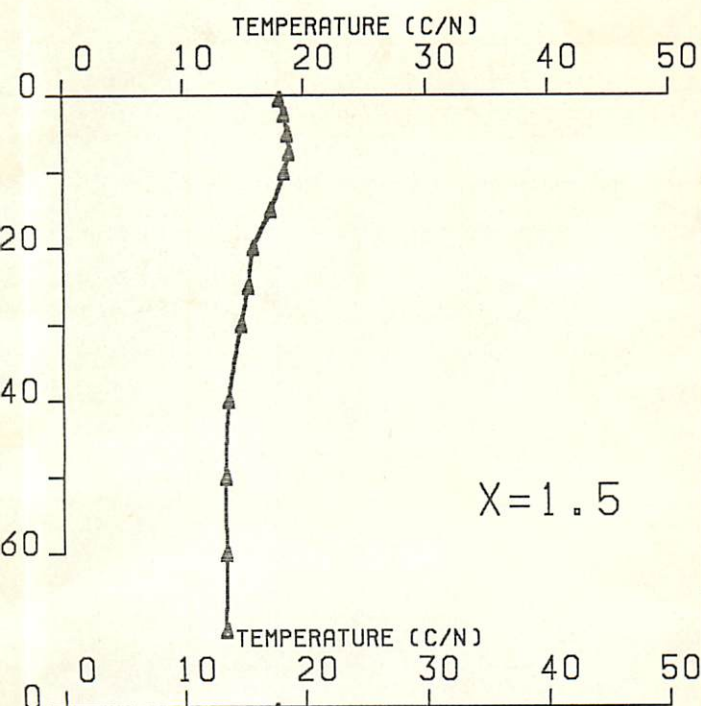


EXP. 75-A-1

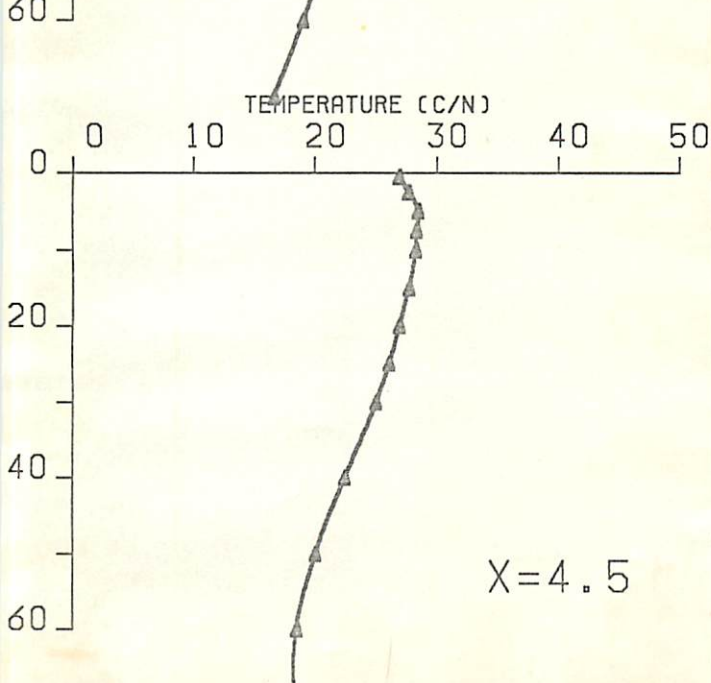
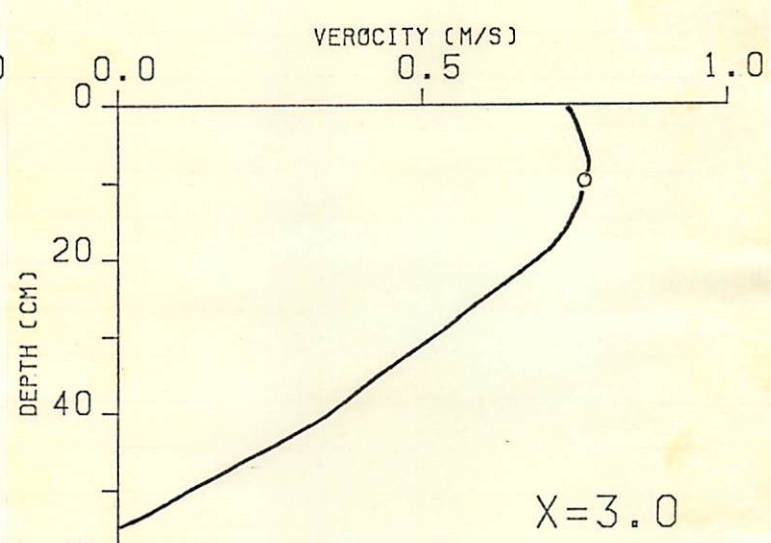
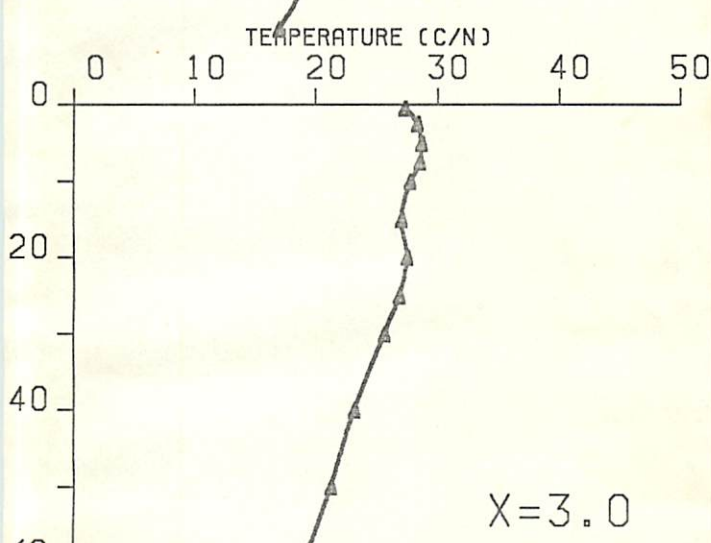
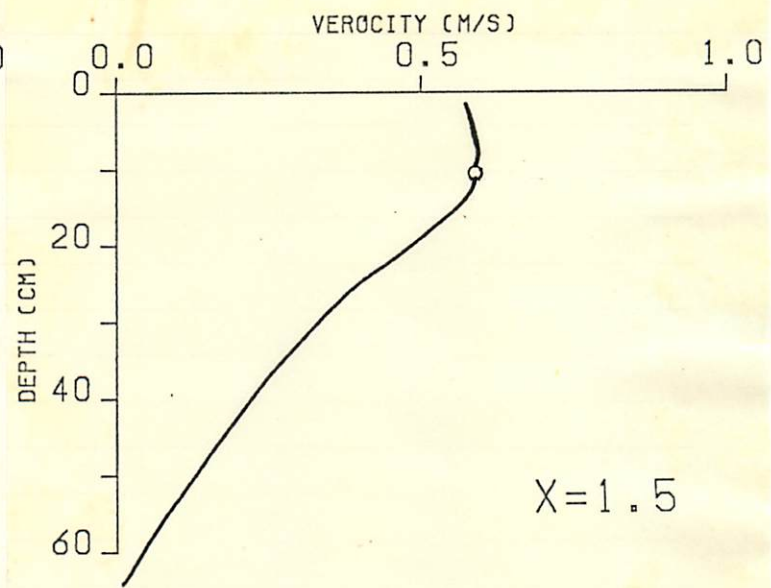
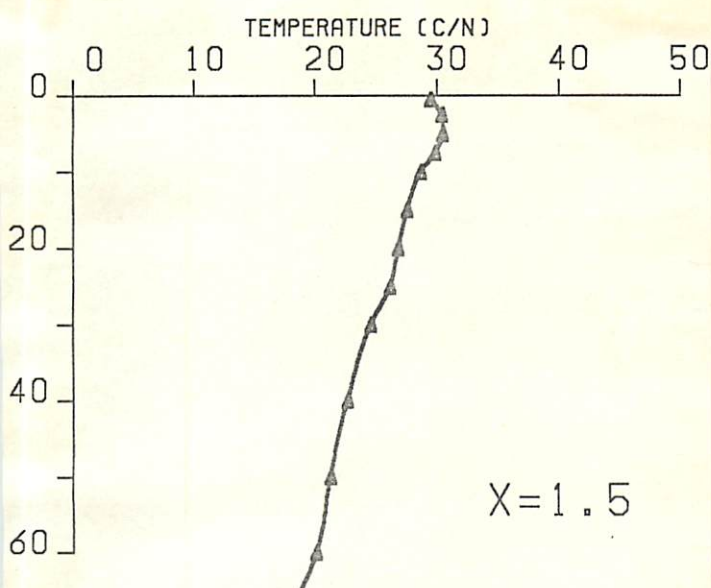


EXP. 75-A-2

SP



EXP. 10.0 - C - 1



EXP. 10.0 - A - 1